



ใบรับรองวิทยานิพนธ์

บัณฑิตวิทยาลัย มหาวิทยาลัยเกษตรศาสตร์

วิศวกรรมศาสตรมหาบัณฑิต (วิศวกรรมอุตสาหการ)

บริษัทฯ

วิศวกรรมอุตสาหการ

สาขา

วิศวกรรมอุตสาหการ

ภาควิชา

เรื่อง การกำหนดสภาวะที่เหมาะสมในการฉีดขึ้นรูปและคุณสมบัติของวัสดุเชิงประกลับพอลิโพร์พิลินผสมท่อนาโนคาร์บอนนันท์ทรายชั้น โดยวิธีการออกแบบทดลอง

Determination of Appropriate Processing Conditions for Injection Molding and Properties of Polypropylene/Multiwall Carbon Nanotube Nanocomposites Using Experimental Design

นามผู้วิจัย นางสาวณัฐร้า ดวงพัตรา

ได้พิจารณาเห็นชอบโดย

อาจารย์ที่ปรึกษาวิทยานิพนธ์หลัก

(อาจารย์จักรพันธ์ อร่ามพงษ์พันธ์, Ph.D.)

อาจารย์ที่ปรึกษาวิทยานิพนธ์ร่วม

(รองศาสตราจารย์ประไพรี ฤทธิ์ ฤทธิ์ ณ อยุธยา, Ph.D.)

หัวหน้าภาควิชา

(รองศาสตราจารย์อนันต์ มุงวัฒนา, Ph.D.)

บัณฑิตวิทยาลัย มหาวิทยาลัยเกษตรศาสตร์รับรองแล้ว

(รองศาสตราจารย์กัญจนा ธีระกุล, D.Agr.)

คณบดีบัณฑิตวิทยาลัย

วันที่ เดือน พ.ศ.

วิทยานิพนธ์

เรื่อง

การกำหนดสภาวะที่เหมาะสมในการฉีดขึ้นรูปและคุณสมบัติของวัสดุเชิงประจุบวกโพลิไพรพิลีน
ผสมท่อนาโนคาร์บอนนанอัลตร้าชั้น โดยวิธีการออกแบบการทดลอง

Determination of Appropriate Processing Conditions for Injection Molding and Properties of
Polypropylene/Multiwall Carbon Nanotube Nanocomposites Using Experimental Design

โดย

นางสาวณัฏฐา ดวงพัตรา

เสนอ

บัณฑิตวิทยาลัย มหาวิทยาลัยเกษตรศาสตร์
เพื่อความสมบูรณ์แห่งปริญญาวิศวกรรมศาสตร์มหาบัณฑิต (วิศวกรรมอุตสาหการ)
พ.ศ. 2552

ฉบับที่ ดวงพัตรา 2552: การกำหนดสภาพว่าที่เหมาะสมในการฉีดขึ้นรูปและคุณสมบัติของวัสดุเชิงประกลบพอลิไพรพลีนผสมท่อนาโนคาร์บอนผนังหลาชั้น โดยวิธีการออกแบบการทดลอง บริษัทฯ วิศวกรรมศาสตรมหาบัณฑิต (วิศวกรรมอุตสาหการ) สาขาวิศวกรรมอุตสาหการ ภาควิชาวิศวกรรมอุตสาหการ อาจารย์ที่ปรึกษาวิทยานิพนธ์หลัก: อาจารย์จักรพันธ์ อรุ่มพงษ์พันธ์, Ph.D. 134 หน้า

งานวิจัยนี้ เป็นการศึกษาผลกระบวนการเจือน ไฟการฉีดขึ้นรูปที่มีต่อคุณสมบัติทางกลของวัสดุเชิงประกลบพอลิเมอร์ผสมอนุภาคนาโน วัสดุเชิงประกลบพอลิไพรพลีนถูกนำมาผสมกับท่อนาโนคาร์บอนชนิดผนังหลาชั้น โดยมีวัตถุประสงค์เพื่อใช้เป็นสารเพิ่มความแข็งแรง ซึ่งวัสดุเชิงประกลบดังกล่าวได้จากการเตรียมส่วนผสมแบบหลอมละลาย (melt compounding) และขึ้นรูปด้วยการฉีดขึ้นรูป การออกแบบการทดลองแบบเติมขั้น 2^k (2^k Full Factorial design) ถูกนำมาใช้ในการวางแผนการทดลองและหาอิทธิพลของเจือน ไฟการฉีดขึ้นรูปที่มีต่อคุณสมบัติทางกลและการกระจายตัวของท่อนาโนคาร์บอนในวัสดุเชิงประกลบพสมอนุภาคนาโน เจือน ไฟเหล่านี้ประกอบด้วย 5 ปัจจัย ซึ่งได้แก่ (ก) ปริมาณร้อยละ โดยน้ำหนักของท่อนาโนคาร์บอนชนิดผนังหลาชั้น: ร้อยละ 0.5 และ 2.5 โดยน้ำหนัก (ข) อุณหภูมิกระบวนการ: 190 และ 220 องศาเซลเซียส (ค) ความเร็วฉีด: 25 และ 45 มิลลิเมตรต่อวินาที (ง) ความเร็วรอบสกru: 75 และ 227 รอบต่อนาที และ (จ) ความดันยาม: 45 และ 65 บาร์ ในขณะที่ความดันฉีดและเวลาเย็นตัวตั้งไว้ที่ 75 บาร์ และ 50 วินาที ตามลำดับ สำหรับทุกเงื่อนไขการฉีด

ขั้นตอนทดสอบถูกนำมาวัดค่ามอดูลัสของยัง (Young's Modulus) และความแข็งแรงดึง (Tensile Strength) โดยใช้เครื่องทดสอบยุนิเวอร์แซล (Universal Testing Machine) นอกจากนี้ กล้องจุลทรรศน์อิเล็กtronแบบส่องกล้อง (Scanning Electron Microscope, SEM) ถูกนำมาใช้เพื่อศึกษาการกระจายตัวของห่อนาโนคาร์บอนในวัสดุเชิงประกลบพสมอนุภาคนาโน จากผลการทดสอบพบว่า วัสดุเชิงประกลบพอลิไพรพลีนและห่อนาโนคาร์บอนชนิดผนังหลาชั้นมีค่ามอดูลัสของยัง เท่ากับ 1,732 เมกะปานาแคล และค่าความแข็งแรงดึง เท่ากับ 34 เมกะปานาแคล ในขณะที่พอลิไพรพลีนมีค่าเท่ากับ 1,450 เมกะปานาแคล และ 28 เมกะปานาแคล ตามลำดับ และเมื่อเพิ่มปริมาณห่อนาโนคาร์บอนชนิดผนังหลาชั้น ในวัสดุเชิงประกลบพบว่า ค่ามอดูลัสของยังและความแข็งแรงดึงมีค่าสูงขึ้น จากการวิเคราะห์การออกแบบการทดลองแฟกทอเรียลแบบเติมขั้นพบว่า ปัจจัยที่มีอิทธิพลอย่างมีนัยสำคัญต่อคุณสมบัติทางกล ได้แก่ ปริมาณร้อยละ โดยน้ำหนักของห่อนาโนคาร์บอน อุณหภูมิกระบวนการ: ความเร็วฉีด และความเร็วรอบสกru นอกจากนี้ กล้องจุลทรรศน์อิเล็กtronแบบส่องกล้องยังแสดงให้เห็นถึง การกระจายตัวของห่อนาโนคาร์บอนอย่างสม่ำเสมอในขั้นตอนทดสอบ

Nattha Duangphatra 2009: Determination of Appropriate Processing Conditions for Injection Molding and Properties of Polypropylene/Multiwall Carbon Nanotube Nanocomposites Using Experimental Design. Master of Engineering (Industrial Engineering), Major Field: Industrial Engineering, Department of Industrial Engineering. Thesis Advisor: Mr. Chuckaphun Aramphongphun, Ph.D. 134 pages.

This research work studies the effects of processing conditions on mechanical properties of polymer nanocomposites. Polypropylene (PP) nanocomposites reinforced with 0.5 and 2.5 %wt multiwall carbon nanotubes (MWCNTs) were prepared via melt compounding and formed by injection molding. The 2^k Full Factorial design was used to plan the experiments and determine the influences of the processing conditions on mechanical properties and carbon nanotube dispersion in the nanocomposite. These conditions consist of five factors: (a) %wt content of MWCNTs: 0.5 and 2.5 %wt, (b) barrel temperature: 190 and 220°C , (c) injection velocity: 25 and 45 mm/sec, (d) screw rotational speed: 75 and 227 rpm and (e) holding pressure: 45 and 65 bar while injection pressure and cooling time were set at 75 bar and 50 sec, respectively, for all conditions.

Young's modulus and tensile strength of the samples were examined by using a Universal Testing Machine (UTM). In addition, Scanning Electron Microscopy (SEM) was applied to study the dispersion of carbon nanotubes in the nanocomposite. The results showed that PP/MWCNT nanocomposites had Young's modulus of 1,732 MPa and tensile strength of 34 MPa while original PP had 1,450 MPa and 28 MPa, respectively. Therefore, the mechanical properties were improved significantly with the content of MWCNTs. Full Factorial experiments investigate that significant factors are %wt, barrel temperature, injection velocity, and screw rotational speed. Moreover, SEM showed that MWCNTs dispersed well in the test specimen.

Student's signature

Thesis Advisor's signature

/ /

กิตติกรรมประกาศ

วิทยานิพนธ์ฉบับนี้สำเร็จลุล่วงได้ด้วยดี โดยได้รับความช่วยเหลือ และความอนุเคราะห์จาก
หลายฝ่ายด้วยกัน ข้าพเจ้าขอขอบพระคุณ อาจารย์ ดร. จักรพันธ์ อร่ามพงษ์พันธ์ ประธานกรรมการ
ที่ปรึกษา และรองศาสตราจารย์ ดร. ประไพศรี สุทธานัน พ อุษยา กรรมการที่ปรึกษา ที่ช่วยเหลือ
และสนับสนุนให้คำปรึกษาแนะนำแนวทางการทำงานวิจัย แนวทางการแก้ไขปัญหา และข้อคิดเห็น
ต่างๆ รวมทั้งตรวจสอบแก้ไขข้อบกพร่องต่างๆ ในการทำวิทยานิพนธ์ให้สำเร็จลุล่วงไปด้วยดี

ขอขอบพระคุณ รองศาสตราจารย์ ศันสนีย์ สุภาภา ประธานการสอบวิทยานิพนธ์ และ^{ผู้ช่วยศาสตราจารย์ ดร. เตือนใจ สมบูรณ์วิวัฒน์} ที่ได้กรุณาสละเวลาอันมีค่า กรุณารับฟังคำแนะนำ
เพิ่มเติมอันจะนำมาซึ่งความสมบูรณ์ของวิทยานิพนธ์ฉบับนี้

นอกจากนี้ข้าพเจ้าขอขอบพระคุณ คุณสมปอง อินทอง หัวหน้าฝ่ายพอลิเมอร์ สถาบัน
กั้นคว้าและพัฒนาเทคโนโลยีการผลิตทางอุตสาหกรรม (RDIPT) และคุณวสันต์ ขอบคุณ ที่ให้ความ
ช่วยเหลือเป็นอย่างดีจนทำให้งานวิจัยนี้สำเร็จลุล่วงด้วยดี รวมถึงพนักงานสถาบันทุกท่าน ที่ได้ให้
การช่วยเหลือ เป็นกำลังใจ และอำนวยความสะดวกในการทำงานวิจัยครั้งนี้ตลอดมา

ท้ายสุดนี้ ข้าพเจ้าขอกราบขอบพระคุณบิดา-มารดา รวมทั้งญาติผู้ใหญ่ที่เคารพ ที่ให้การ
อบรมสั่งสอน เลี้ยงดู และเป็นกำลังใจให้เสมอมา พร้อมทั้งขอบคุณพี่ชายนะเพื่อนๆ ทุกคนที่มี
ส่วนช่วยเหลือในหลายๆ ด้าน และเป็นกำลังใจในการทำวิทยานิพนธ์จนสำเร็จได้ด้วยดี

ด้วยความดีหรือประโภชน์อันใดเนื่องจากวิทยานิพนธ์เล่มนี้ ขอมอบแด่บิดา มารดา และ^{คณารย์ทุกท่าน}ในสถาบันการศึกษาอันทรงเกียรติแห่งนี้ ที่ได้อบรมสั่งสอนข้าพเจ้าจนมีความรู้ถึง^{ปัจจุบัน}

ณัฐริสา ดวงพัตร
มกราคม 2552

สารบัญ

หน้า

สารบัญ	(1)
สารบัญตาราง	(2)
สารบัญภาพ	(4)
คำนำ	1
วัตถุประสงค์	3
การตรวจสอบสาร	4
อุปกรณ์และวิธีการ	42
อุปกรณ์	42
วิธีการ	42
ผลและวิจารณ์	49
สรุปและข้อเสนอแนะ	76
สรุป	76
ข้อเสนอแนะ	78
เอกสารและสิ่งอ้างอิง	79
ภาคผนวก	82
ภาคผนวก ก รายละเอียดทั่วไปของเครื่องนีดพลาสติกรุ่น BA 250/50 CDC	83
ภาคผนวก ข ผลการทดสอบวัสดุคุณสมบัติทางกลด้วยเครื่อง Universal Testing Machine รุ่น HOUNSFIELD H50KS	104
ภาคผนวก ค เส้นโค้งความเค้น-ความเครียด	108
ภาคผนวก ง สถิติทดสอบและการตรวจเชื่อม合いของการวิเคราะห์ความแปรปรวน	
ผลลัพธ์	126
ภาคผนวก ช ประวัติการศึกษา และการทำงาน	134

สารบัญตาราง

ตารางที่	หน้า
1 สถิติวิเคราะห์ความแปรปรวนหลายตัวแบบจำแนกสองทาง	35
2 คุณสมบัติของเม็ดพลาสติกพอลิโพรพิลีนจากบริษัทผู้ผลิต	44
3 ระดับของปัจจัยต่างๆ สำหรับแฟคทอร์เรียลเต็มขั้น 2 ระดับ ที่ 5 ปัจจัย	46
4 ตารางออกแบบการทดลองแฟคทอร์เรียลเต็มขั้น 2 ระดับ ที่ 5 ปัจจัย	47
5 ตารางการวิเคราะห์ความแปรปรวน (Analysis of Variance: ANOVA) ของค่ามอڈูลัสของยัง	54
6 ค่าสังเกตไม่ปกติ (Unusual Observations) ในการวิเคราะห์ความแปรปรวนของการทดลองแฟคทอร์เรียลแบบเต็มขั้น 2 ระดับ ที่ 5 ปัจจัย ของค่ามอڈูลัสของยัง	55
7 Response Surface Regression สำหรับค่ามอڈูลัสของยัง	56
8 ตารางการวิเคราะห์ความแปรปรวน (Analysis of Variance: ANOVA) ของค่าความแข็งแรงคง	58
9 ค่าสังเกตไม่ปกติ (Unusual Observations) ในการวิเคราะห์ความแปรปรวนของการทดลองแฟคทอร์เรียลแบบเต็มขั้น 2 ระดับ ที่ 5 ปัจจัย ของค่าความแข็งแรงคง	59
10 Response Surface Regression สำหรับค่าความแข็งแรงคง	61
11 ค่าของ Cross-Product ของอิทธิพลแต่ละปัจจัย	63
12 เงื่อนไขที่เหมาะสมของแต่ละปัจจัย	72
13 ผลการทดสอบยืนยันที่เงื่อนไขการทดลองที่เหมาะสม	76
14 เปรียบเทียบค่ามอڈูลัสของยัง และค่าความแข็งแรงคงที่ปริมาณห่อนาน ควรบอนที่ต่างกัน	77

ตารางผนวกที่

ก1 คุณสมบัติของชุดนีดของเครื่องนีดพลาสติกรุ่น BA250/50 CDC	84
ก2 คุณสมบัติของชุดเปิดปิดแม่พิมพ์ของเครื่องนีดพลาสติกรุ่น BA250/50 CDC	85

สารบัญตาราง (ต่อ)

ตารางผนวกที่	หน้า
ข1 ผลการทดสอบคุณสมบัติทางกล	105
ข1 สรุปสถิติทดสอบการวิเคราะห์ความแปรปรวนหลายตัวแปรแบบจำแนกทางเดียว	128

สารบัญภาพ

ภาพที่	หน้า
1 โครงสร้างของชาติการ์บอนแบบต่างๆ (ก) เพชร (ข) กราไฟต์ (ค) ฟลูเดอเร็น และ (ง) ห่อนาโนคาร์บอน	7
2 โครงสร้างของห่อนาโนคาร์บอนผนังหลาชั้น	8
3 โครงสร้างของห่อนาโนคาร์บอนผนังชั้นเดียว และลักษณะการม้วนแผ่นกราไฟต์ เป็นห่อนาโนคาร์บอนผนังชั้นเดียว	9
4 สูตรโครงสร้างของพอลิไพรพิลิน	11
5 ส่วนประกอบสำคัญของเครื่องมือพลาสติก	15
6 จังหวะที่ 1 ปีดแม่พิมพ์	17
7 จังหวะที่ 2 ชุดฉีดเลื่อนเข้าหาแม่พิมพ์	18
8 จังหวะที่ 3 และ 4 ฉีดเข้ารักษาความดัน	18
9 จังหวะที่ 5 และ 6 เป็นการหล่อเย็นชิ้นงานที่ฉีดเสร็จ และในขณะเดียวกันทำการป้อนพลาสติกเข้าเกลียวหนอนก่อนทำการหลอมใหม่	19
10 จังหวะที่ 7 ชุดฉีดถอยกลับ	19
11 จังหวะที่ 8 และ 9 แม่พิมพ์เปิดแล้วปลดชิ้นงานออก	20
12 ลักษณะของแรงกระทำชนิดต่างๆ (ก) แรงดึง (Tension) (ข) แรงกด(Compression) และ (ค) แรงเฉือน (Shear)	21
13 วิธีการทดสอบแรงดึง	23
14 เส้นโค้งความเค้น-ความเครียด (Stress-Strain Curve) แบบมีจุดคราก (Yield Point)	23
15 เส้นโค้งความเค้น-ความเครียด แบบที่ไม่มีจุดคราก	25
16 เปรียบเทียบเส้นโค้งความเค้น-ความเครียด ของ (ก) วัสดุประจำ และ (ข) วัสดุพลาสติก	26
17 Modulus of Toughness ของ (ก) วัสดุเหนียว และ (ข) วัสดุประจำ	27
18 ปัจจัย และพารามิเตอร์ของกระบวนการผลิต	28
19 (ก) อิทธิพลของปัจจัยหลักที่ไม่มีผลต่อผลิตภัณฑ์ (ข) อิทธิพลของปัจจัยหลักที่มีผลต่อผลิตภัณฑ์	29

สารบัญภาพ (ต่อ)

ภาพที่	หน้า
20 (ก) อิทธิพลของปัจจัยร่วมที่ไม่มีผลต่อผลิตภัณฑ์ (ข) อิทธิพลของปัจจัยร่วมที่มีผลต่อผลิตภัณฑ์	32
21 ชิ้นงานทดสอบรูปดัมเบลตามมาตรฐานการทดสอบ ASTM D638	43
22 Normal Probability Plot ของค่าคลาดเคลื่อน กรณีค่ามอคูลัสของยัง	65
23 Normal Probability Plot ของค่าคลาดเคลื่อน กรณีค่าความแข็งแรงดึง	65
24 กราฟของค่าคลาดเคลื่อนกับค่าที่ถูกพิจ กรณีค่ามอคูลัสของยัง	66
25 กราฟของค่าคลาดเคลื่อนกับค่าที่ถูกพิจ กรณีค่าความแข็งแรงดึง	66
26 กราฟของค่าคลาดเคลื่อนกับลำดับของข้อมูล กรณีค่ามอคูลัสของยัง	67
27 กราฟของค่าคลาดเคลื่อนกับลำดับของข้อมูล กรณีค่าความแข็งแรงดึง	67
28 กราฟอิทธิพลร่วมของปัจจัยปริมาณร้อยละ โดยนำหนัก และ อุณหภูมิพลาสติก หลอม ที่มีผลต่อค่ามอคูลัสของยัง	68
29 กราฟอิทธิพลร่วมของปัจจัยปริมาณร้อยละ โดยนำหนัก และ อุณหภูมิพลาสติก หลอม ที่มีผลต่อค่าความแข็งแรงดึง	69
30 กราฟอิทธิพลร่วมของปัจจัยอุณหภูมิพลาสติกหลอม และ ความเร็วฉีด ที่มีผลต่อค่ามอคูลัสของยัง	70
31 กราฟอิทธิพลร่วมของปัจจัยอุณหภูมิพลาสติกหลอม และ ความเร็วฉีด ที่มีผลต่อค่าความแข็งแรงดึง	70
32 กราฟอิทธิพลร่วมของปัจจัยอุณหภูมิพลาสติกหลอม และ ความเร็วอบสกรู ที่มีผลต่อค่ามอคูลัสของยัง	71
33 กราฟอิทธิพลร่วมของปัจจัยอุณหภูมิพลาสติกหลอม และ ความเร็วอบสกรู ที่มีผลต่อค่าความแข็งแรงดึง	72
34 ภาพถ่ายขยายจากกล้องจุลทรรศน์อิเล็กตรอนแบบส่องกราด ที่กำลังขยายเท่ากับ 8000 เท่า ของวัสดุเชิงประจุอนิโอนการ์บอนผสมพอลิไพรพิลีน	73
35 ภาพจากกล้องจุลทรรศน์อิเล็กตรอนแบบส่องกราด ของวัสดุผสมที่กำลังขยายเท่ากับ 1000 เท่า โดยที่ปริมาณท่อนานิโอนการ์บอนร้อยละ 0.5 โดยนำหนัก	74

สารบัญภาพ (ต่อ)

ภาพที่	หน้า
--------	------

36 ภาพจากกล้องจุลทรรศน์อิเล็กตรอนแบบส่องgranular ของวัสดุผสมที่กำลังขยายเท่ากับ 1000 เท่า โดยที่ปริมาณห่อนานาโนคาร์บอนร้อยละ 2.5 โดยน้ำหนัก	75
---	----

ภาพผนวกที่

ก1 เครื่องนีดพลาสติกรุ่น BA 250/50 CDC	85
ก2 ส่วนประกอบต่างๆ ของปุ่มกดควบคุมการทำงาน	86
ก3 ส่วนประกอบต่างๆ ของคอมพิวเตอร์สำหรับควบคุมการทำงาน	87
ก4 หน้าจอที่ใช้สำหรับตั้งค่าพารามิเตอร์ F00-1	88
ก5 หน้าจอที่ใช้สำหรับตั้งค่าพารามิเตอร์ F00-6	89
ก6 หน้าจอที่ใช้สำหรับตั้งค่าพารามิเตอร์ F01	90
ก7 หน้าจอที่ใช้สำหรับตั้งค่าพารามิเตอร์ F02	92
ก8 หน้าจอที่ใช้สำหรับตั้งค่าพารามิเตอร์ F03	93
ก9 หน้าจอที่ใช้สำหรับตั้งค่าพารามิเตอร์ F04	95
ก10 หน้าจอที่ใช้สำหรับตั้งค่าพารามิเตอร์ F05	96
ก11 หน้าจอที่ใช้สำหรับตั้งค่าพารามิเตอร์ F06	97
ก12 หน้าจอที่ใช้สำหรับตั้งค่าพารามิเตอร์ F07	98
ก13 หน้าจอที่ใช้สำหรับตั้งค่าพารามิเตอร์ F08	99
ก14 หน้าจอที่ใช้สำหรับตั้งค่าพารามิเตอร์ F09	100
ก15 หน้าจอที่ใช้สำหรับตั้งค่าพารามิเตอร์ F09 ในส่วนของระบบเป้าลม	102
ก16 หน้าจอที่ใช้สำหรับตั้งค่าพารามิเตอร์ F14	102
ก1 เส้นโค้ง ความเคี้ยว (Stress (MPa)) - ความเครียด (Strain (%)) ของการทดสอบที่ 1 โดยมีการทำซ้ำ 2 ครั้ง	109
ก2 เส้นโค้ง ความเคี้ยว (Stress (MPa)) - ความเครียด (Strain (%)) ของการทดสอบที่ 2 โดยมีการทำซ้ำ 2 ครั้ง	109

สารบัญภาพ (ต่อ)

ภาพพนักที่	หน้า
ค3 เส้นโค้ง ความดัน (Stress (MPa)) - ความเครียด (Strain (%)) ของการทดลองที่ 3 โดยมีการทำซ้ำ 2 ครั้ง	110
ค4 เส้นโค้ง ความดัน (Stress (MPa)) - ความเครียด (Strain (%)) ของการทดลองที่ 4 โดยมีการทำซ้ำ 2 ครั้ง	110
ค5 เส้นโค้ง ความดัน (Stress (MPa)) - ความเครียด (Strain (%)) ของการทดลองที่ 5 โดยมีการทำซ้ำ 2 ครั้ง	111
ค6 เส้นโค้ง ความดัน (Stress (MPa)) - ความเครียด (Strain (%)) ของการทดลองที่ 6 โดยมีการทำซ้ำ 2 ครั้ง	111
ค7 เส้นโค้ง ความดัน (Stress (MPa)) - ความเครียด (Strain (%)) ของการทดลองที่ 7 โดยมีการทำซ้ำ 2 ครั้ง	112
ค8 เส้นโค้ง ความดัน (Stress (MPa)) - ความเครียด (Strain (%)) ของการทดลองที่ 8 โดยมีการทำซ้ำ 2 ครั้ง	112
ค9 เส้นโค้ง ความดัน (Stress (MPa)) - ความเครียด (Strain (%)) ของการทดลองที่ 9 โดยมีการทำซ้ำ 2 ครั้ง	113
ค10 เส้นโค้ง ความดัน (Stress (MPa)) - ความเครียด (Strain (%)) ของการทดลองที่ 10 โดยมีการทำซ้ำ 2 ครั้ง	113
ค11 เส้นโค้ง ความดัน (Stress (MPa)) - ความเครียด (Strain (%)) ของการทดลองที่ 11 โดยมีการทำซ้ำ 2 ครั้ง	114
ค12 เส้นโค้ง ความดัน (Stress (MPa)) - ความเครียด (Strain (%)) ของการทดลองที่ 12 โดยมีการทำซ้ำ 2 ครั้ง	114
ค13 เส้นโค้ง ความดัน (Stress (MPa)) - ความเครียด (Strain (%)) ของการทดลองที่ 13 โดยมีการทำซ้ำ 2 ครั้ง	115
ค14 เส้นโค้ง ความดัน (Stress (MPa)) - ความเครียด (Strain (%)) ของการทดลองที่ 14 โดยมีการทำซ้ำ 2 ครั้ง	115
ค15 เส้นโค้ง ความดัน (Stress (MPa)) - ความเครียด (Strain (%)) ของการทดลองที่ 15 โดยมีการทำซ้ำ 2 ครั้ง	116

สารบัญภาพ (ต่อ)

ภาพพนักที่	หน้า
ค16 เส้นโค้ง ความดัน (Stress (MPa)) - ความเครียด (Strain (%)) ของการทดสอบที่ 16 โดยมีการทำซ้ำ 2 ครั้ง	116
ค17 เส้นโค้ง ความดัน (Stress (MPa)) - ความเครียด (Strain (%)) ของการทดสอบที่ 17 โดยมีการทำซ้ำ 2 ครั้ง	117
ค18 เส้นโค้ง ความดัน (Stress (MPa)) - ความเครียด (Strain (%)) ของการทดสอบที่ 18 โดยมีการทำซ้ำ 2 ครั้ง	117
ค19 เส้นโค้ง ความดัน (Stress (MPa)) - ความเครียด (Strain (%)) ของการทดสอบที่ 19 โดยมีการทำซ้ำ 2 ครั้ง	118
ค20 เส้นโค้ง ความดัน (Stress (MPa)) - ความเครียด (Strain (%)) ของการทดสอบที่ 20 โดยมีการทำซ้ำ 2 ครั้ง	118
ค21 เส้นโค้ง ความดัน (Stress (MPa)) - ความเครียด (Strain (%)) ของการทดสอบที่ 21 โดยมีการทำซ้ำ 2 ครั้ง	119
ค22 เส้นโค้ง ความดัน (Stress (MPa)) - ความเครียด (Strain (%)) ของการทดสอบที่ 22 โดยมีการทำซ้ำ 2 ครั้ง	119
ค23 เส้นโค้ง ความดัน (Stress (MPa)) - ความเครียด (Strain (%)) ของการทดสอบที่ 23 โดยมีการทำซ้ำ 2 ครั้ง	120
ค24 เส้นโค้ง ความดัน (Stress (MPa)) - ความเครียด (Strain (%)) ของการทดสอบที่ 24 โดยมีการทำซ้ำ 2 ครั้ง	120
ค25 เส้นโค้ง ความดัน (Stress (MPa)) - ความเครียด (Strain (%)) ของการทดสอบที่ 25 โดยมีการทำซ้ำ 2 ครั้ง	121
ค26 เส้นโค้ง ความดัน (Stress (MPa)) - ความเครียด (Strain (%)) ของการทดสอบที่ 26 โดยมีการทำซ้ำ 2 ครั้ง	121
ค27 เส้นโค้ง ความดัน (Stress (MPa)) - ความเครียด (Strain (%)) ของการทดสอบที่ 27 โดยมีการทำซ้ำ 2 ครั้ง	122
ค28 เส้นโค้ง ความดัน (Stress (MPa)) - ความเครียด (Strain (%)) ของการทดสอบที่ 28 โดยมีการทำซ้ำ 2 ครั้ง	122

สารบัญภาพ (ต่อ)

ภาพนวนที่	หน้า
ค29 เส้นโค้ง ความเคี้ยว (Stress (MPa)) - ความเครียด (Strain (%)) ของการทดสอบที่ 29 โดยมีการทำซ้ำ 2 ครั้ง	123
ค30 เส้นโค้ง ความเคี้ยว (Stress (MPa)) - ความเครียด (Strain (%)) ของการทดสอบที่ 30 โดยมีการทำซ้ำ 2 ครั้ง	123
ค31 เส้นโค้ง ความเคี้ยว (Stress (MPa)) - ความเครียด (Strain (%)) ของการทดสอบที่ 31 โดยมีการทำซ้ำ 2 ครั้ง	124
ค32 เส้นโค้ง ความเคี้ยว (Stress (MPa)) - ความเครียด (Strain (%)) ของการทดสอบที่ 32 โดยมีการทำซ้ำ 2 ครั้ง	124
ค33 เส้นโค้ง ความเคี้ยว (Stress (MPa)) - ความเครียด (Strain (%)) ของการทดสอบเพื่อ ยืนยันผลโดยมีการทำซ้ำ 5 ค่า	125

**การกำหนดสภาพที่เหมาะสมในการฉีดขึ้นรูปและคุณสมบัติของวัสดุเชิงประกอบ
พอลิไพรพิลีนผสมท่อนาโนคาร์บอนผนังหลายชั้นโดยวิธีการออกแบบการทดลอง**

**Determination of Appropriate Processing Conditions for Injection Molding and
Properties of Polypropylene/Multiwall Carbon Nanotube Nanocomposites
Using Experimental Design**

คำนำ

ปัจจุบันนาโนเทคโนโลยีเข้ามามีบทบาทสำคัญทางด้านวิทยาศาสตร์ เทคโนโลยี และ วิศวกรรมมากยิ่งขึ้น การพัฒนาเทคโนโลยีในระดับนาโนเมตรจึงเป็นสิ่งที่จำเป็นและกำลังได้รับ ความสนใจ โดยเฉพาะอย่างยิ่งการเตรียมระบบที่มีขนาดเล็กลงจนอยู่ในระดับโนเบกุล หรือการ ผสมวัสดุระดับนาโนเมตรซึ่งวัสดุชนิดหนึ่งที่กำลังเป็นที่สนใจอย่างมากในปัจจุบันคือ ท่อนาโน คาร์บอน (Carbon Nanotubes; CNTs)

การศึกษาวิจัยที่จะใช้ท่อนาโนคาร์บอน นำไปประยุกต์ใช้ในงานต่างๆ เกิดขึ้นอย่างมาก many เนื่องจากท่อนาโนคาร์บอนมีอัตราส่วนความแข็งแรงเทียบกับน้ำหนักสูง และยังมีคุณสมบัติ ทางไฟฟ้าและทางความร้อนที่ดี จึงสามารถนำท่อนาโนคาร์บอนมาประยุกต์ใช้เป็นส่วนผสม ในวัสดุอื่นเพื่อช่วยปรับปรุงคุณสมบัติทางกล มีผลทำให้วัสดุเชิงประกอบ (Composite Materials) ที่ได้มีน้ำหนักเบา มีประสิทธิภาพทางกลสูง มีความสามารถในการนำไฟฟ้าและนำความร้อนได้ดี ซึ่งนักวิทยาศาสตร์ของ NASA ประสบความสำเร็จในการใช้ท่อนาโนคาร์บอนเป็นสารตัวเติมผสม ลงในพอลิเมอร์ เพื่อเพิ่มประสิทธิภาพของวัสดุ ซึ่งนำไปสู่การสังเคราะห์พลาสติกที่นำไฟฟ้า และมีค่าความแข็งแกร่งต่อน้ำหนักมากกว่าเหล็กได้

จากคุณสมบัติของวัสดุที่กล่าวข้างต้น จึงนำท่อนาโนคาร์บอนมาผสมรวมกับพอลิไพรพิลีน (Polypropylene) ซึ่งเป็นพลาสติกประเภทเทอร์โมพลาสติกที่มีการใช้งานหลากหลายประเภท มีมวลโนเบกุลเบา มีคุณสมบัติทางกลดี เหนียว ทนต่อแรงดึง แรงกระแทกและทรงตัวดี โอน้ำและออกซิเจนซึ่งผ่านได้ดี โดยมีอุดประสงค์ของการผสมวัสดุเชิงประกอบเพื่อศึกษา คุณสมบัติต่างๆ ที่เปลี่ยนไปคือ คุณสมบัติทางกล และสัณฐานวิทยา ซึ่งสามารถนำไปประยุกต์ใช้ เป็นวัสดุเสริมแรง ซึ่งอาจนำไปลดต้นทุนการผลิตได้

การออกแบบการทดลองและโปรแกรมสำเร็จรูปทางสถิติถูกนำมาประยุกต์ใช้ โดยการนำข้อมูลที่ได้มาทำการวิเคราะห์ด้วยหลักการทางสถิติ และหาข้อสรุปว่าปัจจัยป้อนเข้า (Input Variable) ใดที่มีผลต่อผลิตภัณฑ์ที่ให้ห้องมา (Output Response) ซึ่งโดยส่วนใหญ่ลักษณะของกระบวนการเริ่มจากการรวมกันของปัจจัยป้อนเข้า (Input) ประกอบด้วย เครื่องจักร คน วิธีการ วัสดุคิบ และทรัพยากรอื่นๆ ผ่านเข้าไปยังกระบวนการและปัจจัยป้อนเข้าเหล่านี้จะเปลี่ยนรูปออกมามาเป็นผลลัพธ์ (Output) นอกจากนี้ยังสามารถเรียนรู้ผลกระบวนการต่างๆ ที่เกิดจากปัจจัยแต่ละประเภทได้ ซึ่งจะทำให้สามารถศึกษาปัจจัยที่มีผลต่อกระบวนการและหาเงื่อนไขที่เหมาะสมที่จะช่วยเพิ่มประสิทธิภาพในกระบวนการผลิต โดยการลดระยะเวลาในกระบวนการผลิตและช่วยลดต้นทุนการผลิตโดยได้วัดดูเชิงประกอบที่มีคุณภาพตามที่ต้องการ

วัตถุประสงค์

เพื่อศึกษาและกำหนดสภาวะที่เหมาะสมในการนีดขึ้นรูปวัสดุเชิงประกอบพอลิไพรพิลิน ผสมท่อนาโนคาร์บอนชนิดผนังหลายชั้น ที่มีผลต่อคุณสมบัติทางกลของวัสดุเชิงประกอบที่เตรียมได้ โดยมีอัตราส่วนของท่อนาโนคาร์บอน และเงื่อนไขในการนีดขึ้นรูปของวัสดุเชิงประกอบที่ต่างกัน

ขอบเขตของการวิจัย

งานวิจัยฉบับนี้ได้นำท่อนาโนคาร์บอนและพอลิไพรพิลิน มาทำการนีดขึ้นรูปเป็นวัสดุเชิงประกอบผสมอนุภาคนาโน เป็นชิ้นงานทดสอบรูปดัมเบล ด้วยเครื่องนีดพลาสติก (Injection Molding Machine) ของสถาบันค้นคว้าและพัฒนาเทคโนโลยีการผลิตทางอุตสาหกรรม (RDIPT) โดยมีการเปลี่ยนค่าของปริมาณส่วนผสม และเงื่อนไขในการนีดขึ้นรูป เพื่อหาค่าที่ทำให้วัสดุเชิงประกอบมีผลของคุณสมบัติทางกลที่ดียิ่งขึ้น

การออกแบบการทดลองแบบเดิมขึ้นถูกนำมาใช้ในงานวิจัยนี้ โดยเริ่มจากทำการคัดเลือกปัจจัย เพื่อคัดกรองปัจจัยที่มาจากการทดลองที่ต่างกัน ทำการควบคุมปัจจัยที่มีสาเหตุหลักมาจากคน สาเหตุหลักจากเครื่องจักร และสาเหตุหลักจากวัตถุคิดไว้ โดยศึกษาเฉพาะสาเหตุหลักที่มาจากการวิธีการ ซึ่งในที่นี้คือปัจจัยที่เกิดจากเงื่อนไขในการนีดขึ้นรูปของวัสดุเชิงประกอบผสมท่อนาโนคาร์บอน และเนื่องจากข้อจำกัดทางด้านราคากองของวัตถุคิด จึงมีความจำเป็นต้องกรองปัจจัยที่เกิดจากวิธีการอกรอกขึ้น โดยใช้การศึกษาและค้นคว้าจากงานวิจัยที่ผ่านมาทำให้สามารถคัดกรองปัจจัยที่คาดว่าจะมีผลต่อคุณสมบัติทางกล ได้เป็น 5 ปัจจัย ปัจจัยละ 2 ระดับ คือปริมาณท่อนาโนคาร์บอนที่นำมาผสม อุณหภูมิพลาสติกหลอม ความเร็วหนีด ความเร็วรอบสกru และแรงดันข้า จากนั้นทำการนีดขึ้นรูปวัสดุเชิงประกอบผสมท่อนาโนคาร์บอนตามแผนการทดลองที่ได้ออกแบบไว้ เพื่อศึกษาผลของค่ามอดูลัสของยัง (Young's Modulus) และค่าความแข็งแรงดึง (Tensile Strength) ที่เปลี่ยนไปซึ่งจะทำการวิเคราะห์ผลการทดลองด้วยวิธีการทางสถิติ คือ การวิเคราะห์ความแปรปรวน และการวิเคราะห์ความแปรปรวนหลายตัวแปร เพื่อศึกษาหาปัจจัยหลัก และปัจจัยร่วมที่มีผลอย่างมีนัยสำคัญทางสถิติ และหาระดับของปัจจัยที่มีความหมายสมที่สุด นอกจากนี้ในงานวิจัยนี้ยังได้ทำการศึกษาลักษณะทางสัณฐานวิทยาของวัสดุเชิงประกอบผสมอนุภาคนาโน เพื่อแสดงถึงว่า ปริมาณของท่อนาโนคาร์บอนมีผลทำให้ค่าคุณสมบัติทางกลเปลี่ยนไปอีกด้วย

การตรวจสอบสาร

งานวิจัยที่เกี่ยวข้อง

เหรีญญ (2542) ได้นำการวิเคราะห์ความแปรปรวนมาใช้ทดลองเปรียบเทียบส่วนผสมของสารแพคการ์บูโรชิ่ง ที่ใช้ในการชุบเพื่ออบเพิ่มคุณสมบัติเหล็กกล้าคาร์บอน เนื่องจากสารแพคการ์บูโรชิ่งที่ใช้อยู่ในปัจจุบันต้องนำเข้า จึงทำการทดลองทดสอบเอง โดยทดลองทดสอบขึ้น 6 สูตรแล้ว นำไปใช้ชุมเหล็กในสภาวะที่ใช้งานจริง พบว่าส่วนผสมที่ให้ตันทุนต่ำที่สุดและมีคุณภาพใกล้เคียง กับสารที่ใช้อยู่ในปัจจุบันจะประกอบไปด้วย ถ่านไม้ 70% ถ่านโค้ก 18% แบนเรียมคาร์บอนเนต 5% ไซเดียมคาร์บอร์เนต 3% แคลเซียมคาร์บอนเนต 2% และน้ำเหลืองน้ำตาล 2%

ชัยันต์ (2548) ได้ทำการศึกษาหาจุดที่เหมาะสมของกระบวนการผลิตชิ้นส่วนฝาครอบส่วนระบบอากาศที่ผลิตจากกระบวนการนีดพลาสติก เพื่อแก้ปัญหาขึ้นงานที่นีดไม่เต็มชิ้นงาน โดยใช้วิธีการออกแบบการทดลอง พบว่ามีปัจจัยหลักที่มีผลต่อการนีดไม่เต็มชิ้นงานคือ ความดันนีดพลาสติก ความเร็วของการนีดพลาสติก ความเร็วรอบสกรู ความเร็วหลอมพลาสติก และอุณหภูมิภายในกระบวนการนีดส่วนกลาง

Rubin (1972) ได้ระบุในการพูดถึงปัญหาต่างๆในการนีดพลาสติกที่เกิดขึ้นกับผลิตภัณฑ์ต่างๆที่ทำการนีดพลาสติก และได้มีการระบุถึงสาเหตุของการเกิดปัญหาการนีดไม่เต็มชิ้นงานนั้น เกิดจากปัจจัยความดันในการนีดพลาสติก อุณหภูมิในการหลอมพลาสติก และความเร็วของสกรู

Berins (1991) ได้กล่าวถึงปัญหาที่เกิดขึ้นในการนีดพลาสติก และได้มีการอธิบายถึงเรื่องการนีดไม่เต็มชิ้นงานในหัวข้อเรื่องการทำอย่างไรไม่ให้เกิดปัญหาการนีดไม่เต็มชิ้นงาน โดยระบุถึงการพิจารณาในด้านต่างๆที่ทำให้เกิดปัญหาดังกล่าว ซึ่งด้านที่ทำการพิจารณาคือ เครื่องจักร แม่พิมพ์ อุณหภูมิ และวัตถุอื่น โดยสามารถแยกพิจารณาสาเหตุจากทั้ง 4 ด้านได้ดังนี้ ระยะเวลาในการใช้ของเครื่องจักร การบำรุงรักษาเครื่องจักร ความดันในการนีดพลาสติก เวลาในการนีดพลาสติก ความเร็วในการนีดพลาสติก อุณหภูมิภายในกระบวนการนีด (บริเวณส่วนหน้า ส่วนกลาง และส่วนหลัง) อุณหภูมิของหัวนีด (Nozzle temperature) อุณหภูมิในการหลอมพลาสติก และส่วนผสมของเม็ดพลาสติกที่ใช้

Hammel (2004) กล่าวว่า ท่อนาโนคาร์บอน และเส้นไนนาโนคาร์บอน ถูกนำมาใช้อย่างแพร่หลายในด้านวัสดุศาสตร์ และจะถูกนำไปใช้ทางการค้ามากขึ้น ซึ่งทำให้มีความจำเป็นที่จะต้องลดต้นทุนทางการผลิตในส่วนของวัตถุดิบ ในที่นี้คือเส้นไนนาโนคาร์บอน ซึ่งเขาได้ทำการสังเคราะห์เส้นไนนาโนคาร์บอนในต้นทุนที่ต่ำลงได้ โดยการลดอุณหภูมิ และอัตราการไหลดิน ขณะที่ทำการสังเคราะห์ ซึ่งส่งผลให้ได้ผลผลิตเพิ่มขึ้นมากสุดถึงร้อยละ 70 นอกจากนี้ยังได้ศึกษาถึงการกระจายตัวของเส้นไนนาโนคาร์บอนในพอลิโพลีนซึ่งสามารถนำไปผสมแล้วให้ค่าความต้านทานไฟฟ้าต่ำลงเป็น 10^5 โอมเมตริกเมตร

Jeanvons (2004) ซึ่งเป็นตัวแทนของบริษัท Polybridge Training ได้กล่าวในการสัมมนาเรื่องการอบรมกระบวนการการฉีดพลาสติกว่า จากการที่บริษัทได้เป็นที่ปรึกษาและทำการแก้ไขปรับปรุงในโรงงานอุตสาหกรรมการฉีดพลาสติกเป็นจำนวนมาก ได้ทำการวิเคราะห์ข้อมูลในการวิจัยที่เกี่ยวข้องกับกระบวนการการฉีดพลาสติกที่ผลิตภัณฑ์เกิดปัญหาจากการฉีดไม่เต็มชิ้นงาน พบว่าปัจจัยสำคัญที่มีผลคือ ความเร็วในการฉีดพลาสติก ความดันในการฉีดพลาสติก และความเร็วในการหลอมพลาสติก

Zhang (2007) ใช้เครื่องอัคริคแบบสกรูใน การผสมท่อนาโนคาร์บอนชนิดผนังหลายชั้น กับพอลิโพลีน โดยเปลี่ยนความยาวของท่อนาโนคาร์บอนเป็นขนาด 1-2 ไมโครเมตร และ 5-15 ไมโครเมตรเพื่อศึกษาคุณสมบัติการกระแทก ผลการทดสอบพบว่าท่อนาโนคาร์บอนที่มีขนาดยาวกว่ามีผลทำให้วัสดุผสมมีความแข็งแรงมากกว่าท่อนาโนคาร์บอนที่ลักษณะ การเพิ่มของความต้านทานการกระแทกถูกนำมาพิจารณาในการทดลองด้วยเนื้องจากจะช่วยในการพิจารณาเกี่ยวกับความสามารถในการรับน้ำหนัก

Chen et al. (2007) ทำการผสมท่อนาโนคาร์บอนผนังหลายชั้นที่ปริมาณร้อยละ 1, 3, 5 และ 8 โดยน้ำหนัก กับพอลิคาร์บอเนต โดยใช้เครื่องอัคริคที่อุณหภูมิ 220-250-270-285-285-285องศาเซลเซียสตามลำดับ พบว่า ที่ปริมาณท่อนาโนคาร์บอนเท่ากับร้อยละ 1 โดยน้ำหนัก มีค่าความแข็งแรงดี เพิ่มขึ้นคิดเป็นร้อยละ 4.5 ของพอลิคาร์บอเนต และมีค่า elastic modulus เพิ่มขึ้นเมื่อเพิ่มปริมาณส่วนผสมของท่อนาโนคาร์บอน และมีความสามารถในการนำไฟฟ้าที่ปริมาณท่อนาโนคาร์บอนเท่ากับร้อยละ 5

Singjai (2007) ทำการสังเคราะห์ท่อนาโนคาร์บอนโดยใช้นิเกลเป็นตัวเร่งปฏิกิริยา โดยสังเคราะห์ที่อุณหภูมิ 700 องศาเซลเซียส เป็นเวลา 1ถึง18 ชั่วโมง ศึกษาท่อนาโนคาร์บอนที่เตรียมได้โดยใช้กล้องจุลทรรศน์อิเล็กตรอนแบบส่องกราด พบว่า ท่อที่เตรียมได้มีขนาดเส้นผ่านศูนย์กลางเท่ากับ 20-50 นาโนเมตร

Zhao (2007) ทำการนีดพอลิโพร์พลีนผสมท่อนาโนคาร์บอนชนิดพนังหลาชั้นให้เป็นแผ่นบางที่อุณหภูมิตึ้งแต่รายเดิมเม็ดพลาสติกจนถึงหัวนีดเป็น 160-175-190-200-200-195 องศาเซลเซียสตามลำดับ ด้วยแม่พิมพ์ชนิดพิเศษ แล้วนำไปดูกระบวนการจ่ายตัวของวัสดุผสม ทำการทดสอบคุณสมบัติทางกล พบว่ามีค่าเดี๋ยวนี้เมื่อเป็นวัสดุเชิงประกลบที่มีท่อนาโนคาร์บอนปริมาณ ร้อยละ 0.1-0.3 โดยน้ำหนัก

Bao and Tjong (2008) เตรียมพอลิโพร์พลีนผสมท่อนาโนคาร์บอนชนิดพนังหลาชั้นที่ปริมาณร้อยละ 0.1, 0.3, 0.5 และ 1.0 โดยน้ำหนักด้วยเครื่องอัดรีดแบบสกรูที่ความเร็วรอบ 60 รอบต่อนาที อุณหภูมิ 220-230-220-190 องศาเซลเซียส จากนั้นนำไปนีดขึ้นรูปด้วยเครื่องนีดพลาสติกโดยอบที่อุณหภูมิ 80 องศาเซลเซียส เป็นเวลา 48 ชั่วโมง ก่อนนำไปนีดขึ้นรูปที่อุณหภูมิ 235 องศาเซลเซียส จากนั้นนำไปศึกษาผลของท่อนาโนคาร์บอนชนิดพนังหลาชั้นที่มีผลต่อคุณสมบัติทางกล คุณสมบัติทางความร้อน และ โครงสร้างของวัสดุ nano เซิงประกลบ พบว่า มีโครงสร้างเป็นแบบผลึก ค่าอุณหภูมิการตกผลึกเพิ่มขึ้นเมื่อเพิ่มปริมาณท่อนาโนคาร์บอนชนิดพนังหลาชั้น และมีค่าคุณสมบัติทางกลมีผลที่เดี๋ยวนี้เมื่อผสมท่อนาโนคาร์บอนในปริมาณร้อยละ 0.3-0.5 โดยน้ำหนัก

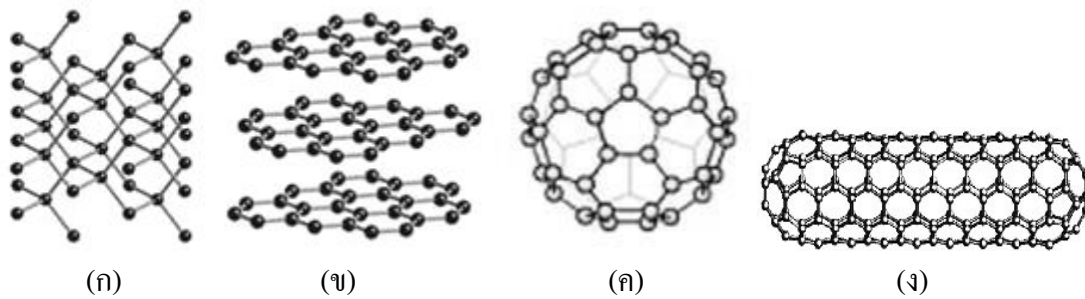
Tobias (2008) ใช้การออกแบบการทดลองแบบแฟคทอเรียล เพื่อศึกษาผลของคุณสมบัติทางกล และคุณสมบัติการนำไฟฟ้าในพอลิคาร์บอนเนตผสมท่อนาโนคาร์บอนชนิดพนังหลาชั้นร้อยละ 2 และร้อยละ 5 โดยน้ำหนัก โดยมีปัจจัยในการศึกษา 4 ปัจจัย ปัจจัยละ 2 ระดับคือ ความดันขึ้น (Holding pressure), ความเร็วนีด (Injection velocity), อุณหภูมิแม่พิมพ์ (Mold temperature) และ อุณหภูมิหลอม (Barrel temperature) พบว่า ค่าแรงกระแทกที่สูงที่สุดขึ้นกับความเร็วนีดที่มีผลสอดคล้องกับอุณหภูมิหลอม ในขณะที่ ค่าความดันขึ้นและอุณหภูมิแม่พิมพ์มีอิทธิพลน้อยมาก และผลจากการศึกษาสัมฐานวิทยาพบว่าความเร็วนีดมีผลต่อการกระจายตัวของท่อนาโนคาร์บอน

หลักการพื้นฐานและทฤษฎีที่เกี่ยวข้อง

1. ท่อนาโนคาร์บอน (Carbon nanotubes)

1.1 การค้นพบท่อนาโนคาร์บอน

ชาตุที่มีความสำคัญและมีคุณประโยชน์อย่างมหาศาลต่อมนุษยชาตุหนึ่ง คือ ชาติคาร์บอนนอกจากจะเป็นองค์ประกอบสำคัญของสิ่งมีชีวิตทุกชนิดแล้ว คาร์บอนยังเป็นที่รู้จักในเรื่องการถูกนำมาใช้ประโยชน์ในด้านที่เกี่ยวข้องกับการพัฒนาวิทยาศาสตร์และเทคโนโลยีมากมาย โดยเป็นที่ทราบกันดีถึงคุณสมบัติด้านความแข็งแรงของชาตุคาร์บอน ที่ได้ชื่อว่าเป็นชาตุที่แข็งแกร่งที่สุดในโลก (โครงสร้างแบบเพชร) คาร์บอนจึงถูกนำมาใช้ผลิต หรือผสมกับวัสดุอื่นๆ เพื่อผลิตเครื่องมือและอุปกรณ์ที่มีความแข็งแรงและทนทานสูง นอกจากนี้ ด้วยคุณสมบัติทางไฟฟ้าของคาร์บอน เช่น สภาพนำไฟฟ้าที่ดี (โครงสร้างแบบกราไฟต์) ทำให้คาร์บอนถูกเลือกให้เป็นองค์ประกอบสำคัญในอุปกรณ์อิเล็กทรอนิกส์มากมาย



ภาพที่ 1 โครงสร้างของชาตุคาร์บอนแบบต่างๆ (ก) เพชร (ข) กราไฟต์ (ค) พลูเลอเริน และ (ง) ท่อนาโนคาร์บอน

ที่มา: Meyyappan (2005)

ท่อนาโนคาร์บอนถูกค้นพบในปี ก.ศ. 1991 โดยนักวิทยาศาสตร์ประเทคโนโลยีญี่ปุ่นที่ชื่อ Sumio Iijima ผู้เชี่ยวชาญเกี่ยวกับการใช้กล้องจุลทรรศน์อิเล็กตรอน โดยเขาสนใจในงานวิจัยของ Kratschmer – Huffman ซึ่งทำการสังเคราะห์ฟลูเลอเริน ซึ่งเป็นโครงสร้างคาร์บอนลักษณะทรงกลมประกอบด้วยคาร์บอนจำนวน 60 อะตอม Iijima ได้ทำการสังเคราะห์ฟลูเลอเริน ด้วยวิธีปล่อย

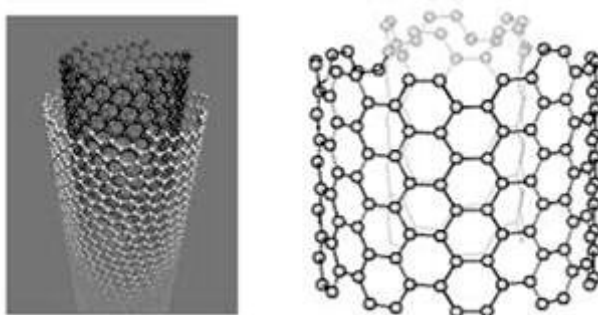
กระแสไฟฟ้าชนิดกระแสตรงระหว่างข้อไฟฟ้าที่ทำมาจากแท่งกราไฟต์ หรือเรียกว่า วิชีดีซี-อาร์กิดิสชาจ์ (DC arc-discharge) เขาสังเกตเห็นก้อนเหมือนเม็ดดำบริเวณผิวน้ำแท่งกราไฟต์ขึ้น แค่โตก และนำก้อนเหมือนน้ำมารีบยกล้องจุลทรรศน์อิเล็กตรอนแบบส่องผ่าน พบร่วมเป็นอัญจูป (Form) แบบใหม่ของการรับอน โดยมีลักษณะเป็นทรงกระบอกคล้าย

หลังจากนั้น Iijima ได้นำเสนอสิ่งที่ค้นพบในวารสารทางวิทยาศาสตร์ Nature และต่อมาถูกเป็นที่สนใจของนักวิทยาศาสตร์ทั่วโลก โดยท่อนานาในการรับอนที่ค้นพบมีผนังซ้อนกันเป็นท่อนาใน การรับอนผนังหลายชั้น (Multiwalled carbon nanotubes, MWCNTs) โดยมีขนาดเส้นผ่าศูนย์กลางประมาณ 23 นาโนเมตร

1.2 ประเภทของท่อนาในการรับอน

ท่อนาในการรับอนนั้นสามารถแบ่งออกเป็น 2 ประเภท คือ

1.2.1 ท่อนาในการรับอนผนังหลายชั้น เกิดจากการซ้อนกันหลายชั้นของผนังท่อโดยแต่ละชั้นอยู่ห่างกันประมาณ 0.34 นาโนเมตร เส้นผ่าศูนย์กลางของ MWCNTs นั้นมีขนาดตั้งแต่ 2 นาโนเมตรจนถึงหลายร้อยนาโนเมตร

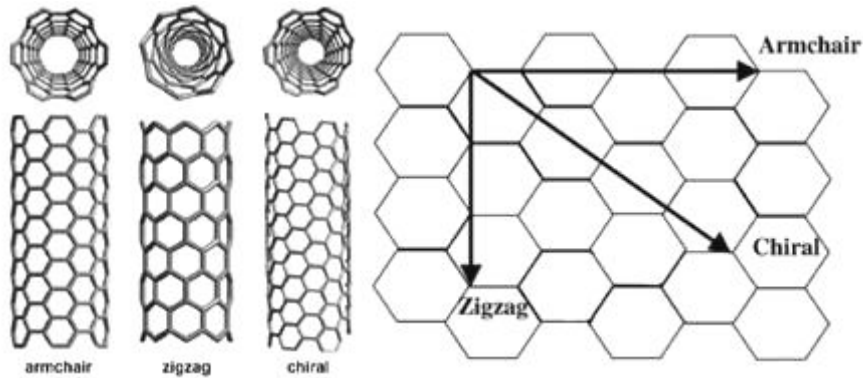


ภาพที่ 2 โครงสร้างของท่อนาในการรับอนผนังหลายชั้น

ที่มา: Harris (1999)

1.2.2 ท่อนาในการรับอนผนังชั้นเดียว มีลักษณะโครงสร้างเป็นท่อกลวง ซึ่งเหมือนการม้วนแผ่นกราไฟต์ชั้นเดียวให้เป็นท่อทรงกระบอก โครงสร้างของ SWCNTs สามารถแบ่ง

ออกเป็น 3 ชนิด ตามลักษณะการม้วน ซึ่งได้แก่ อาร์มแชร์ (Armchair), ซิกแซก (Zigzag) และ ไครออล (Chiral) แสดงดังภาพที่ 3



ภาพที่ 3 โครงสร้างของท่อนาโนคาร์บอนผนังชั้นเดียว และลักษณะการม้วนแผ่นกราไฟต์เป็นท่อนาโนคาร์บอนผนังชั้นเดียว

ที่มา: Harris (1999)

1.3 โครงสร้างของท่อนาโนคาร์บอน

ท่อที่เกิดจากชั้นของแผ่นกราไฟต์ชั้นเดียวม้วนเข้าหากันเป็นโพรงรูปทรงกระบอก เรียกว่าท่อนาโนคาร์บอนผนังชั้นเดียว แต่ท่อดังกล่าวถูกเกิดจากชั้นของแผ่นกราไฟต์หลายชั้นม้วนเข้าหากัน เรียกว่าท่อนาโนคาร์บอนผนังหลายชั้น

ท่อนาโนคาร์บอนผนังหลายชั้นที่ไม่มีตำแหน่ง อะตอมคาร์บอนจะยึดกันแบบวงปีดหกเหลี่ยม ระยะระหว่างผนังท่อถึงผนังท่ออีกชั้นจะอยู่ในช่วงเดียวกับระยะระหว่างชั้นของแกรฟิต ประมาณ 3.4 อังสตรอม ท่อนาโนคาร์บอนผนังหลายชั้นจะมีความยาวเท่าๆกันแบบผนังชั้นเดียว แต่ท่องมีขนาดเส้นผ่านศูนย์กลางที่ใหญ่กว่า โดยอาจมีจำนวนชั้นของท่อนาก็ถึง 30 ชั้น ทำให้คุณสมบัติทางการนำไฟฟ้าไม่ดี และคุณสมบัติทางอย่างของท่อนาโนคาร์บอนผนังหลายชั้น จะใกล้เคียงกับกราไฟต์

1.4 คุณสมบัติทางกล และทางไฟฟ้าของท่อนาโนคาร์บอน

คุณสมบัติทั่วไปทางกลและไฟฟ้าของท่อนาโนคาร์บอนนั้น จะสามารถควบคุมได้ด้วยขนาดเส้นผ่าศูนย์กลางของท่อและทิศทางการเรียงตัวของวงแหวนหกเหลี่ยม ที่ทำมุนไครอลเทียบกับแกนของท่อ ด้วยเหตุนี้จึงสามารถสังเคราะห์ท่อนาโนคาร์บอนให้มีคุณสมบัติที่เป็นได้ทั้งโลหะ และสารกึ่งตัวนำ หรือแม้กระทั่งว่าอาจจะแสดงคุณสมบัติ ตัวนำไฟฟ้าอย่างรวด ซึ่งมีความเป็นไปได้ด้วยการเติมสารเจือบางอย่างเข้าไป

โครงสร้างท่อที่สังเคราะห์ได้จะถูกตรวจสอบขนาดและรูปร่างด้วยกล้องจุลทรรศน์อิเล็กตรอนแบบส่องผ่าน ส่วนคุณสมบัติทางกลหรือมอคูลัสของยังวัดได้โดยใช้กล้องจุลทรรศน์แรงดัน (Atomic Force Microscope, AFM) ค่าที่วัดได้จะอยู่ในช่วงของ 1×10^{12} นิวตันต่อตารางเมตร และค่าความแข็งแรงดึง (Tensile strength) มีค่าอยู่ในช่วง 2×10^{12} นิวตันต่อตารางเมตร

คุณสมบัติทางไฟฟ้าที่น่าสนใจของท่อนาโนคาร์บอน คือ สามารถปลดปล่อยอิเล็กตรอนจากปลายของท่อในสภาพสุญญากาศได้ เมื่อว่างอยู่ในสภาวะไฟฟ้าที่มีค่าศักย์ไฟฟ้าที่ไม่สูงมากนักประมาณ 1-3 โวลต์ ที่ระยะห่าง 1 มิลลิเมตร แต่สำหรับปลายที่เป็นขี้ว์โมลบเดียม (Molybdenum) ต้องใช้ศักย์ไฟฟ้าสูงถึง 50-100 โวลต์

1.5 การนำท่อนาโนคาร์บอนไปประยุกต์ใช้งาน

เนื่องจากคุณสมบัติที่น่าสนใจมากหลายของท่อนาโนคาร์บอน จึงถูกนำมาประยุกต์ใช้งานหลากหลายด้าน ถึงแม้ปัจจุบันยังไม่เป็นที่แพร่หลายเนื่องจากข้อจำกัดทางด้านการผลิตที่จะได้ท่อนาโนคาร์บอนที่มีคุณภาพดีด้านน้อย อีกทั้งค่าใช้จ่ายค่อนข้างสูง แต่ในไม่ช้าท่อนาโนคาร์บอนจะถูกนำมาใช้เป็นวัสดุที่สำคัญในสาขานาโนเทคโนโลยีอย่างแน่นอน

จากคุณสมบัติทางกลพบว่าท่อนาโนคาร์บอนมีอัตราส่วนความแข็งแรงต่อหนัก (Strength to weight ratio) สูงมากจึงสามารถนำมาประยุกต์ใช้เป็นวัสดุเชิงประกอบ (Composite material) เพื่อเพิ่มความแข็งแรงให้แก้วัสดุเดิม นอกจากนี้จากคุณสมบัติการนำไฟฟ้าของท่อนาโนคาร์บอน สามารถเป็นได้ทั้งตัวนำไฟฟ้า สารกึ่งตัวนำ และวนวนไฟฟ้า ขึ้นอยู่กับทิศทางการม้วนเป็นท่อของแผ่นกราไฟต์จึงสามารถนำมาประยุกต์ใช้เป็นอุปกรณ์อิเล็กทรอนิกส์ได้

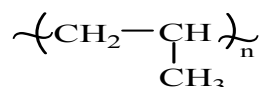
เช่น ใช้ปีนกรานซิสเตอร์ (Transistor) โดยการนำห่อนาโนคาร์บอนพนังชั้นเดียวมาต่อเข้ากับ ขั้วโลหะ 2 ขั้ว เมื่อให้ศักย์ไฟฟ้าไปที่ขั้วโลหะ ห่อนาโนคาร์บอนจะเปลี่ยนสถานะทางไฟฟ้า จาก ตัวนำไฟฟ้าไปเป็น导电 หรือจากดูดัน ไปเป็นตัวนำไฟฟ้า

ท่อนาโนคาร์บอนยังสามารถนำมาใช้เป็นตัวตกผลึกโปรตีน (Protein crystallization) โดย ใช้ผิวค้างข้างของห่อนาโนคาร์บอนเป็นตัวรองรับการเกาะของผลึกโปรตีนชนิด สเตรปตาวิดิน (Streptavidin) โดยจะก่อตัวเป็นเกลียวไปตามผิวค้างข้างของห่อนาโนคาร์บอน คือ ขนาดของห่อนาโนคาร์บอนที่มีขนาด เล็กนี้สามารถเข้าถึงโครงสร้างในระดับเซลล์ได้ นั่นคือสามารถใช้เป็นโพร์บ (Probe) ตรวจวัด หรือ ใช้เป็นปีเพ็ตต์ขนาดเล็กมาก (Ultrasmall pipette) สำหรับปลดปล่อยสารหรือโมเลกุล เข้าสู่เซลล์ เป้าหมายได้ นับเป็นศักยภาพของห่อนาโนคาร์บอน ในการขนถ่ายและปลดปล่อยยาเข้าสู่อวัยวะ เป้าหมาย (Targeted drug delivery)

ห่อนาโนคาร์บอนยังสามารถนำไปใช้ทำโพร์บวัด (Probing tip) ให้กับ AFM ทึ้งนี้ เพราะ ห่อนาโนคาร์บอนมีค่ามอคูลัสของยังสูง ทำให้มีข้อได้เปรียบกว่าโพร์บวัดที่ทำจากซิลิคอน หรือซิลิคอนในไตรในแรงของความมีเสถียรภาพและความคงทน ที่สำคัญห่อนาโนคาร์บอนสามารถ ทำให้มีขนาดเส้นผ่านศูนย์กลางเล็กลงไปได้ถึง 1.2 นาโนเมตร จึงเป็นการลดปัญหาในเรื่องจีดจำกัด มุมโคน (Cone angle) และรัศมีความโถ้งของปลายโพร์บวัด ซึ่งเป็นสาเหตุของความคลาดเคลื่อน เมื่อวัดผิววัตถุที่มีความลาดชันสูง และมีขนาดใกล้เคียงกับปลายของโพร์บวัด เช่น การวัดภาพ ดีอีนเอ เป็นต้น ดังนั้นห่อนาโนคาร์บอนจึงเหมาะสมสำหรับทำโพร์บวัด เพื่อเพิ่มกำลังการแยกให้กับ กล้องจุลทรรศน์อิเล็กตรอน

2. พอลิไพรพิลีน (Polypropylene : PP)

2.1 สูตรโครงสร้างของพอลิไพรพิลีน



ภาพที่ 4 สูตรโครงสร้างของพอลิไพรพิลีน

ที่มา: Ferdinand *et al.* (2003)

2.2 การสังเคราะห์พอลิไพรพิลีน

การสังเคราะห์พอลิไพรพิลีนโดยใช้ตัวเร่งปฏิกิริยาซึ่กเลอร์ จะคล้ายกับการสังเคราะห์พอลีอีโทลีน โดยพอลิเมอร์ชนิดนี้จะได้มาจากการผลิตภัณฑ์ปีโตรเลียม เช่น แก๊สธรรมชาติ เป็นต้น

พอลิไพรพิลีนเป็นเทอร์โนพลาสติกที่มีโครงสร้างแบบเชิงเส้น ปราศจากกิ่งก้านสาขา แบบแยกจากลำตัว เนื่องจากโมเลกุลของพอลิไพรพิลีนมีหมู่เมทธิล (CH_3) ต่อ กับ อะ ตอม ของ แ ร์ บ อน ต ร ง พ ั น ะ ค ु ด ง น ั น เมื่อเกิดปฏิกิริยาพอลิเมอร์ไรเซชันจึงอาจเกิดผลิตภัณฑ์ได้ 3 แบบ ดังนี้

- แบบไอโซแทกติก (Isotactic)
- แบบซินดิไอแทกติก(Syndiotactic)
- แบบอะแทกติก (Atactic)

การผลิตพอลิไพรพิลีน ให้มีโครงสร้างเป็นแบบไอโซแทกติก เป็นสิ่งที่ผู้ผลิตต้องการ เพราะจะทำให้พอลิไพรพิลีนมีคุณสมบัติทางกลที่ดี ได้แก่ ความแข็งแรง ความแข็งดึง และความทนความร้อน เป็นต้น

เกรดทางการค้าของพอลิไพรพิลีนส่วนใหญ่เป็นไอโซแทกติก การมีหมู่เมทธิลอะสาระตลอดแนวของโมเลกุล ทำให้พอลิไพรพิลีนไม่ค่อยเสถียรต่อแสงอัลตราไวโอเลต ซึ่งในการผสม มักจะใช้สารเสถียรมากกว่ากรณีที่เป็นพอลีอีโทลีน ถ้าใช้โนโนเมอร์ไพรพิลีน 100% ใน การ เตรียม พอลิไพรพิลีนจะได้พอลิไพรพิลีนที่เป็นโคลพอลิเมอร์ แต่พอลิเมอร์ตัวนี้ไม่เหมาะสมกับการใช้งาน ที่อุณหภูมิต่ำกว่า 0°C ซึ่งจะแตกง่ายเมื่อได้รับแรงกระแทก เพื่อเพิ่มความเหนียวของพอลิไพรพิลีน ที่ต้องการใช้งานที่อุณหภูมิต่ำ จึงมักเตรียมพอลิเมอร์โดยการใช้ไพรพิลีนทำปฏิกิริยา โคลพอลิเมอร์เซชันกับเอทิลีนประมาณ 5-15 % เรียกพอลิไพรพิลีนกลุ่มนี้ว่าเป็นพอลิไพรพิลีน โคลพอลิเมอร์

เมื่อเปรียบเทียบคุณสมบัติของพอลีอีโทลีนความหนาแน่นสูง (HDPE) กับพอลิไพรพิลีน พบว่าพอลิไพรพิลีนแข็งกว่าเล็กน้อย แต่มีความหนาแน่นน้อยกว่า ทำให้ได้ชิ้นงานที่มีน้ำหนักเบา กว่า พอลิไพรพิลีนจะมีความว่องไวต่อการเสื่อมสภาพเนื่องจากความร้อนและแสงมากกว่าพอลีเอทิลีนความหนาแน่นสูง นิยมประยุกต์พอลิไพรพิลีนแบบการจัดเรียงโมเลกุลใหม่ ซึ่งทำให้ได้

โนมเลกุลที่มีการจัดเรียงตัวในแนวเดียวกัน ทำให้มีความแข็งแรงมากในทิศทางที่ดึง และมีความใส สูง

2.3 คุณสมบัติทั่วไปของพอลิไพรพิลีน

2.3.1 คุณสมบัติทางกล

ไฮโซแท็กติกพอลิไพรพิลีน มีโครงสร้างเชิงเส้นตรง โดยตลอด ปราศจากสาขา ใช้ มีความเป็นผลึกสูง มีจุดหลอมตัว 185°C พอลิเมอร์ชนิดนี้ถือได้ว่าเป็นพลาสติกที่เบาที่สุด มี ความหนาแน่น 0.905 กรัมต่อลูกบาศก์เซนติเมตร และเนื่องจากมีความเป็นผลึกสูงนี้เอง เป็นเหตุให้ พอลิไพรพิลีนมีคุณสมบัติทางกลที่ดีมาก คือ เหนียว แข็งแกร่ง และมีความแข็งแรงดึงสูง จุดหลอม ตัวสูงกว่าพอลิ เอทิลีนทำให้พอลิไพรพิลีนเหมาะสมสำหรับการใช้งานที่อุณหภูมิสูงกว่า

2.3.2 คุณสมบัติทางเคมี

การละลาย ได้ของพอลิไพรพิลีนคล้ายคลึงกับของพอลิเอทิลีน กล่าวคือ ไม่ สามารถละลายได้ในตัวทำละลายใดๆ ที่อุณหภูมิห้อง แต่จะละลายได้ในตัวทำละลาย ไฮโดรคาร์บอน และคลอรีนเอนเตคไซด์ในคาร์บอนที่อุณหภูมิสูงกว่า 80°C ทนต่อกรด และเบสเป็น อย่างดี และถือว่าเป็นปฎิกริยาเคมี

2.3.3 คุณสมบัติทางความร้อน

พอลิไพรพิลีนมีปฏิกริยาต่อกลางความร้อน แสง และตัวออกซิไดส์น้ำยักษ์กว่าพอลิเอ ทิลีน เพราะ ใช้ของพอลิเอทิลีนมีไฮโดรเจนอะตอมเกิดพันธะกับคาร์บอนของชา 3 ดังนั้นก่อนนำพา ลิไพรพิลีน ไปใช้งานต้องมีการเติมตัวแอนติออกซิเดนต์และตัวอัลตราไวโอดีทีบีไลเซอร์ พอลิไพรพิลีน มีความหนาแน่น 0.90 g/cm^3 มีจุดหลอมเหลว 185 C หมุ่เมทธิลทำให้โนมเลกุลอยู่ห่าง กัน แต่ยังคงมีความแข็งแกร่งสูง จุดอุ่นของพอลิไพรพิลีนคือ จะประมาณที่อุณหภูมิต่ำ (0°C) และเสถียรภาพของพอลิไพรพิลีนต่อแสงอัลตราไวโอดีต และออกซิเจนต่ำกว่าพอลิเอทิลีน จึง ไม่เหมาะสมกับการใช้งานกลางแจ้ง เนื่องจากแสงอัลตราไวโอดีจะทำให้ประ แตกร้าว สีซีดจางได้ ง่าย ดังนั้น ก่อนนำไปใช้งานต้องใส่สารแอนติออกซิเดนซ์ สารเพิ่มความเสถียรภาพ

UV (UV stabilizer) อื่นๆ จุดเด่นของพอลิโพร์พลีนคือมีคุณสมบัติทางกลดีมาก เช่น มีความทนทาน แรงดึงสูง จุดหลอมเหลวสูงกว่าพอลิเอทิลิน เหมาะกับงานอุณหภูมิสูง ทนอุณหภูมน้ำเดือดได้ใช้ทำถุงน้ำร้อน นอกจากนี้พอลิโพร์พลีนยังทนน้ำมันและไขมันได้ดี ส่วนไอน้ำและออกซิเจนซึ่งผ่านได้ต่ำกว่าพอลิเอทิลิน และยังใสกว่าพอลิเอทิลิน

2.4 การนำไปใช้งาน

พอลิโพร์พลีนเป็นสารไฮโดรคาร์บอนพอลิเมอร์แบบเส้น มีคุณสมบัติคล้ายพอลิเอทิลิน โดยเฉพาะคุณสมบัติการบวมตัว การละลาย และคุณสมบัติทางไฟฟ้า พอลิโพร์พลีนจัดเป็นพลาสติกที่มีความเบามากที่สุด มีคุณสมบัติทางกลที่ดีมาก จึงนำมาใช้งานอย่างกว้างขวาง ดังนี้

งานฉีดขึ้นรูป (Injection molding) ใช้ทำกล่องแบบเตอรี่ ถังน้ำมันรถยนต์ กันชนรถยนต์ ลังใส่ขวด กระถางต้นไม้ ของเด็กเล่น ด้ามเปรงสีฟัน ฝาจุกพลาสติก เฟอร์นิเจอร์ เครื่องใช้ทางการแพทย์ เช่นระบบอกรดีไซร์ ใช้ครั้งเดียวทิ้ง

งานเป่าแบบ (Blow molding) ใช้ทำผลิตภัณฑ์ เช่นเดียวกับ HDPE เช่น ขวด ถัง หรือภาชนะที่ต้องการความทนทานสูง

งานลิต่งทอ (Textile) ซึ่งต้องการความแข็งแกร่งสูง แต่ยืดหยุ่น รับแรงมากๆ ได้ เช่น ใช้ทำเส้นใยกระสอบสา เชือกฟาง แห awan ผ้าใบปอกป้องพีชสวน

งานเป่า (Blow film) งานเป่าถุงรับประทานด้วยน้ำ ทำให้ได้ฟิล์มใส เนื้อจากเย็น ตัวอย่างรวดเร็วจึงมีส่วนที่เป็นอัลตราโซนิกมาก เกิดผลึกน้ำ油 แต่ความแข็งแกร่งจะเสียไปบ้าง ใช้ทำพลาสติกหุ้มของบุหรี่ ซองใส่สีอีช็ิต ถุงร้อน ถุงเย็น งานเป่าถุงรับประทานด้วยอากาศ จะค่อนข้างทึบแสง ญี่ปุ่นเล็กน้อย เนื่องจากโมเลกุลมีโอกาสจัดเรียงตัวได้มากกว่า ในระหว่างที่อุณหภูมิผ่าน T_m และ T_g จึงมีความแข็งแกร่ง และมีความทนแรงดึงสูง

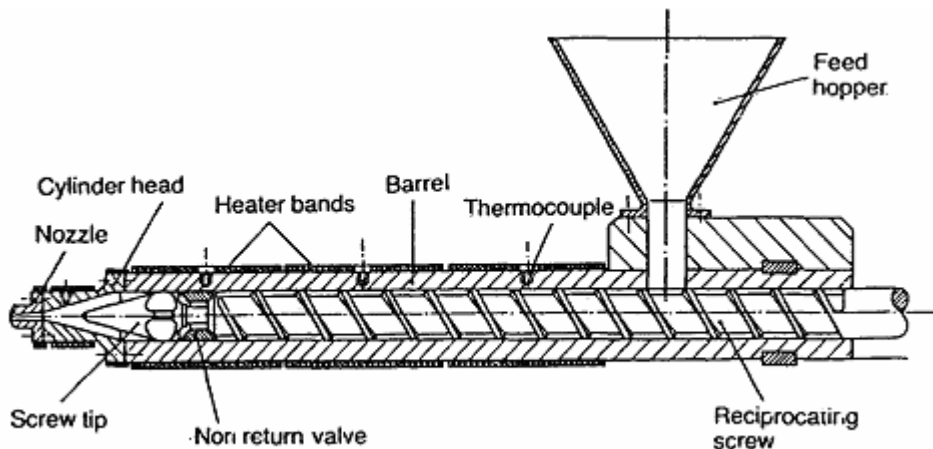
3. เครื่องฉีดพลาสติก (Injection Molding Machine)

3.1 พื้นฐานการฉีดพลาสติก

การฉีดพลาสติก เป็นกระบวนการหลักในการผลิตชิ้นงานพลาสติกสำเร็จรูป เครื่องฉีดพลาสติกมีอยู่ด้วยกันหลายลักษณะ ซึ่งมีการออกแบบให้เหมาะสมกับการผลิตชิ้นงานพลาสติกแต่ละชนิด การผลิตชิ้นงานขนาดใหญ่ใช้เครื่องฉีดขนาดใหญ่ แต่การฉีดชิ้นงานพลาสติกขนาดเล็ก มักใช้เครื่องฉีดขนาดเล็ก มักจะใช้เครื่องฉีดพลาสติกขนาดใหญ่ที่ฉีดชิ้นงานได้หลายชิ้นในคราวเดียวกัน ซึ่งประหยัดต้นทุนมากกว่าการใช้เครื่องขนาดเล็กที่ฉีดได้ชิ้นเดียวต่อครั้งจำนวนหลายเครื่อง

3.2 ส่วนประกอบของเครื่องฉีดพลาสติก

ส่วนประกอบภายในเครื่องฉีดพลาสติกมีความสำคัญต่อกระบวนการฉีดเป็นอย่างมาก ซึ่งอุปกรณ์ภายในดังกล่าวมีชื่อเรียกที่แตกต่างกันตามหน้าที่การทำงานดังแสดงในภาพที่ 5



ภาพที่ 5 ส่วนประกอบสำคัญของเครื่องฉีดพลาสติก

ที่มา: วิโรจน์ (2540)

3.2.1 กรวยป้อนเม็ดพลาสติก (Feed Hopper) คือ ส่วนที่ป้อนเม็ดพลาสติกเข้าสู่ Heating Cylinder การป้อนเม็ดพลาสติกนั้นจะสามารถตั้งระบบการป้อน ตามปริมาตรหรือขนาดของชิ้นงาน

3.2.2 เกลี่ยวนอน (Reciprocating Screw) คือ ㎏รูในเครื่องนีดพลาสติกที่ทำหน้าที่หมุนพาเม็ดพลาสติกจาก Hopper วิ่งไปตามระบบอุณหภูมิจนถึงหัวฉีด ในขณะที่หมุนพาพลาสติกไปบนพลาสติกจะได้รับความร้อนจาก Heater และขณะเดียวกันก็จะได้รับความร้อนจากการเสียดสีเนื่องจากแรงบิดของ㎏รูด้วย

3.2.3 ตัววัดอุณหภูมิ (Thermocouple) คือ ตัววัดอุณหภูมิของระบบอุณหภูมิเครื่องนีดพลาสติก

3.2.4 กระบอกนีด (Barrel) คือ ส่วนที่เป็นระบบอุณหภูมิ

3.2.5 แผ่นให้ความร้อน (Heater Bands) คือ ส่วนที่อยู่ภายในระบบอุณหภูมิที่สามารถปรับอุณหภูมิให้ความร้อนในแต่ละช่วงภายในระบบอุณหภูมิได้ ทั้งนี้เพาะพลาสติก แต่ละชนิดจะให้ความร้อนที่แตกต่างกันออกไป โดยสามารถแบ่งได้เป็น 3 ส่วน คือ ส่วนหน้า ส่วนกลาง และส่วนหลัง

3.2.6 วาล์วันกลับ (Non Return Valve) คือ วาล์วปิดเปิดที่ป้องกันการไหลย้อนกลับของพลาสติกเหลวในจังหวะการนีดและรักษาความดัน เป็นอุปกรณ์ที่ทำงานสัมพันธ์กับ Screw Tip

3.2.7 ยอดหัว㎏รู (Screw Tip) คือ ㎏รูที่ป้องกันการไหลย้อนกลับของพลาสติกเหลวในจังหวะการนีดและรักษาความดัน

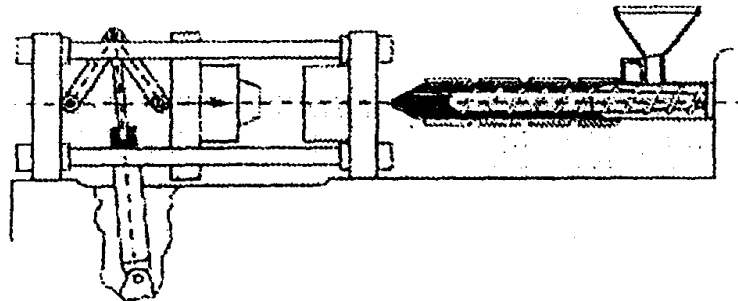
3.2.8 ส่วนหัวระบบอุณหภูมิ (Cylinder Head) คือ ส่วนที่เป็นระบบอุ่นให้ความร้อนแก่เม็ดพลาสติก ปลายระบบอุณหภูมิจะมีหัวฉีดประกอบด้วยและภายในระบบจะประกอบด้วย㎏รูส่ง

3.2.9 หัวฉีด (Nozzle) กือ หัวฉีดซึ่งเป็นส่วนประกอบอยู่ที่ปลายของระบบอกรถ มีหน้าที่ในการเชื่อมต่อชุดน้ำด้วยพิมพ์ในการส่งพลาสติกจากส่วนหัวระบบอกรถหล่อพลาสติกผ่านหัวนำน้ำด้วยไปยังแม่พิมพ์

3.3 ขั้นตอนการทำงานของเครื่องฉีดพลาสติก

ลำดับขั้นตอนการทำงานของเครื่องฉีดพลาสติกสามารถแบ่งได้เป็น 9 ขั้นตอน ดังนี้

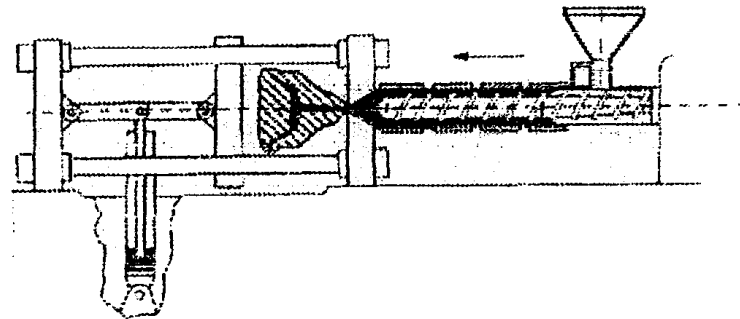
3.3.1 จังหวะปิดแม่พิมพ์ เป็นจังหวะที่แม่พิมพ์เคลื่อนที่ปิดด้วยระบบไฮดรอลิกส์พร้อมกับล็อกไม่ให้แม่พิมพ์เผยแพร่ขณะฉีด



ภาพที่ 6 จังหวะที่ 1 ปิดแม่พิมพ์

ที่มา: วิโรจน์ (2540)

3.3.2 จังหวะชุดฉีดเลื่อนเข้าหาแม่พิมพ์ เป็นจังหวะเดียวกับที่แม่พิมพ์ปิด ชุดฉีดจะเลื่อนเข้าหาแม่พิมพ์ด้านที่อยู่ในจังหวะนั้นกับทางเข้า (Spur) และคำงไว้ด้วยแรงค่าหนึ่ง

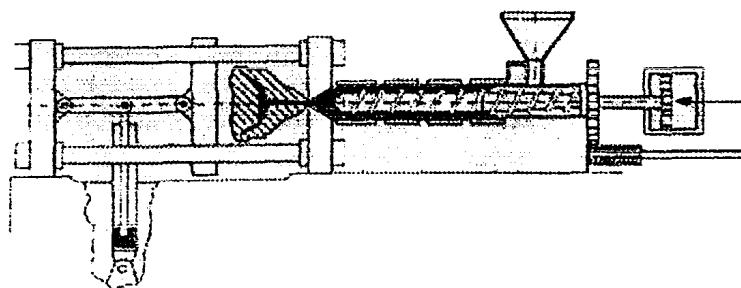


ภาพที่ 7 จังหวะที่ 2 ชุดฉีดเลื่อนเข้าหาแม่พิมพ์

ที่มา: วิโรจน์ (2540)

3.3.3 จังหวะฉีดพลาสติกเข้าสู่แม่พิมพ์ หรือจังหวะเติมพลาสติกเข้าสู่แม่พิมพ์เกลี่ยวนอนจะเคลื่อนที่ตามแนวแกนเพื่อดันน้ำพลาสติกเข้าสู่แม่พิมพ์

3.3.4 จังหวะฉีดรักษาความดัน (Holding) และชดเชยการหดตัว

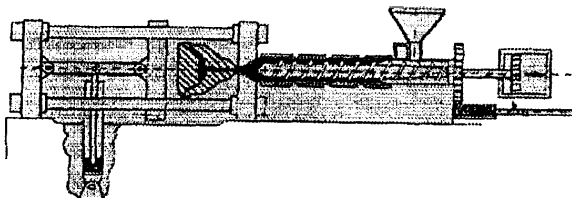


ภาพที่ 8 จังหวะที่ 3 และ 4 ฉีดรักษาความดัน

ที่มา: วิโรจน์ (2540)

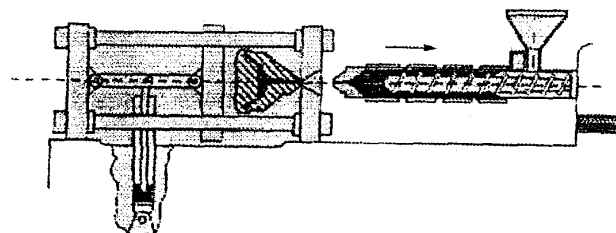
3.3.5 ช่วงการหล่อเย็นชิ้นงาน เป็นการทำงานเพื่อรอให้พลาสติกเหลวแข็งตัว

3.3.6 ป้อนพลาสติกเข้าเกลียวหนอนก่อนทำการหลอมใหม่ เป็นจังหวะที่เกลียวหนอนหมุนเพื่อดึงเม็ดพลาสติกจากกรวยเติมเข้าระบบออกน้ำด้วยหัวฉีดเพื่อหลอมเหลว เกลียวหนอนจะถอยกลับและพร้อมที่จะทำการฉีดในจังหวะต่อไป โดยที่หัวฉีดยังคงติดอยู่กับแม่พิมพ์โดยไม่ถอยกลับ



ภาพที่ 9 จังหวะที่ 5 และ 6 เป็นการหล่อเย็นชิ้นงานที่ฉีดเสร็จ และในขณะเดียวกันทำการป้อนพลาสติกเข้าเกลียวหนอนก่อนทำการหลอมใหม่
ที่มา: วิโรจน์ (2540)

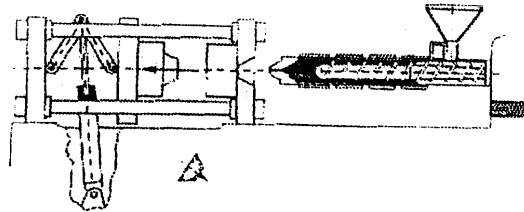
3.3.7 ชุดฉีดถอยกลับเพื่อป้องกันอุณหภูมิหัวฉีดต่ำเกินไป และมิให้พลาสติกที่แข็งตัวติดที่หัวฉีด ทำให้การฉีดครั้งต่อไปง่ายขึ้น



ภาพที่ 10 จังหวะที่ 7 ชุดฉีดถอยกลับ
ที่มา: วิโรจน์ (2540)

3.3.8 แม่พิมพ์เคลื่อนที่เปิดออกถึงระยะสูงสุด

3.3.9 ทำการปลดชิ้นงาน (Ejection) ตัวอี้เจคเตอร์ (Ejector) จะกระทุบให้ชิ้นงานหลุดจากแม่พิมพ์



ภาพที่ 11 จังหวะที่ 8 และ 9 แม่พิมพ์เปิดแล้วปลดชิ้นงานออก
ที่มา: วิโโรจน์ (2540)

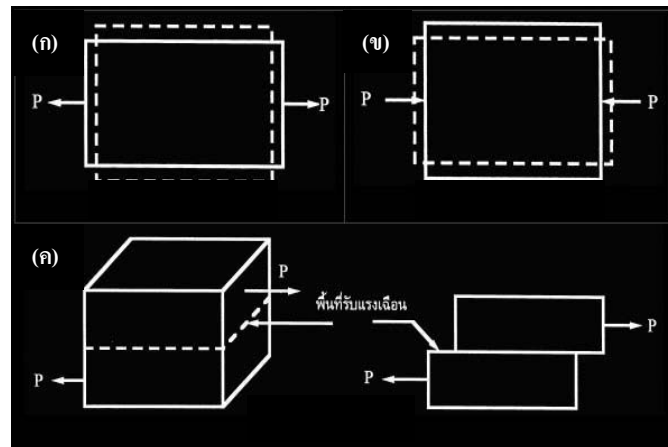
4. คุณสมบัติทางกลและการทดสอบวัสดุ

4.1 คุณสมบัติทางกลของวัสดุ

คุณสมบัติทางกล (Mechanical Properties) เป็นคุณสมบัติที่เกี่ยวกับปฏิกิริยาที่เกิดขึ้นของวัสดุเมื่อมีแรงจากภายนอกมากระทำต่อวัสดุ คุณสมบัติทางกลได้แก่ ความแข็งแรง, ความแข็ง, ความสามารถในการยืดตัว, ความยืดหยุ่น, ความหน่วง เป็นต้น ในงานวิศวกรรมคุณสมบัติทางกล มีความสำคัญมากที่สุด เพราะเมื่อจะเลือกใช้วัสดุใดๆ ก็ตาม สิ่งแรกที่จะนำมาพิจารณา ก็คือ คุณสมบัติทางกลของมัน การที่เครื่องจักรหรืออุปกรณ์ใดๆ จะสามารถทำงานได้อย่างปลอดภัย ขึ้นอยู่กับคุณสมบัติทางกลของวัสดุที่ใช้ทำเครื่องจักร อุปกรณ์นั้นๆ เป็นสำคัญ

4.1.1 ความเดิน (Stress)

ตามความเป็นจริงความเดินหมายถึง แรงต้านทานภายในเนื้อวัสดุที่มีต่อแรงภายนอกที่มากระทำต่อหนึ่งหน่วยพื้นที่ แต่เนื่องจากความไม่เหมาะสมทางปฏิบัติ และความยากในการวัดหาค่านี้ จึงมักจะพูดถึงความเดินในรูปของแรงภายนอกที่มากระทำต่อหนึ่งหน่วยพื้นที่ ด้วยเหตุผลที่ว่า แรงกระทำภายนอกมีความสมดุลกับแรงต้านทานภายในโดยทั่วไปความเดินสามารถแบ่งออกได้เป็น 3 ชนิด ตามลักษณะของแรงที่มากระทำ



ภาพที่ 12 ลักษณะของแรงกระทำชนิดต่างๆ (ก) แรงดึง (Tension) (ข) แรงกด (Compression)

และ (ค) แรงเฉือน (Shear)

ที่มา: มนพล (2531)

ก. ความเค้นแรงดึง (Tensile Stress) เกิดขึ้นเมื่อมีแรงดึงมากกระทำตั้งฉากกับพื้นที่ภาคตัดขวาง โดยพยายามจะแยกเนื้อวัสดุให้แยกขาดออกจากกัน ดังภาพที่ 12(ก)

ข. ความเค้นแรงอัด (Compressive Stress) เกิดขึ้นเมื่อมีแรงกดมากกระทำตั้งฉากกับพื้นที่ภาคตัดขวางเพื่อพยายามอัดให้วัสดุมีขนาดสั้นลง ดังภาพที่ 12(ข)

ค. ความเค้นแรงเฉือน (Shear Stress) เกิดขึ้นเมื่อมีแรงมากกระทำให้ทิศทางขนานกับพื้นที่ภาคตัดขวาง เพื่อให้วัสดุเคลื่อนผ่านจากกันดังภาพที่ 12(ค) มีค่าเท่ากับแรงเฉือน (Shear Force) หารด้วยพื้นที่ภาคตัดขวาง A ซึ่งขนานกับทิศทางของแรงเฉือน ในทางปฏิบัติความเค็นที่เกิดจะมีทั้ง 3 แบบนี้พร้อม ๆ กัน

4.1.2 ความเครียดและการเปลี่ยนรูป (Strain and Deformation)

ความเครียด (Strain) คือ การเปลี่ยนแปลงรูปร่างของวัสดุ (Deformation) เมื่อมีแรงกดมากกระทำ (เกิดความเค้น) การเปลี่ยนรูปของวัสดุนี้เป็นผลมาจากการเคลื่อนที่ภายในเนื้อวัสดุ ซึ่งสามารถแบ่งลักษณะเป็น 2 ชนิดใหญ่ ๆ คือ

ก. การเปลี่ยนรูปแบบอิเล็กทริกหรือความเครียดแบบคืนรูป (Elastic Deformation or Elastic Strain) เป็นการเปลี่ยนรูปในลักษณะที่เมื่อปลดแรงกระทำ อะตอมซึ่งเคลื่อนไหวเนื่องจากพลังของความเค้นจะเคลื่อนกลับเข้าตำแหน่งเดิม ทำให้วัสดุคงรูปร่างเดิมไว้ได้ตัวอย่างได้แก่ พวงยางยืด, สปริง ถ้าดึงมันแล้วปล่อยมันจะกลับไปมีขนาดเดิม

ข. การเปลี่ยนรูปแบบพลาสติกหรือความเครียดแบบคงรูป (Plastic Deformation or Plastic Strain) เป็นการเปลี่ยนสภาพที่ถึงแม้ว่าจะปลดแรงกระทำนั้นออกแล้ววัสดุก็ยังคงรูปร่างตามที่ถูกเปลี่ยนไปนั้น โดยอะตอมที่เคลื่อนที่ไปแล้วจะไม่กลับไปตำแหน่งเดิมวัสดุทุกชนิดจะมีพฤติกรรมการเปลี่ยนรูปทั้งสองชนิดนี้ขึ้นอยู่กับแรงที่มากระทำ หรือความเค้นว่ามีมากน้อยเพียงใด หากไม่เกินพิกัดการคืนรูป (Elastic Limit) และ วัสดุนั้นก็จะมีพฤติกรรมคืนรูปแบบอิเล็กทริก (Elastic Behavior) แต่ถ้าความเค้นเกินกว่าพิกัดการคืนรูปแล้ววัสดุก็จะเกิดการเปลี่ยนรูปแบบการหรือแบบพลาสติก (Plastic Deformation) นอกจากความเครียดทั้ง 2 ชนิดนี้แล้วยังมีความเครียดอิกประเทหนิชซึ่งพบในวัสดุประเภทอลิเมอร์ เช่น พลาสติก เรียกว่าความเครียดกึ่งอิเล็กทริกจะมีลักษณะที่เมื่อปราศจากแรงกระทำวัสดุจะมีการคืนรูป แต่จะไม่กลับไปจนมีลักษณะใหม่อีกเดิม

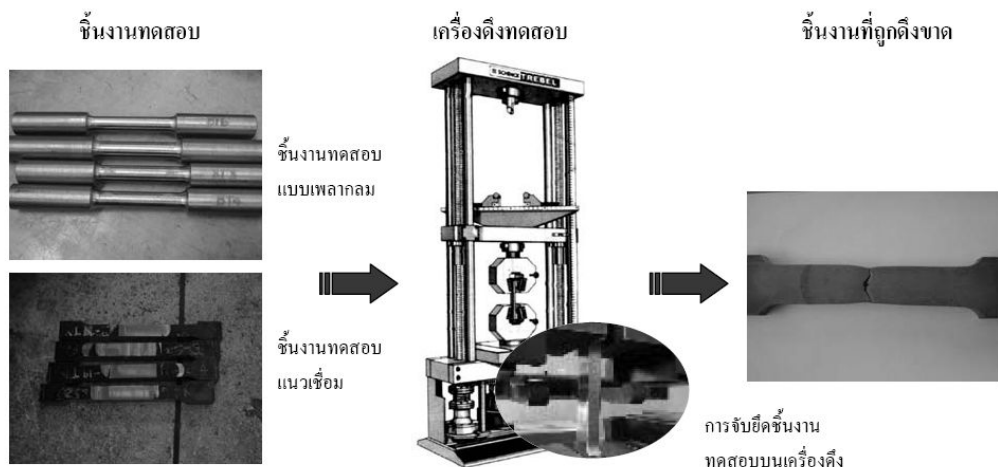
4.2 ความสัมพันธ์ระหว่างความเค้นกับความเครียด (Stress-Strain Relationship)

ในการแสดงความสัมพันธ์ระหว่างความเค้นและความเครียด ในที่นี้จะใช้เส้นโค้งความเค้น-ความเครียด (Stress-Strain Curve) ซึ่งได้จากการทดสอบแรงดึง (Tensile Test) เป็นหลักโดยจะพิจารณาค่าของความเค้นในแกนตั้งและความเครียดในแกนนอน ดังภาพที่ 14 การทดสอบแรงดึง นอกจากระยะห่างความเค้นจะให้ความสัมพันธ์ระหว่างความเค้น-ความเครียดแล้ว ยังจะแสดงความสามารถในการรับแรงดึงของวัสดุ ความเปราะ และอ่อนหักของวัสดุ (Brittleness and Ductility) และบางครั้งอาจใช้บอกความสามารถในการขึ้นรูปของวัสดุ (Formability) ได้อีกด้วย

4.2.1 การทดสอบแรงดึง (Tension Test)

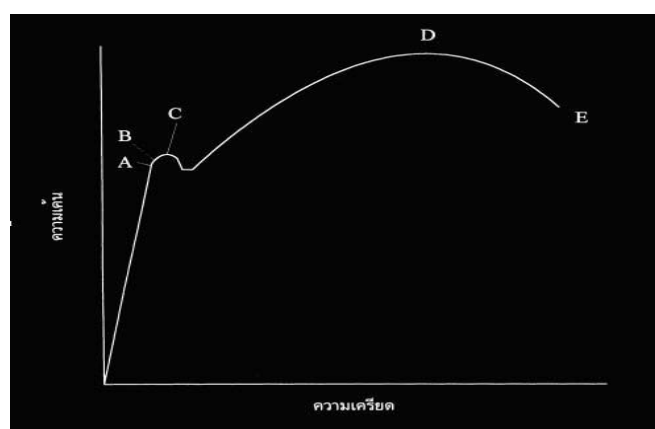
วิธีการทดสอบนั้น จะนำตัวอย่างที่จะทดสอบมาดึงอย่างช้าๆ แล้วบันทึกค่าของความเค้นและความเครียดที่เกิดขึ้นไว้ และมาพิจารณาค่าของความเค้นและรูปร่างของชิ้นทดสอบมีด่างๆ กันขึ้นอยู่กับชนิดของวัสดุนั้นๆ มาตรฐานต่างๆ ของการทดสอบ เช่น มาตรฐาน

ของ ASTM (American Society of Testing and Materials), BS (British Standards), JIS (Japanese Industrial Standards) หรือแม้แต่ มอก.(มาตรฐานผลิตภัณฑ์อุตสาหกรรม ไทย) ได้กำหนดขนาดและรูปร่างของชิ้นทดสอบไว้ ทั้งนี้เพื่อให้ผลของการทดสอบเชื่อถือได้ พร้อมกับกำหนดความเร็วในการเพิ่มแรงกระทำเอาไว้ด้วย



ภาพที่ 13 วิธีการทดสอบแรงดึง

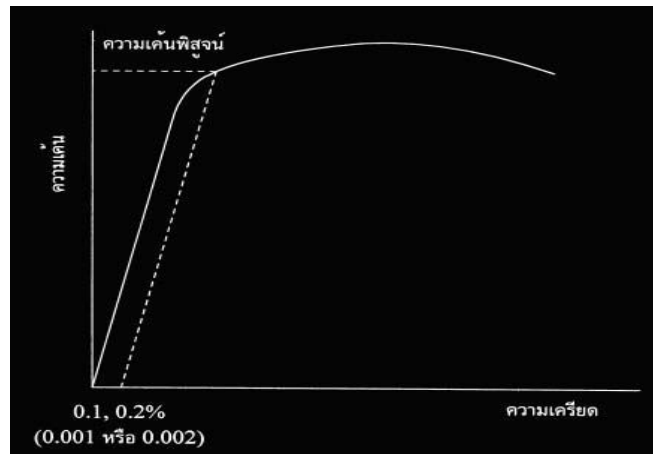
ที่มา: มณฑล (2531)



ภาพที่ 14 เส้นโค้งความตึง-ความเครียด (Stress-Strain Curve) แบบมีจุดคราก (Yield Point)

ที่มา: มณฑล (2531)

จากการศึกษาเส้นโค้งความเค้น-ความเครียด พบว่า เมื่อเริ่มดึงชิ้นทดสอบอย่างช้าๆ ชิ้นทดสอบจะค่อยๆ ยืดออก จนถึงจุดหนึ่ง (จุด A) ซึ่งในช่วงนี้ความสัมพันธ์ระหว่างความเค้น-ความเครียดจะเป็นสัดส่วนคงที่ ทำให้ได้กราฟที่เป็นเส้นตรง ตามกฎของฮูค (Hooke's law) ซึ่งกล่าวว่าความเค้นเป็นสัดส่วนโดยตรงกับความเครียด จุด A นี้ เรียกว่าพิกัดสัดส่วน (Proportional Limit) และภายใต้พิกัดสัดส่วนนี้ วัสดุจะแสดงพฤติกรรมการคืนรูปแบบอิลาสติก (Elastic Behavior) นั่นคือเมื่อปล่อยแรงกระทำ ชิ้นทดสอบจะกลับไปมีขนาดเท่าเดิม เมื่อเพิ่มแรงกระทำต่อไปจนเกินพิกัดสัดส่วน เส้นกราฟจะค่อยๆ โค้งออกจากเส้นตรง วัสดุหลายชนิดจะยังคงแสดงพฤติกรรมการคืนรูปได้อีกเล็กน้อยจนถึงจุดหนึ่ง (จุด B) เรียกว่า พิกัดยึดหยุ่น (Elastic limit) ซึ่งจุดนี้จะเป็นจุดกำหนดว่าความเค้นสูงสุดที่จะไม่ทำให้เกิดการแปรรูป永久 (Permanent Deformation or Offset) กับวัสดุนั้น เมื่อผ่านจุดนี้ไปแล้ววัสดุจะมีการเปลี่ยนรูปอย่างถาวร (Plastic Deformation) ลักษณะการเริ่มต้นของความเครียดแบบพลาสติกนี้เปลี่ยนแปลงไปตามชนิดของวัสดุในโลหะหลายชนิด เช่น พวากเหล็กกล้าคาร์บอนต่ำ (Low Carbon Steel) จะเกิดการเปลี่ยนรูปอย่างรวดเร็ว โดยไม่มีการเพิ่มความเค้น (บางครั้งอาจลดลงก็ได้) ที่จุด C ซึ่งเป็นจุดที่เกิดการเปลี่ยนรูปแบบพลาสติก จุด C นี้เรียกว่าจุดคราก (Yield Point) และค่าของความเค้นที่จุดนี้เรียกว่า ความเค้นจุดคราก (Yield Stress) หรือ Yield Strength ค่า Yield Strength นี้มีประโยชน์กับวิศวกรรมมาก เพราะเป็นจุดแบ่งระหว่างพฤติกรรมการคืนรูปกับพฤติกรรมการคงรูป และในการผิวของโลหะจะเป็นค่าความแข็งแรงสูงสุดที่คงไว้ประ予以น์ได้โดยไม่เกิดการเสียหาย วัสดุหลายชนิด เช่น อะลูมิเนียม ทองแดง จะไม่แสดงจุดครากอย่างชัดเจน แต่ก็มีวิธีที่จะหาได้โดยกำหนดความเครียดที่ 0.10 - 0.20% ของความยาวกำหนดเดิม (Original Gage Length) และลากเส้นบนกราฟช่วงแรกไปจนตัดเส้นกราฟที่โค้งไปทางด้านขวา ดังภาพที่ 15 ค่าความเค้นที่จุดตัดนี้จะนำมาใช้แทนค่าความเค้นจุดครากได้ ความเค้นที่จุดนี้บางครั้งเรียกว่า ความเค้นพิสูจน์ (Proof Stress) หรือความเค้น 0.1 หรือ 0.2% offset ดังแสดงในภาพที่ 15

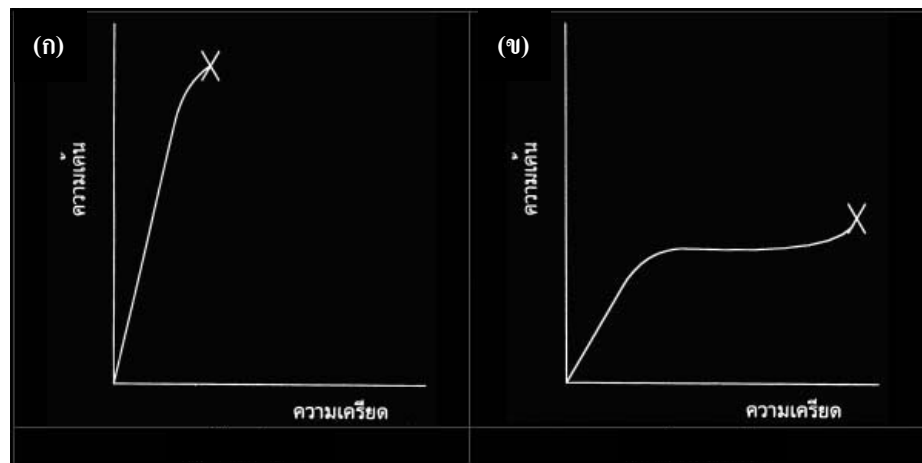


ภาพที่ 15 เส้นโค้งความเค้น-ความเครียด แบบที่ไม่มีจุดคราก

ที่มา: มณฑล (2531)

หลังจากจุดครากแล้ว วัสดุจะเปลี่ยนรูปแบบพลาสติกโดยความเค้นจะค่อยๆ เพิ่มอย่างช้าๆ หรืออาจจะคงที่จนถึงจุดสูงสุด (จุด D) ค่าความเค้นที่จุดนี้เรียกว่า Ultimate Strength หรือความแข็งแรงดึง (Tensile Strength) ซึ่งเป็นค่าความเค้นสูงสุดที่วัสดุจะทนได้ก่อนที่จะขาดหรือแตกออกจากกัน (Fracture) เนื่องจากวัสดุหลายชนิดสามารถเปลี่ยนรูปอย่างพลาสติกได้มากๆ ค่าความเค้นสูงสุดนี้สามารถนำมาคำนวณใช้งานได้ นอกจากนี้ ค่านี้ยังใช้เป็นดัชนีเปรียบเทียบคุณสมบัติของวัสดุได้ด้วยว่า คำว่า ความแข็งแรง (Strength) ของวัสดุ หรือ กำลังวัสดุนั้น โดยทั่วไป จะหมายถึงค่าความเค้นสูงสุดที่วัสดุทนได้นៅอง

ที่จุดสุดท้าย (จุด E) ของกราฟ เป็นจุดที่วัสดุเกิดการแตกหรือขาดออกจากกัน (Fracture) สำหรับโลหะบางชนิด เช่น เหล็กกล้าคาร์บอนต่ำหรือโลหะเหนียว ค่าความเค้นประลัย (Rupture Strength) นี้จะต่ำกว่าความเค้นสูงสุด เพราะเมื่อเลยจุด D ไป ผู้ที่ภาคตัดขวางของตัวอย่างทดสอบลดลง ทำให้พื้นที่จะด้านหน้าแรงดึงลดลงด้วย ในขณะที่ยังคงคำนวณค่าของความเค้นจากพื้นที่หน้าตัดเดิมของวัสดุก่อนที่จะทำการทดสอบแรงดึง ดังนั้นค่าของความเค้นจึงลดลง ส่วนโลหะอื่นๆ เช่น โลหะที่ผ่านการขึ้นรูปเย็น (Cold Work) มาแล้ว มักจะแตกหักที่จุดความเค้นสูงสุดโดยไม่มีการลดขนาดพื้นที่ภาคตัดขวาง ดังภาพที่ 16(ก) ทำนองเดียวกับพลาสติกวัสดุประเภท(Brittle Materials) เช่น เซรามิก ที่มีการเปลี่ยนรูปอย่างพลาสติกน้อยมากหรือไม่มีเลย ส่วนกรณีของวัสดุที่เป็นพลาสติกจะเกิดแตกหักโดยที่ต้องการความเค้นสูงขึ้น ดังภาพที่ 16(ข)



ภาพที่ 16 เปรียบเทียบเส้นโค้งความเค้น-ความเครียด ของ (ก) วัสดุประจำ และ (ข) วัสดุพลาสติก
ที่มา: มนตรล (2531)

เส้นโค้งความเค้น-ความเครียดนี้ นอกจจากจะใช้บอกค่าความแข็งแรง ณ จุดคราก (Yield Strength) ความเค้นสูงสุดและความเค้นประลัยแล้ว ยังจะใช้บอกค่าต่าง ๆ ได้อีกดังนี้คือ

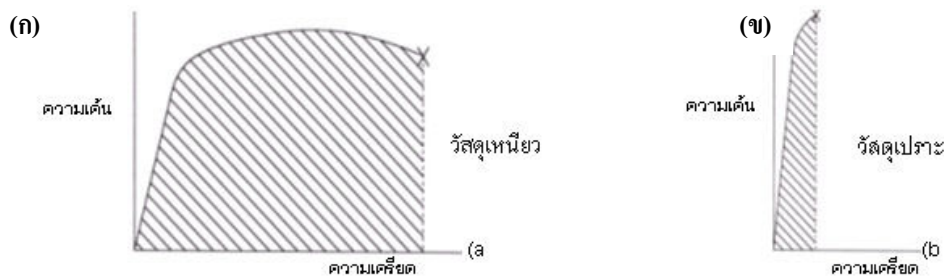
ก. ความเห็นใจ (Ductility) ค่าที่ใช้บอกเป็นร้อยละการยืดตัว (Percentage Elongation : %EI) และการลดพื้นที่ภาคตัดขวาง (Reduction of Area) ในทางปฏิบัติมักใช้ค่าร้อยละการยืดตัวมากกว่าเพราะสะดวกในการวัดความเห็นใจของวัสดุนี้จะเป็นตัวบอกรความสามารถในการขึ้นรูปของมัน คือถ้าวัสดุมีความเห็นใจ (%EI สูง) ก็สามารถนำไปขึ้นรูป เช่น ริด ตีขึ้นรูป ดึง เป็นลวด ฯลฯ ได่ง่าย แต่ถ้ามีความเห็นใจต่ำ (ประจำ , Brittle) ก็จะนำไปขึ้นรูปยาก หรือทำไม่ได้ เป็นต้น

ข. มอดูลัสของยัง (Young's Modulus or Modulus of Elasticity) ภายใต้พิกัดสัดส่วนซึ่งวัสดุมีพฤติกรรมเป็นอิเล็กทริก อัตราส่วนระหว่างความเค้นต่อความเครียดจะเท่ากับค่าคงที่ ค่าคงที่นี้เรียกว่า Modulus of elasticity (E) หรือ มอดูลัสของยัง มักมีหน่วยเป็น ksi (1 ksi=1000 psi) หรือ kgf/mm² หรือ MPa ถ้าแรงที่มากระทำเป็นแรงเฉือน เรียกค่าคงที่นี้ว่า Shear Modulus หรือ Modulus of Rigidity (G) ค่า E และ G ของวัสดุแต่ละชนิดจะมีค่าเฉลี่ยคงที่ และเป็นตัวบอกรความสามารถคงรูป (Stiffness, Rigidity) ของวัสดุ นั่นคือ ถ้า E และ G มีค่าสูงวัสดุจะเปลี่ยนรูปอย่างอิเล็กทริกได้น้อย แต่ถ้า E และ G ต่ำ มันก็จะเปลี่ยนรูปอย่างอิเล็กทริกได้มาก ค่า E และ G นี้มีประโยชน์มากสำหรับงานออกแบบวัสดุที่ต้องรับแรงต่าง ๆ

4.2.2 ความแกร่งหรือความเหนียว (Toughness)

ในการเลือกใช้วัสดุสำหรับงานบางประเภท วิศวกรจำเป็นต้องทราบถึงคุณสมบัติความเหนียว(Toughness) ของวัสดุ เพื่อประเมินโอกาสการแตกหักเสียหาย และความปลอดภัยในขณะใช้งานในสภาวะต่างๆ เช่น การใช้งานเหล็กกล้าทนลึกของรถดันพื้นที่ต้องรับแรงกระแทกจากการบรรทุกหนิน เหล็กกล้าเครื่องมืองานร้อน หรือเหล็กสำหรับงานท่อความดันที่ใช้ในอุณหภูมิต่ำ เป็นต้น

ความเหนียว (Toughness) คือ ความสามารถของวัสดุที่จะดูดซับพลังงานไว้ได้โดยไม่เกิดการแตกหักความเหนียวมีความสัมพันธ์กับความแข็งแรงและความสามารถในการยึดตัวของวัสดุเนื่องจากโดยทั่วไปมักจะประเมินค่าความเหนียวจาก Modulus of Toughness ซึ่งกำหนดให้มีค่าเท่ากับพื้นที่ใต้เส้นโค้งความเค้น (σ) ความเครียด (ϵ) ที่ได้จากการทดสอบแรงดึง (Tensile test) ดังแสดงในภาพที่ 17 ซึ่งค่า Modulus of Toughness นี้ จะแสดงถึงพลังงานต่อหน่วยปริมาตรของวัสดุที่ต้องใช้ในการทำให้วัสดุเกิดการแตกหักเสียหายวัสดุที่มีความเหนียวสูงกว่าจะใช้พลังงานต่อหน่วยปริมาตรของวัสดุที่สูงกว่าในการทำให้วัสดุเกิดการแตกหักเสียหาย



ภาพที่ 17 ความเหนียว (Toughness) ของ (ก) วัสดุเหนียว และ (ข) วัสดุเปราะ
ที่มา: มณฑล (2531)

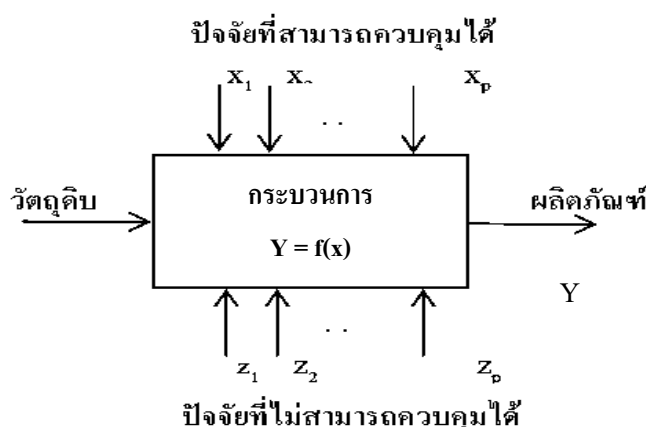
5. การออกแบบการทดลอง (Design of Experiments)

การออกแบบการทดลองเป็นการออกแบบการทดลองเพื่อตรวจสอบว่า ปัจจัย (Factor) ใดหรือตัวแปร (input Variable) ใดที่มีผลต่อสิ่งที่ให้ความสำคัญ (หรือความสนใจ) ในผลิตภัณฑ์ที่ออกมานอกมา (Output Response)

ปัจจัย (Factor) ในการผลิตสามารถแบ่งได้เป็น

ก. ปัจจัยที่ควบคุมได้ (Controllable Factors) หมายถึง ปัจจัยที่สามารถกำหนดค่าของปัจจัยนั้นได้ในการผลิต

ข. ปัจจัยที่ควบคุมไม่ได้ (Uncontrollable Factors) หมายถึง ปัจจัยที่ไม่สามารถกำหนดค่าของปัจจัยนั้นได้ในการผลิต อันเนื่องมาจากเทคโนโลยีไม่ทันสมัยพอ ต้นทุนในการควบคุมสูงมาก หรือไม่มีความสามารถควบคุม เพราะเกิดจากสภาพแวดล้อมในการผลิต ฯลฯ



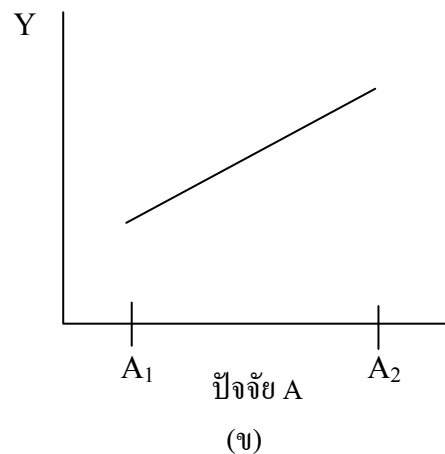
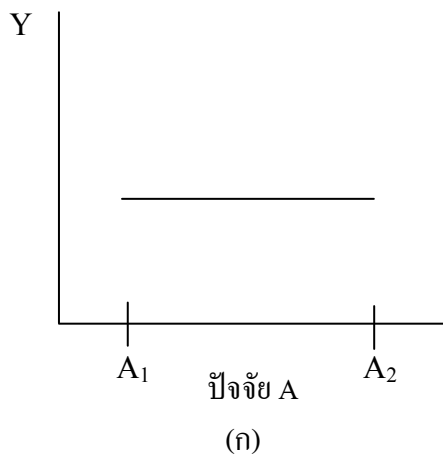
ภาพที่ 18 ปัจจัย และพารามิเตอร์ของกระบวนการผลิต

ที่มา: ปารเมศ (2545)

จากภาพที่ 18 กระบวนการคือการนำเอาทรัพยากรห้อง sklaiy ที่เป็นปัจจัยของการผลิตได้แก่ คน เครื่องจักร วัสดุดิบและวิธีการ มาเปลี่ยนให้เป็นผลิตภัณฑ์ ซึ่งตัวแปรในกระบวนการผลิต บางชนิดเป็นตัวแปรที่สามารถควบคุมได้ แต่บางตัวก็เป็นตัวแปรที่ไม่สามารถควบคุมได้ ดังนั้น วัตถุประสงค์หลักๆของการออกแบบการทดลองจึงมีดังต่อไปนี้

1. หาตัวแปรที่มีผลต่อผลิตภัณฑ์มากที่สุด
2. หาวิธีการปรับตั้งตัวแปรที่มีอิทธิพลต่อผลิตภัณฑ์ เพื่อให้ได้ผลิตภัณฑ์ตามที่ต้องการ
3. หาวิธีการปรับตั้งตัวแปรที่มีอิทธิพลต่อผลิตภัณฑ์ เพื่อให้ได้ผลิตภัณฑ์ที่มีความประปรวนน้อยที่สุด
4. หาวิธีการปรับตั้งตัวแปรที่มีอิทธิพลต่อผลิตภัณฑ์ เพื่อทำให้ผลของปัจจัยที่ไม่สามารถควบคุมได้มีค่าน้อยที่สุด

การออกแบบการทดลองเพื่อวิเคราะห์ให้ได้ว่า ปัจจัยใดมีอิทธิพลต่อผลิตภัณฑ์ หรือไม่มีผลนั้นต้องทำการเปลี่ยนแปลงระดับของปัจจัยอย่างน้อย 2 ระดับ แล้วทำการทดลอง จากนั้นจึงวิเคราะห์ผลการทดลอง ตัวอย่างเช่น ให้ Y หมายถึงค่าความแข็งแรงของวัสดุ และ A หมายถึงอุณหภูมิที่ใช้ในการขึ้นรูป ซึ่งจะสรุปผลจากภาพที่ 19 ได้ดังนี้คือ ภาพที่ 19 (ก) แสดงอิทธิพลที่ไม่มีผลของปัจจัยต่อผลิตภัณฑ์นั้นคือ เมื่อขนาดของปัจจัย A เปลี่ยนแปลงไป ไม่ทำให้ตัวแปรตาม Y มีค่าเปลี่ยนไป ในขณะที่ภาพที่ 19 (ข) แสดงอิทธิพลที่มีผลของปัจจัยต่อผลิตภัณฑ์นั้นคือ เมื่อขนาดของปัจจัย A เปลี่ยนแปลงไป จะทำให้ตัวแปรตาม Y มีค่าเปลี่ยนไป



ภาพที่ 19 (ก) อิทธิพลของปัจจัยหลักที่ไม่มีผลต่อผลิตภัณฑ์ (ข) อิทธิพลของปัจจัยหลักที่มีผลต่อผลิตภัณฑ์
ที่มา: ปารเมศ (2545)

5.2 วัตถุประสงค์ของการออกแบบการทดลอง

5.1.1 เพื่อยืนยันข้อเท็จจริง (Confirmation) คือ การพิสูจน์ถึงข้อเท็จจริง หรือความเชื่อ จากประสบการณ์ หรือทฤษฎีบางอย่างที่อธิบายเกี่ยวกับกระบวนการผลิต

5.1.2 เพื่อค้นหาข้อเท็จจริง (Exploration) คือ การศึกษาถึงอิทธิพลของปัจจัยใหม่ที่มีผลต่อกระบวนการ

5.2 หลักการพื้นฐานที่สำคัญของการออกแบบการทดลอง

5.2.1 การทำการทดลองซ้ำ (Replication) มีคุณสมบัติที่สำคัญสองประการคือ ทำให้ผู้ทดลอง สามารถหาค่าประมาณของความผิดพลาดในการทดลองได้และถ้าค่าเฉลี่ยถูกนำมาใช้เพื่อ ประมาณผลที่เกิดจากปัจจัยหนึ่งในการทดลองแล้วการทำการทดลองซ้ำ จะสามารถทำให้ผู้ทดลอง หาค่าประมาณที่ถูกต้องมากยิ่งขึ้นในการประมาณผลกระบวนการนี้

5.2.2 การทำการทดลองแบบสุ่ม (Randomization) หมายถึง การทดลองที่มีลำดับของ การทดลองและการใช้วัสดุอุปกรณ์ในการทดลองแบบสุ่ม เนื่องจากวิธีการเชิงสถิติกำหนดว่าข้อมูล หรือความผิดพลาดจะต้องมีการกระจายอย่างอิสระ การที่ทำการทดลองแบบสุ่ม จะทำให้ลดผลของ ปัจจัยภายนอกที่อาจปรากฏในการทดลองได้

5.2.3 การทำการทดลองแบบล็อก (Blocking) เป็นเทคนิคที่ใช้สำหรับเพิ่มความ เที่ยงตรง (Precision) ให้แก่การทดลอง บล็อกอันหนึ่ง อาจหมายถึงส่วนหนึ่งของวัสดุ ที่ใช้ในการ ทดลองที่ควรจะมีความเป็นอันหนึ่งอันเดียวกัน มากกว่าเขตทึ้งหมุดของวัสดุ

5.3 ขั้นตอนในการออกแบบการทดลอง

Montgomery (1991) กล่าวว่า การใช้วิธีเชิงสถิติในการออกแบบและวิเคราะห์การ ทดลอง มีขั้นตอนในการดำเนินการดังต่อไปนี้

5.3.1 ทำการทดสอบความเข้าใจถึงปัญหา โดยการศึกษาและทำความเข้าใจในกระบวนการ เพื่อกำหนดปัญหาและวัตถุประสงค์ของการออกแบบการทดลอง ได้อย่างชัดเจน

5.3.2 เลือกปัจจัยและกำหนดค่าของปัจจัยที่ทำการทดลอง โดยตรวจสอบดูว่าปัจจัยใด มีความสำคัญต่อการเปลี่ยนแปลงของผลการทดลอง

5.3.3 เลือกตัวแปรตอบสนอง (Response Variable) ซึ่งเป็นตัวแปรที่ใช้ในการวัดผล ของกระบวนการ โดยจะเลือกตัวแปรตอบสนองที่ให้ข้อมูลเกี่ยวกับกระบวนการที่ทำการทดลองอยู่

5.3.4 เลือกวิธีการออกแบบการทดลอง ในการเลือกวิธีการออกแบบการทดลอง จะต้องคำนึงถึงวัตถุประสงค์ของการทดลองเสมอ เนื่องจากการออกแบบการทดลองมีมากหลายรูปแบบ ล้วนแต่มีรูปแบบเฉพาะ และมีความเหมาะสมกับการทดลองที่แตกต่างกัน นอกจากนี้ ยังต้องคำนึงถึงขนาดของตัวอย่าง จำนวนการทดลองซ้ำ และการนับตัวอย่าง

5.3.5 ทำการทดลอง ติดตามดูการทำงานของกระบวนการอย่างระมัดระวัง เพื่อให้แน่ใจว่าการดำเนินการทุกอย่างเป็นไปตามแผน ถ้ามีอะไรผิดพลาดเกี่ยวกับการทดลองในขั้นนี้ จะทำให้การทดลองนี้ใช้ไม่ได้

5.3.6 วิเคราะห์ข้อมูลโดยใช้หลักการทำงานสถิติ คือการนำเอาวิธีการทำงานสถิติมาใช้ในการวิเคราะห์ข้อมูล เพื่อหาข้อสรุปว่าเป็นไปตามวัตถุประสงค์ของการทดลองหรือไม่

5.3.7 สรุปผลการทดลองและทำข้อเสนอแนะเพื่อเป็นแนวทางในการนำไปใช้ต่อไป กระบวนการคร่าวต่อไป

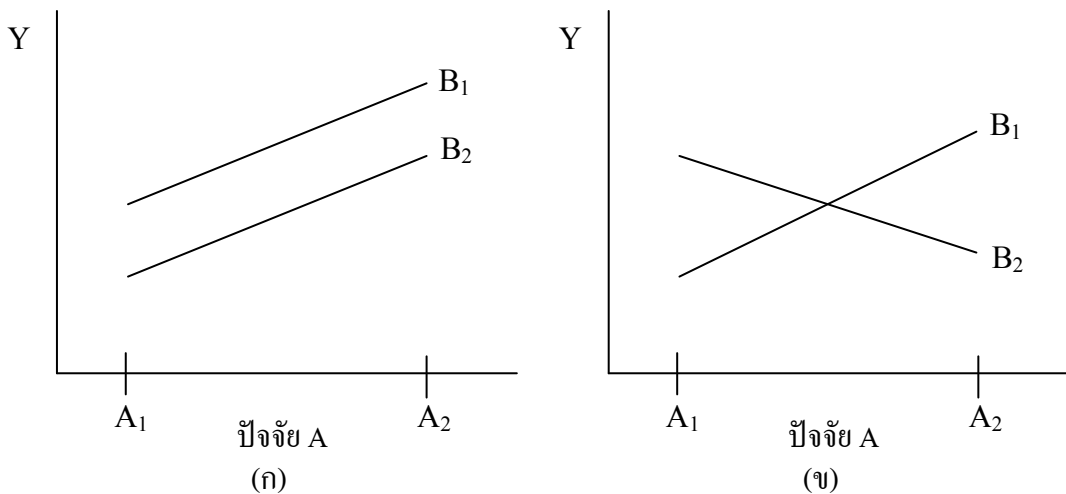
6 การทดลองแบบแฟคทอรี얼 (Factorial Experiment)

แผนการทดลองแบบแฟคทอรี얼เป็นการทดลองเพื่อต้องการทดสอบอิทธิพลของสิ่งที่ศึกษาตั้งแต่ 2 สิ่งขึ้นไป จะเรียกว่า ปัจจัย (Factor) ซึ่งแต่ละปัจจัยจะแบ่งออกได้หลายระดับ (Level) กรณี 2 ปัจจัย คือ ปัจจัย A และ B ซึ่งมี 2 ระดับทั้งคู่จะเรียกว่าการทดลองแบบแฟคทอรี얼ขนาด 2×2 หรือ 2^2 แฟคทอรี얼 ถ้าปัจจัย A ประกอบด้วย a ระดับ และปัจจัย B

ประกอบด้วย b ระดับ ในการทดลอง 1 Replicate จะประกอบด้วยการทดลองทั้งหมด ab การทดลอง และเนื่องจากมีปัจจัย (Factor) มากกว่า 1 ปัจจัย ดังนั้นนอกจากจะเกิดอิทธิพลของปัจจัยหลัก (Main Effect) ที่สนใจแล้วยังอาจเกิดอิทธิพลของปัจจัยร่วม (Interaction Effect) ได้ด้วย

อิทธิพลของปัจจัยร่วม คือ ผลที่เกิดขึ้นจากการที่ปัจจัยหนึ่งเปลี่ยนแปลงไปแล้วมีผลทำให้อิทธิพล (Effect) ของปัจจัยหนึ่งเปลี่ยนแปลงไป ดังตัวอย่างการเกิดอิทธิพลของปัจจัยร่วมหรือปฏิสัมพันธ์ แสดงดังภาพ ซึ่งเมื่อไม่มีอิทธิพลของปัจจัยร่วมแสดงดังภาพที่ 20 (ก) และเมื่อมีอิทธิพลของปัจจัยร่วมแสดงดังภาพที่ 20 (ข)

การทดลองแบบแฟคทอเรียลสามารถวางแผนได้หลายแบบ เช่น การทดลองแบบแฟคทอเรียลในการวางแผนทดลองสุ่มสมบูรณ์ (Factorial experiment in CRD) การทดลองแบบแฟคทอเรียลในการวางแผนทดลองแบบสุ่มในบล็อกสมบูรณ์ (Factorial experiment in RBD) และการทดลองแบบแฟคทอเรียลในการวางแผนทดลองแบบลาตินสแคร์ (Factorial experiment in LS)



ภาพที่ 20 (ก) อิทธิพลของปัจจัยร่วมที่ไม่มีผลต่อผลิตภัณฑ์ (ข) อิทธิพลของปัจจัยร่วมที่มีผลต่อผลิตภัณฑ์

ที่มา: บำรุง (2545)

7 การวิเคราะห์ความแปรปรวนหลายตัวแปร (Multivariate Analysis of Variance)

เทคนิคการวิเคราะห์ความแปรปรวนหลายตัวแปร (MANOVA) เป็นเทคนิคที่ขยายต่อจากเทคนิค ANOVA และยังคงมีวัตถุประสงค์เหมือนกัน คือการหาสาเหตุ หรือการหาความสัมพันธ์ ส่วนที่แตกต่างจาก ANOVA คือ MANOVA จะมีตัวแปรตามเชิงปริมาณมากกว่า 1 ตัว โดยตัวแปรตามดังกล่าวมีความสัมพันธ์กัน ถ้าผู้ศึกษาใช้เทคนิค ANOVA สำหรับตัวแปรตามแต่ละตัว หรือที่เรียกว่าเป็นการวิเคราะห์ ANOVA หลายๆครั้ง จะไม่ถูกต้อง เพราะ ไม่มีการวิเคราะห์ความแปรปรวนร่วมของตัวแปรตาม

7.1 การวิเคราะห์ความแปรปรวนแบบจำแนก 2 ทาง (2-WAY MANOVA)

เป็นการศึกษาความสัมพันธ์ระหว่างตัวแปรตามเชิงปริมาณตั้งแต่ p ตัวขึ้นไป ($p \geq 2$) กับตัวแปรอิสระ 2 ปัจจัย (A,B) โดยปัจจัย A มี a ระดับ ส่วนปัจจัย B มี b ระดับ

สมการแสดงความสัมพันธ์ของ 2-WAY MANOVA คือ

$$y_{ijk} = \mu + \tau_i + \beta_j + \gamma_{ik} + \varepsilon_{ijk} \quad (1)$$

เมื่อ $i = 1, 2, \dots, a$, $j = 1, 2, \dots, b$ และ $k = 1, 2, \dots, n$

โดยที่	Y_{ijk}	คือ ค่าสังเกตที่ k ของปัจจัย A ระดับที่ i และปัจจัย B ระดับที่ j
	μ	ค่าเฉลี่ยรวม
	τ_i	คือ อิทธิพลหลักของปัจจัย A (Main effect A) ในระดับที่ i
	β_j	คือ อิทธิพลหลักของปัจจัย B (Main effect B) ในระดับที่ j
	γ_{ik}	คือ อิทธิพลร่วม (Interaction) ของปัจจัย A ระดับที่ i และ B ระดับที่ j
	ε_{ijk}	ค่าความคลาดเคลื่อนสุ่มของค่าสังเกตที่ k ของปัจจัย A ระดับที่ i และ ปัจจัย B ระดับที่ j โดย ε_{ijk} มีการแจกแจงแบบปกติ ที่มีค่าเฉลี่ยเท่า 0 และความแปรปรวนเท่ากับ σ^2

โดยที่ ε_{ijk} เป็นอิสระกันและมีการแจกแจงแบบปกติหลายตัวแปร ($\varepsilon_{ijk} \sim N_p(0, \sigma^2)$)

จากสมการที่ (1) แยกส่วนเวกเตอร์ข้อมูล y_{ijk} เป็น

$$y_{ijk} = \bar{y} + (\bar{y}_{i\cdot} - \bar{y}) + (\bar{y}_{\cdot j} - \bar{y}) + (\bar{y}_{ij} - \bar{y}_{i\cdot} - \bar{y}_{\cdot j} + \bar{y}) + (y_{ijk} - \bar{y}_{ij}) \quad (2)$$

โดยที่ \bar{y} = เวกเตอร์ค่าเฉลี่ยรวมมีขนาด $p \times 1$

$\bar{y}_{i\cdot}$ = เวกเตอร์ค่าเฉลี่ยของระดับที่ i ของปัจจัย A

$\bar{y}_{\cdot j}$ = เวกเตอร์ค่าเฉลี่ยของระดับที่ j ของปัจจัย B

\bar{y}_{ij} = เวกเตอร์ค่าเฉลี่ยของระดับที่ i ของปัจจัย A และระดับที่ j ของปัจจัย B

จากสมการ (2) สามารถเขียนให้อูงในรูปกำลังสองของผลบวก ดังแสดงในสมการที่ (3)

$$\begin{aligned} \sum_{i=1}^a \sum_{j=1}^b \sum_{k=1}^n (y_{ijk} - \bar{y})(y_{ijk} - \bar{y})' &= \sum_{i=1}^a bn(\bar{y}_{i\cdot} - \bar{y})(\bar{y}_{i\cdot} - \bar{y})' + \sum_{j=1}^b an(\bar{y}_{\cdot j} - \bar{y})(\bar{y}_{\cdot j} - \bar{y})' \\ &\quad + \sum_{i=1}^a \sum_{j=1}^b n(\bar{y}_{ij} - \bar{y}_{i\cdot} - \bar{y}_{\cdot j} + \bar{y})(\bar{y}_{ij} - \bar{y}_{i\cdot} - \bar{y}_{\cdot j} + \bar{y})' \\ &\quad + \sum_{i=1}^a \sum_{j=1}^b \sum_{k=1}^n (y_{ijk} - \bar{y}_{ij})(y_{ijk} - \bar{y}_{ij})' \end{aligned} \quad (3)$$

$$\text{องศาอิสระ : } abn - 1 = (a + 1) + (b - 1) + (a - 1)(b - 1) + ab(n - 1) \quad (4)$$

ซึ่งสามารถแสดงในตารางที่ 1 ดังนี้

ตารางที่ 1 สถิติวิเคราะห์ความแปรปรวนหลายตัวแบบจำแนกสองทาง

แหล่งความผันแปร	ผลบวกกำลังสอง (SS)	องศาอิสระ (DF)
ปัจจัย A	$SS_A = \sum_{i=1}^a bn(\bar{y}_{i\cdot} - \bar{y})(\bar{y}_{i\cdot} - \bar{y})'$	a-1
ปัจจัย B	$SS_B = \sum_{j=1}^b an(\bar{y}_{\cdot j} - \bar{y})(\bar{y}_{\cdot j} - \bar{y})'$	b-1
ปัจจัย A และ B (AB)	$SS_{AB} = \sum_{i=1}^a \sum_{j=1}^b n(\bar{y}_{ij} - \bar{y}_{i\cdot} - \bar{y}_{\cdot j} + \bar{y})(\bar{y}_{ij} - \bar{y}_{i\cdot} - \bar{y}_{\cdot j} + \bar{y})'$	(a-1)(b-1)
ความคลาดเคลื่อน	$SS_E = \sum_{i=1}^a \sum_{j=1}^b \sum_{k=1}^n (y_{ijk} - \bar{y}_{ij})(y_{ijk} - \bar{y}_{ij})'$	ab(n-1)
รวม	$SS_T = \sum_{i=1}^a \sum_{j=1}^b \sum_{k=1}^n (y_{ijk} - \bar{y})(y_{ijk} - \bar{y})'$	abn-1

ที่มา: กัลยา (2551)

การทดสอบสมมติฐานของ 2-WAY MANOVA จะเริ่มต้นด้วยการทดสอบผลกระทำร่วมของปัจจัย A และ B ก่อนแล้วจึงทดสอบผลกระทำหลักของแต่ละปัจจัย

7.1.1 การทดสอบผลกระทำร่วม (Interaction effect)

$$H_0: \gamma_{11} = \gamma_{12} = \dots = \gamma_{ab} = 0$$

$$H_1: \text{มี } \gamma_{ij} \neq 0 \text{ อย่างน้อย } 1 \text{ ค่า ; } i \neq j, i = 1, 2, \dots, a \text{ และ } j = 1, 2, \dots, b$$

$$\text{ใช้สถิติทดสอบ Wilks' } \lambda = \Lambda^* = \frac{|SSE|}{|SSAB + SSE|}$$

โดยสามารถแปลงสถิติทดสอบ Λ^* เป็นสถิติไคสแควร์และสถิติ F ดังนี้

- ใช้สถิติทดสอบไคสแควร์

กรณีที่ขนาดตัวอย่างใหญ่ สถิติทดสอบจะเป็น

$$\chi_{\Lambda^*}^2 = - \left[ab(n-1) - \frac{(p+1)-(a-1)(b-1)}{2} \right] \ln \Lambda^* \quad (5)$$

โดยที่ $\chi_{\Lambda^*}^2$ มีการแจกแจงโดยประมาณแบบไคสแควร์ที่องศาอิสระ $p(a-1)(b-1)$

การสรุปผล: จะปฏิเสธ H_0 ถ้า $\chi_{\Lambda^*}^2 > \chi_{p(a-1)(b-1)}^2$ ที่ระดับนัยสำคัญ α

- สถิติทดสอบ F

ถ้า $a = 2, b = 2$ หรือ $(a-1)(b-1) = 1$ สามารถใช้สถิติทดสอบ F

$$F = \left(\frac{1 - \Lambda^*}{\Lambda^*} \right) \frac{(ab(n-1) - p + 1)/2}{(|(a-1)(b-1) - p| + 1)/2} \quad (6)$$

โดย F มีการแจกแจงแบบ F ที่องศาอิสระ DF_1 และ DF_2 โดยที่

$$DF_1 = |(a-1)(b-1) - p| + 1 \text{ และ } DF_2 = ab(n-1) - p + 1$$

การสรุปผล: จะปฏิเสธ H_0 ถ้า $F > F_{\alpha; DF_1, DF_2}$ โดยหากว่า $F_{\alpha; DF_1, DF_2}$ จากตารางความน่าจะเป็นแบบเอฟ

7.1.2 การทดสอบผลกระทบหลัก (Interaction effect)

ก. ปัจจัย A

$$H_0 : \tau_1 = \tau_2 = \dots = \tau_a = 0$$

$$H_1 : \text{มีเวกเตอร์ } \tau_i \neq 0 \text{ อย่างน้อย 1 เวกเตอร์ ; } i = 1, 2, \dots, a$$

$$\text{สถิติ } \Lambda_A^* = \frac{|SSE|}{|SSA + SSE|}$$

โดยสามารถแปลงสถิติทดสอบ Λ^* เป็นสถิติไคสแควร์และสถิติ F ดังนี้

- ใช้สถิติทดสอบไคสแควร์

$$\chi_A^2 = - \left[ab(n-1) - \frac{(p+1)-(a-1)}{2} \right] \ln \Lambda^*$$

การสรุปผล: จะปฏิเสธ H_0 ถ้า $\chi_A^2 > \chi_{p(a-1)}^2$ โดย $\chi_{p(a-1)}^2$ ได้จากการความน่าจะเป็นแบบไคสแควร์ ที่องศาอิสระ $p(a-1)$ ที่ระดับนัยสำคัญ α

- ใช้สถิติทดสอบ F เมื่อ $a = b = 2$

$$F_A = \left(\frac{1 - \Lambda_A^*}{\Lambda_A^*} \right) \frac{(ab(n-1) - p+1)/2}{(|(a-1)-p|+1)/2} \quad (7)$$

การสรุปผล: จะปฏิเสธ H_0 ถ้า $F_A > F_{\alpha; DF1, DF2}$ โดยที่ F_A มีการแจกแจงแบบ F และ $F_{\alpha; DF1, DF2}$ ที่องศาอิสระ $DF1 = |(a-1)-p|+1$ และ $DF2 = ab(n-1) - p + 1$

๔. ปัจจัย B

$$H_0: \beta_1 = \beta_2 = \dots = \beta_a = 0$$

$$H_1: \text{มีเวกเตอร์ } \beta_j \neq 0 \text{ อย่างน้อย 1 เวกเตอร์ ; } j = 1, 2, \dots, a$$

$$\text{สถิติ } \Lambda_B^* = \frac{|SSE|}{|SSA + SSE|}$$

โดยสามารถแปลงสถิติทดสอบ Λ^* เป็นสถิติไคสแควร์และสถิติ F ดังนี้

- ใช้สถิติทดสอบไคสแควร์

$$\chi_B^2 = - \left[ab(n-1) - \frac{(p+1)-(b-1)}{2} \right] \ln \Lambda^*$$

การสรุปผล: จะปฏิเสธ H_0 ถ้า $\chi_B^2 > \chi_{p(b-1)}^2$ โดย $\chi_{p(b-1)}^2$ ได้จากตารางไคสแควร์ ที่องศาอิสระ $p(b-1)$ ที่ระดับนัยสำคัญ α

- ใช้สถิติทดสอบ F เมื่อ $a = b = 2$

$$F_B = \left(\frac{1 - \Lambda_B^*}{\Lambda_B^*} \right) \frac{(ab(n-1) - p+1)/2}{(|(b-1) - p| + 1)/2} \quad (8)$$

โดยที่ F_B มีการแจกแจงแบบ F ที่องศาอิสระ $DF1 = |(b-1) - p| + 1$ และ $DF2 = ab(n-1) - p + 1$

การสรุปผล: จะปฏิเสธ H_0 ถ้า $F_B > F_{\alpha; DF1, DF2}$ ที่ระดับนัยสำคัญ α

7.2 เรื่องไขของ การวิเคราะห์ความแปรปรวนของตัวแปรหลายตัวแปร

เรื่องไขหรือข้อสมมติของ MANOVA จะคล้ายกับของ ANOVA แต่ขยายในด้านที่มีตัวแปรตามหลายตัว โดยมีเรื่องไขดังนี้

1) มีการสุ่มตัวอย่างเป็นอิสระต่อกัน

2) เวกเตอร์ของตัวแปรตาม p ตัว ของแต่ละกลุ่มต้องมีการแจกแจงแบบปกติหลายตัวแปร

3) เมตริกซ์ค่าความแปรปรวนของแต่ละกลุ่มต้องมีค่าเท่ากัน นั่นคือ $\Sigma_1 = \Sigma_2 = \dots = \Sigma_k$

7.3 สถิติทดสอบ

สถิติทดสอบ $H_0 : \mu_1 = \mu_2 = \dots = \mu_k$ มีหลายค่าขึ้นกับค่าไอกีนของเมตริกซ์ สถิติทดสอบที่นิยมใช้กันทั่วไปใน MANOVA 有 4 ตัว คือ Wilks' λ , Roy's Largest Root, Pillai's Trace และ Hotelling's trace (แสดงรายละเอียดในภาคผนวก จ)

7.4 การพิจารณาจากอำนาจทดสอบ

Olson (1974;1976;1979) ได้ศึกษาเปรียบเทียบอำนาจการทดสอบของสถิติทั้ง 4 ค่า โดยสรุปได้ดังนี้ สำหรับขนาดกลุ่มตัวอย่างน้อยๆ สถิติทั้ง 4 จะมีความแตกต่างกันน้อย ในท่อนของอำนาจการทดสอบ ถ้าขนาดของกลุ่มตัวอย่างแตกต่างกันในตัวแปรตามตัวเดียว สถิติ Roy จะเสริมอำนาจการทดสอบที่มากกว่า (เพราะอาจจะใช้เฉพาะตัวแปรแรก) ตามด้วย Hotelling, Wilk's และ Pillaii อย่างไรก็ตาม เมื่อขนาดของกลุ่มตัวอย่างแตกต่างกันในตัวแปรตามมากกว่า 1 ตัวแปร ลำดับของอำนาจการทดสอบจะกลับกันคือ Pillaii มีอำนาจการทดสอบมากที่สุด Wilk's, Hotelling และ Roy มีอำนาจน้อยสุด ประเด็นสุดท้ายเกี่ยวข้องกับอำนาจการทดสอบของขนาดกลุ่มตัวอย่าง และจำนวนของตัวแปรตาม Steven แนะนำว่า ถ้าตัวแปรตามน้อยๆ (น้อยกว่า 10 ตัวแปร) กลุ่มตัวอย่างควรมีขนาดใหญ่

ในท่อนของความแกร่ง (Robustness) สถิติทดสอบทั้ง 4 ตัว จะเกี่ยวข้องกับความแกร่งในการละเมิดข้อตกลงเบื้องต้นของการแจกแจงปกติหลายตัวแปร ในการศึกษาของ Olson (1976) สรุปว่า เมื่อขนาดกลุ่มตัวอย่างเท่ากัน Pillai-Bartlett จะแข็งแกร่งมากในการละเมิดข้อตกลงเบื้องต้น การตรวจสอบข้อตกลงของเมตริกความแปรปรวนร่วมที่เป็นเอกพันธ์จะได้ Box's test ถ้าการทดสอบนั้นไม่มีนัยสำคัญ ข้อตกลงเบื้องต้นของการแจกแจงปกติหลายตัวแปรจะเป็นจริง

7.5 การวัดความสัมพันธ์ของการวิเคราะห์หลายตัวแปร

ในการศึกษาความสัมพันธ์ของตัวแปร จะมีการวัดระดับความสัมพันธ์ระหว่างตัวแปรตามกับตัวแปรอิสระ ในที่นี้จะกล่าวถึงการวัดระดับความสัมพันธ์ของเทคนิคการวิเคราะห์ความสัมพันธ์ระหว่างตัวแปรตามและตัวแปรอิสระ และการวิเคราะห์ความถดถอย ดังนี้คือ

7.5.1 ความสัมพันธ์ระหว่างตัวแปรตาม

ใน MANOVA สถิติทดสอบจะเป็นการเปรียบเทียบอัตราส่วนของความแปรปรวนอย่างเป็นระบบและความแปรปรวนคลาดเคลื่อนสำหรับตัวแปรตามหลายตัวแปร การเปรียบเทียบนี้จะทำได้โดยการใช้อัตราส่วนของเมตริกที่แสดงความแปรปรวนอย่างเป็นระบบของตัวแปรตามทั้งหมดคับเมตริกที่แสดงความแปรปรวนคลาดเคลื่อนของตัวแปรทั้งหมด

เมตริกที่แสดงความแปรปรวนอย่างเป็นระบบเรียกว่า model sum of squares และ cross-products matrix (CP_M) ซึ่งเป็นตัวแสดงถึงผลของแต่ละปัจจัยที่มีอิทธิพลต่อตัวแปรตาม ในขณะที่ เมตริกที่แสดงความแปรปรวนค่าด้วยกันเรียกว่า error sum of squares และ cross-products matrix (CP_E) เป็นตัวบวกความสัมพันธ์ระหว่างตัวแปรตามที่ได้รับอิทธิพลจากความค่าด้วยกันในโมเดล สุดท้ายเมตริกแสดงผลรวมของความแปรปรวนในตัวแปรตามแต่ละตัวเรียกว่า total error of squares และ cross-products matrix (CP_T) ซึ่งใช้เป็นตัววัดปริมาณความสัมพันธ์ทั้งหมดของตัวแปรตาม

พิจารณาค่าความสัมพันธ์ระหว่างตัวแปรตาม จากค่า Cross-product ดังนี้

$$CP_M = \sum n (\bar{x}_{group(Tensile)} - \bar{x}_{grand(Tensile)}) (\bar{x}_{group(Modulus)} - \bar{x}_{grand(Modulus)}) \quad (9)$$

$$CP_E = \sum (x_{i(Tensile)} - \bar{x}_{group(Tensile)}) (x_{i(Modulus)} - \bar{x}_{group(Modulus)}) \quad (10)$$

$$CP_T = \sum (x_{i(Tensile)} - \bar{x}_{grand(Tensile)}) (x_{i(Modulus)} - \bar{x}_{grand(Modulus)}) \quad (11)$$

โดยที่ \bar{x}_{grand} คือ ค่าเฉลี่ยรวมของตัวแปรตามนั้น
 \bar{x}_{group} คือ ค่าเฉลี่ยของแต่ละกลุ่ม
 n คือ จำนวนคะแนนภายในกลุ่ม

7.5.2 การวิเคราะห์การถดถอยเชิงพหุคุณ

ปราเมศ (2545) กล่าวว่าการวิเคราะห์การถดถอยเชิงพหุคุณ เป็นการศึกษาความสัมพันธ์ระหว่างตัวแปรตั้งแต่ 3 ตัวแปรขึ้นไป ในการวิเคราะห์การถดถอยจะเรียกตัวแปรที่สนใจจะวิเคราะห์ว่าตัวแปรตาม (Dependent Variable) ส่วนตัวแปรที่แทนปัจจัยต่างๆ ที่ทำให้ค่าของตัวแปรตามมีการเปลี่ยนแปลงเรียกว่าตัวแปรอิสระ (Independent Variable) โดยริ่มจากการพิจารณาว่าตัวแปรตามและตัวแปรอิสระมีความสัมพันธ์กันในลักษณะใด แล้วสร้างรูปแบบการถดถอยเพื่อแทนลักษณะความสัมพันธ์ระหว่างตัวแปรและสร้างสมการถดถอย (Regression Equation) จากรูปแบบที่กำหนดนั้นโดยวิธีกำลังสองน้อยที่สุด (Least Squares Method) สมการ

ถอดดอยที่สร้างขึ้นจะเป็นสมการที่หมายความหรือไม่นั้น จะพิจารณาได้ทั้งจากค่าสถิติและการทดสอบสมมติฐานค่าสถิติที่ใช้ เช่น ค่าสัมประสิทธิ์ตัวกำหนด (Coefficient of Determination: R^2) ค่าสัมประสิทธิ์ตัวกำหนดปรับแล้ว (Adjusted Coefficient of Determination: R^2_{adj}) ผลรวมกำลังสองของความคลาดเคลื่อน (Error Sum of Squares) เป็นต้น ซึ่งจะเขียนรูปแบบการถอดดอยเชิงพหุเมื่อมีตัวแปรอิสระ k ตัวได้ดังนี้

$$y = \beta_0 + \beta_1 x_1 + \beta_2 x_2 + \dots + \beta_k x_k + \varepsilon$$

ซึ่งสมการรูปแบบนี้เรียกว่า แบบจำลองการถอดดอยแบบเชิงเส้นพหุคุณที่มีตัวแปรอิสระ k ตัว (Multiple Linear Regression Model with k Repressor Variables) พารามิเตอร์ $\beta_j, j = 0, 1, \dots, k$ ถูกเรียกว่า สัมประสิทธิ์การถอดดอย แบบจำลองนี้แสดงรูปแบบบริเวณ (Hyperplane) ที่มีมิติ k ของตัวแปรถอดดอย (x_j) พารามิเตอร์ β_j แสดงถึงการเปลี่ยนแปลงที่จะเกิดขึ้นกับผลตอบ y ต่อหนึ่งหน่วย ของการเปลี่ยนแปลงที่เกิดขึ้นกับ x_i เมื่อตัวแปรอิสระที่เหลือทั้งหมด x_j ($i \neq j$) มีค่าคงตัว

7.5.3 สัมประสิทธิ์การกำหนด (The Coefficient of Determination, R^2)

สัมประสิทธิ์การกำหนด (R^2) เป็นค่าที่แสดงว่าตัวแปรอิสระในรูปแบบสามารถอธิบายความผันแปรของตัวแปรตามได้เท่ากับ $R^2 * 100\%$ โดยที่เหลืออีก $(1 - R^2) * 100\%$ นั้นมาจากสาเหตุอื่น

$$R^2 = \frac{SS_R}{SS_{yy}} = \frac{SS_R}{SS_T} = 1 - \frac{SS_E}{SS_T}$$

เนื่องจากข้อเสียของสัมประสิทธิ์การกำหนด (R^2) คือเมื่อตัวแปรอิสระเพิ่มขึ้นจะทำให้ค่า R^2 เพิ่มขึ้นตามไปด้วย การแก้ไขทำได้โดยใช้ค่า Adjusted R^2 แทนดังนี้

$$R^2_{adj} = 1 - \frac{MS_E}{MS_T} = 1 - \left[\frac{SS_E / (n - p)}{SS_T / (n - 1)} \right]$$

ซึ่งค่า R^2_{adj} มีค่ามากกว่า $64\% (> 0.64)$ และแสดงว่ารูปแบบสมการหมายความ

อุปกรณ์และวิธีการ

อุปกรณ์

1. เม็ดพลาสติกโพลิโพรพิลีนเกรด 1100 NK (จาก IRPC) LOT NO. 08030434
2. ท่อนาโนคาร์บอนชนิดผนังหลาຍชັ້ນขนาดเส้นผ่าศูนย์กลาง 20-50 นาโนเมตร
3. ถุงผสมประเทกป้องกันการเกิดไฟฟ้าสถิต
4. เครื่องนีคชິນรูปพลาสติกรุ่น BA 250/50 CDC
5. เครื่องซั่งน้ำหนัก
6. เครื่องมือทดสอบคุณสมบัติทางกล Universal Testing Machine (UTM) รุ่น H50KS
7. เครื่องมือทดสอบสัณฐานวิทยาคล้องจุลทรรศน์อิเล็กตรอนแบบส่องกราด Scanning Electron Microscope (SEM)

วิธีการ

นำท่อนาโนคาร์บอนแบบผนังหลาຍชັ້ນ(ปริมาณร้อยละ 0.5 และ 2.5 โดยน้ำหนัก) ผสมกับ พอลิโพรพิลีนโดยวิธีการเขย่าผสมในถุงผสมประเทกป้องกันการเกิดไฟฟ้าสถิต จากนั้นนำวัสดุ ผสมไปเข้าเครื่องนีคพลาสติก ที่อุณหภูมิ 190 และ 220 องศาเซลเซียส ความเร็วรอบการหมุนสกรู 75 และ 227 รอบต่อนาที (rpm) ใช้เวลาในการหลอม 3 นาที เมื่อเครื่องผสมมีแรงในการหมุนเข้า ใกล้ค่าคงที่ (ประมาณ 5 นาที) จึงทำการนีคพอลิเมอร์ผสมที่ ความดันขึ้น 45 และ 65 บาร์ และ ความเร็วเฉลี่ด 25 และ 45 มิลลิเมตรต่อวินาที ในขณะที่ควบคุมความดันนีค ความดันต้านการดอย หลังของสกรู อุณหภูมิหัวนีค และ เวลาเย็นตัวเป็น 75 บาร์ 5 บาร์ 185 องศาเซลเซียส และ 50 วินาที ตามลำดับตลอดการทดลอง เพื่อนีคชິນรูปชິ່ນงานทดสอบรูปดัมเบลตามมาตรฐานการทดสอบ ASTM D638 ดังแสดงในภาพที่ 20 จากนั้นนำตัวอย่างที่ได้ไปทดสอบคุณสมบัติต่างๆดังนี้

- ศึกษาคุณสมบัติทางกลของวัสดุเชิงประจุกับพอลิโพรพิลีนผสมท่อนาโนคาร์บอนผนัง หลาຍชັ້ນ ด้วยเครื่อง Universal Testing Machine

- ศึกษาสัณฐานวิทยา (Morphology) เพื่อดูการกระจายตัว ของท่อนาโนคาร์บอนฟลามโพลิ โพร์พิลีน ด้วยกล้องจุลทรรศน์อิเล็กตรอนแบบส่องกราด
- ศึกษาผลของส่วนผสม และปัจจัยในกระบวนการขึ้นรูปชิ้นงานที่มีต่อคุณสมบัติโดยใช้ วิธีการออกแบบการทดลอง และวิเคราะห์ความแปรปรวนหลายตัวแปร



ภาพที่ 21 ชิ้นงานทดสอบรูปดัมเบลตามมาตรฐานการทดสอบ ASTM D638

การออกแบบการทดลอง

1. ทำความเข้าใจถึงปัญหา

ศึกษาและทำความเข้าใจในกระบวนการ โดยมีวัตถุประสงค์เพื่อขึ้นรูปชิ้นงานเพื่อให้ผล ของชิ้นงานที่ไม่เกิดตำหนิและให้ค่าคุณสมบัติทางกลสูงที่สุด โดยใช้การออกแบบการทดลองเพื่อ หาค่าที่เหมาะสมที่สุด ในการขึ้นรูปของชิ้นงานที่ส่งผลต่อค่าปริมาณ 2 ค่า คือค่า มวลลักษณะยัง และค่าความแข็งแรงคง เนื่องจากต้องการพิจารณาถึงความแข็งแรงที่เพิ่มขึ้นหลังจาก ทำการผสมท่อนาโนคาร์บอนชนิดผงหลายชนิด ซึ่งค่าความแข็งแรงคงนี้เป็นค่าที่นักวิจัยค่าแรง ต่อพื้นที่สูงสุดที่วัสดุจะทนได้ก่อนที่จะขาดหรือแตกออกจากกัน หรือค่าความเค้นสูงสุดที่วัสดุ ได้นั่นเอง โดยสามารถใช้ค่านี้เป็นค่าเปรียบเทียบคุณสมบัติความแข็งแรงของวัสดุ ในขณะที่ค่า มวลลักษณะยังเป็นค่าที่นักวิจัยค่าแรง ในการคงรูปของวัสดุ นั้นคือค่าที่สูง แสดงว่าวัสดุจะ เปลี่ยนรูปอย่างอิลาสติกได้น้อย แต่ค่าที่นี้มีค่าต่ำ แสดงว่าวัสดุจะเปลี่ยนรูปอย่างอิลาสติกได้มาก ก่อนที่จะเสียรูป ซึ่งค่ามวลลักษณะยังนี้มีประโยชน์ในการออกแบบวัสดุที่ต้องรับแรงต่างๆ

2. คัดเลือกปัจจัยที่มีอิทธิพลต่อคุณสมบัติทางกลที่เปลี่ยนแปลง

จากการวิเคราะห์หาสาเหตุที่มีผลต่อคุณสมบัติที่ศึกษา พบว่ามีปัจจัยคือ สาเหตุหลักจากคน เครื่องจักร วัสดุดิบ และวิธีการ ซึ่งทำการควบคุมแต่ละสาเหตุหลักได้ดังนี้

2.1 สาเหตุหลักจากคน

ผู้ปฏิบัติงานที่ทำการนิดขึ้นรูปชิ้นงานนี้ถูกควบคุมให้เป็นบุคคลเดิมในทุกการทดลอง เป็นผู้ที่มีทักษะและประสบการณ์ในการทำงาน และมีสุขภาพสมบูรณ์ขณะทำการทดลอง

2.2 สาเหตุจากเครื่องจักร

เครื่องนิดพลาสติกที่ใช้ในการวิจัยนี้คือ เครื่องนิดพลาสติกรุ่น BA 250/50 CDC ของ บริษัท Battenfeld ประเทศผู้ผลิตคือ Austria ใช้ระบบควบคุมการปิดเปิดของแม่พิมพ์ และควบคุม การทำงานด้วย control unit รุ่น UNILOG 4000 เพื่อเพิ่มประสิทธิภาพในการทำงานให้สูงขึ้น ดัง แสดงในภาคผนวก ก โดยมีการควบคุมเครื่องนิดพลาสติกให้เป็นเครื่องเดียวทันต่อการทดลอง

2.3 สาเหตุจากวัสดุดิบ

ชนิดของเม็ดพลาสติกเป็นประเภทโพลิไพรพิลีน (Polypropylene: PP) ผลิตจากบริษัท IRPC เม็ดสีขาว เกรด 1100 NK LOT NO. 08030434 ดังแสดงคุณสมบัติตามตารางที่ 2

ตารางที่ 2 คุณสมบัติของเม็ดพลาสติกโพลิไพรพิลีนจากบริษัทผู้ผลิต

	คุณสมบัติ	มาตรฐานทดสอบ	หน่วย	ผลลัพธ์
1	MELT FLOW INDEX(230/2.16)	ASTM D1238	g/10 min	10.3
2	CHARPY NOTCHED IMPACT AT 23 C	DIN 53453	mJ/mm ²	3.1
3	FLEXURAL MODULUS (1% SACANT)	ASTM D638	MPa	1451

ในขณะที่ ท่อนาโนคาร์บอนชนิดผนังหลายชั้นขนาดเส้นผ่านศูนย์กลาง 20-50 นาโนเมตร ซึ่งผลิตจากหน่วยวิจัยวัสดุนาโน มหาวิทยาลัยเชียงใหม่ ถูกขยายผสมในถุงผสมประเภทป้องกันการเกิดไฟฟ้าสถิต เพื่อป้องกันการเกาะของผงท่อนาโนคาร์บอนบริเวณถุงผสม จนน้ำเงินนำไปปั้นรูปวัสดุเชิงประดิษฐ์

2.4 สาเหตุจากวิธีการ

การตั้งค่าที่เกี่ยวข้องกับกระบวนการฉีดพลาสติกมีการพิจารณาจากค่าดังนี้ ความดันความเร็ว ระยะเวลา ระยะทาง และอุณหภูมิ ซึ่งมีปัจจัยดังต่อไปนี้ ความดันในการฉีดพลาสติก (Injection Pressure) ความดันด้านการถอยหลังของสกรู (Back Pressure) ความเร็วในการฉีดพลาสติก (Injection Speed) ความเร็วของสกรู (Screw Rotation Speed) ความเร็วในการหลอมพลาสติก (Plasticizing Speed) ระยะเวลาในการฉีดพลาสติก (Injection Time) ระยะเพื่อ (Cushion) อุณหภูมิของหัวฉีด (Nozzle Temperature) อุณหภูมิภายในกระบอกฉีด (Barrel Temperature)

จากสาเหตุของปัญหาที่กล่าวมาในเบื้องต้น พบว่าปัจจัยที่มีความสำคัญที่คาดว่าจะส่งผลกระแทบต่อคุณสมบัติทางกลที่เปลี่ยนไป คือ ปริมาณท่อนาโนคาร์บอน อุณหภูมิพลาสติกหลอมความเร็วในการฉีดพลาสติก ความเร็วรอบของสกรู และความดันในการฉีดพลาสติก ในขณะที่ปัจจัยอื่นที่ไม่ได้นำมาทำการพิจารณาถูกความคุณให้เป็นค่าเดียวตลอดทุกการทดลองจากนั้นใช้วิธีการออกแบบการทดลองเพื่อวิเคราะห์หาว่าปัจจัยใดที่มีผลกระทบต่อการฉีดไม่เต็มชิ้นงานของวัสดุเชิงประดิษฐ์

3. กำหนดค่าของปัจจัยที่ทำการทดลอง

ทำการกำหนดค่าของปัจจัยที่ทำการทดลองจากการศึกษาและรวบรวมข้อมูลจากการวิจัยที่เกี่ยวข้อง และพิจารณาตามเอกสารคำแนะนำของผู้ผลิตเม็ดพลาสติกในส่วนของปัจจัยเงื่อนไขการฉีดขึ้นรูป จากนั้นทดลองฉีดขึ้นรูปเพื่อปรับหาค่าที่สามารถฉีดขึ้นรูปชิ้นงานทดสอบที่มีลักษณะปรากฏ (Appearance) อยู่ในเกณฑ์ที่เป็นที่ยอมรับได้ นั่นคือชิ้นงานทดสอบต้องไม่เกิดปัญหาชิ้นงานฉีดขึ้นรูปที่สามารถมองเห็นด้วยตาเปล่า เช่น การฉีดไม่เต็มชิ้นงาน (Short Mold) หรือการเกิดครีบ (Flash) เป็นต้น โดยที่ระดับของแต่ละปัจจัยที่คาดว่าจะมีผลต่อค่ามอคูลัสของยัง และค่าความแข็งแรงดึง คือ ปริมาณท่อนาโนคาร์บอน (%wt content of MWCNTs) อุณหภูมิพลาสติก

หลอม (Barrel temperature) ความเร็วในการฉีดพลาสติก (Injection velocity) ความเร็วรอบของสกรู (Screw rotational speed) และความดันขึ้น (Holding pressure) โดยแบ่งออกเป็น 2 ระดับ คือ ระดับต่ำ (-) และ ระดับสูง (+) ดังตารางที่ 3

ตารางที่ 3 ระดับของปัจจัยต่างๆ สำหรับแฟกทอเรียลแบบเต็มขั้น 2 ระดับ ที่ 5 ปัจจัย

ปัจจัยควบคุม	หน่วย	ระดับของปัจจัย	
		ต่ำ (-)	สูง (+)
A: ปริมาณร้อยละ โดยน้ำหนัก	%wt	0.5	2.5
B: อุณหภูมิพลาสติกหลอม	°C	190	220
C: ความเร็วนีด	mm/sec	25	45
D: ความเร็วรอบสกรู	rpm	75	227
E: ความดันขึ้น	bar	45	65

4. เลือกวิธีการออกแบบทดลอง

การทดลองนี้ใช้การทดลองแบบการทดลองซ้ำ (Replication) ซึ่งกำหนดจำนวนครั้งในการทำซ้ำการทดลอง 2 ครั้ง เพื่อให้สามารถประมาณค่าความคลาดเคลื่อนของการทดลองได้ที่ระดับของปัจจัยต่างๆ หรือลดความผิดพลาดของข้อมูลจากการเก็บรวบรวมข้อมูล โดยนำหลักการของการออกแบบการทดลองแฟกทอเรียลแบบเต็มขั้น 2 ระดับ ที่ 5 ปัจจัย (2^5 Full Factorial Designs) มาใช้ในการทดลอง ดังแสดงในตารางที่ 4

ตารางที่ 4 ตารางออกแบบการทดลองแฟคทอรียลแบบเติมขั้น 2 ระดับ ที่ 5 ปัจจัย

การทดลองที่	ระดับปัจจัย					ค่าผลตอบสนอง (2 การทำซ้ำ)
	A	B	C	D	E	
1	-	-	-	-	-	-
2	+	-	-	-	-	-
3	-	+	-	-	-	-
4	+	+	-	-	-	-
5	-	-	+	-	-	-
6	+	-	+	-	-	-
7	-	+	+	-	-	-
8	+	+	+	-	-	-
9	-	-	-	+	-	-
10	+	-	-	+	-	-
11	-	+	-	+	-	-
12	+	+	-	+	-	-
13	-	-	+	+	-	-
14	+	-	+	+	-	-
15	-	+	+	+	-	-
16	+	+	+	+	-	-
17	-	-	-	-	-	+
18	+	-	-	-	-	+
19	-	+	-	-	-	+
20	+	+	-	-	-	+
21	-	-	+	-	-	+
22	+	-	+	-	-	+
23	-	+	+	-	-	+
24	+	+	+	-	-	+
25	-	-	-	+	-	+
26	+	-	-	+	-	+

ตารางที่ 4 (ต่อ)

การทดลองที่	ระดับปัจจัย					ค่าผลตอบสนอง (2 การทำซ้ำ)
	A	B	C	D	E	
1	-	-	-	-	-	-
27	-	+	-	+	+	+
28	+	+	-	+	+	+
29	-	-	+	+	+	+
30	+	-	+	+	+	+
31	-	+	+	+	+	+
32	+	+	+	+	+	+

5. ทำการทดลอง

ติดตามดูการทำงานของกระบวนการอย่างระมัดระวัง เพื่อให้แน่ใจว่าการดำเนินการทุกอย่างเป็นไปตามแผน ถ้ามีอะไรผิดพลาดเกี่ยวกับการทดลองในขั้นนี้ จะทำให้การทดลองนี้ใช้ไม่ได้

6. วิเคราะห์ข้อมูลโดยใช้หลักการทางสถิติ

ใช้วิธีการเชิงสถิติวิเครรร์มในการวิเคราะห์ผลการทดลอง และข้อสรุปจากการทดลอง โดยการวิเคราะห์ความแปรปรวนตามหลักการของฟิชเชอร์ (Fisher) เพื่อทดสอบแต่ละปัจจัยว่ามีผลตอบสนองหรือไม่ โดยกำหนดระดับนัยสำคัญของการทดสอบอยู่ที่ $\alpha = 0.05$ และตรวจสอบความถูกต้องของข้อมูลที่ได้ ซึ่งหลังจากที่ได้มีการตรวจสอบรูปแบบจะทำให้ผลของการวิเคราะห์มีความถูกต้อง และความน่าเชื่อถือมากยิ่งขึ้น และทำการวิเคราะห์อิทธิพลของปัจจัยต่างๆ ด้วยกราฟของตัวแปรตอบสนอง (Response Plot)

7. สรุปผลการทดลองและทำข้อเสนอแนะ

เพื่อเป็นแนวทางในการนำไปใช้กำหนดสภาพที่เหมาะสมของกระบวนการครัวต่อไป

ผลและวิจารณ์

ผลการทดสอบและการวิเคราะห์ผลในการทดสอบเบื้องต้น

ผลการทดสอบในขั้นตอนการทดสอบเบื้องต้นนี้ได้จากการทำการทดสอบตามสภาพแวดล้อมตามที่กำหนด ดังแสดงในภาคผนวก ข และภาคผนวก ค โดยมีจำนวนการทดสอบ (Runs) ทั้งสิ้น 32 สาขาวิชาที่แตกต่างกันและมีวัตถุประสงค์ของการทดสอบเพื่อวิเคราะห์ปัจจัยที่มีผลกับค่ามาตรฐานของยังและความแข็งแรงดึง ของชิ้นงานที่นำไปทดสอบ ใช้การทดสอบแบบแฟคทอร์เรียล เพื่อวางแผนการทดสอบ โดยมีตัวแปรตอบสนองคือ ค่ามาตรฐานของยัง และค่าความแข็งแรงดึง

1. ผลการทดสอบ

ผลที่ได้จากการวัดค่ามาตรฐานของยัง และค่าความแข็งแรงดึง ด้วยเครื่อง Universal Testing Machine (UTM) รุ่น H50KS โดยใช้การออกแบบการทดสอบแฟคทอร์เรียลแบบเต็มขั้น 2 ระดับ ที่ 5 ปัจจัย ดังแสดงในภาคผนวก ข

2. การวิเคราะห์ผลการทดสอบเบื้องต้น

หลังจากที่ได้ออกแบบการทดสอบและทำการทดสอบแล้ว ขั้นต่อไปคือการนำข้อมูลที่รวบรวมได้จากการทดสอบมาวิเคราะห์เพื่อทดสอบนัยสำคัญทางสถิติต่อไป โดยใช้หลักการของการวิเคราะห์ผลการทดสอบของการออกแบบการทดสอบ โดยวิธีแฟคทอร์เรียลแบบเต็มขั้น 2 ระดับ ที่ 5 ปัจจัย โดยกำหนดระดับนัยสำคัญเท่ากับ 0.05 สำหรับการวิเคราะห์ความแปรปรวน

กำหนดรูปแบบจำลอง ดังนี้^{*}

$$\begin{aligned}
 Y_{ijklm} = & \mu + A_i + B_j + C_k + D_l + E_m + (AB)_{ij} + (AC)_{ik} + (AD)_{il} + (AE)_{im} \\
 & + (BC)_{jk} + (BD)_{jl} + (BE)_{jm} + (CD)_{kl} + (CE)_{km} + (DE)_{lm} + (ABC)_{ijk} \\
 & + (ABD)_{ijl} + (ABE)_{ijm} + (ACD)_{ikl} + (ACE)_{ikm} + (ADE)_{ilm} + (BCD)_{jkl} \\
 & + (BCE)_{jkm} + (BDE)_{jlm} + (CDE)_{klm} + (ABCD)_{ijkl} + (ABCE)_{ikjm} \\
 & + (ABDE)_{ijlm} + (ACDE)_{iklm} + (BCDE)_{jklm} + (ABCDE)_{ijklm} + \varepsilon_{ijklm}
 \end{aligned}$$

โดยที่ i = 1, 2

j = 1, 2

k = 1, 2

l = 1, 2

m = 1, 2

μ หมายถึง ผลเฉลี่ยทั้งหมด (Overall Mean)

A_i หมายถึง อิทธิพลของปัจจัยปริมาณร้อยละ โดยนำหนัก ที่ระดับ i

B_j หมายถึง อิทธิพลของปัจจัยอุณหภูมิพลาสติกหลอม ที่ระดับ j

C_k หมายถึง อิทธิพลของปัจจัยความเร็วฉีด ที่ระดับ k

D_l หมายถึง อิทธิพลของความเร็วรอบสกรู ที่ระดับ l

E_m หมายถึง อิทธิพลของปัจจัยความดันข้าม ที่ระดับ m

$(AB)_{ij}$ หมายถึง อิทธิพลร่วมของปัจจัยปริมาณร้อยละ โดยนำหนัก ระดับที่ i และปัจจัย อุณหภูมิพลาสติกหลอม ระดับที่ j

$(AC)_{ik}$ หมายถึง อิทธิพลร่วมของปัจจัยปริมาณร้อยละ โดยนำหนัก ระดับที่ i และปัจจัย ความเร็วฉีด ระดับที่ k

$(AD)_{il}$ หมายถึง อิทธิพลร่วมของปัจจัยปริมาณร้อยละ โดยนำหนัก ระดับที่ i และปัจจัย ความเร็วรอบสกรู ระดับที่ l

$(AE)_{im}$ หมายถึง อิทธิพลร่วมของปัจจัยปริมาณร้อยละ โดยนำหนัก ระดับที่ i และปัจจัย ความดันข้าม ระดับที่ m

$(BC)_{jk}$ หมายถึง อิทธิพลร่วมของปัจจัยอุณหภูมิพลาสติกหลอม ระดับที่ j และปัจจัย ความเร็วฉีด ระดับที่ k

$(BD)_{jl}$ หมายถึง อิทธิพลร่วมของปัจจัยอุณหภูมิพลาสติกหลอม ระดับที่ j และปัจจัย ความเร็วรอบสกรู ระดับที่ l

$(ABCD)_{ijkl}$ หมายถึง อิทธิพลร่วมของปัจจัยปริมาณร้อยละ โดยน้ำหนัก ระดับที่ i ปัจจัย
อุณหภูมิพลาสติกหลอม ระดับที่ j ปัจจัยความเร็วเฉลี่ด ระดับที่ k และ
ปัจจัยความรอบสกูร ระดับที่ l

$(ABCE)_{ijkm}$ หมายถึง อิทธิพลร่วมของปัจจัยปริมาณร้อยละ โดยน้ำหนัก ระดับที่ i ปัจจัย
อุณหภูมิพลาสติกหลอม ระดับที่ j ปัจจัยความเร็วเฉลี่ด ระดับที่ k และ
ปัจจัยความดันย้ำ ระดับที่ m

$(ABDE)_{ijlm}$ หมายถึง อิทธิพลร่วมของปัจจัยปริมาณร้อยละ โดยน้ำหนัก ระดับที่ i ปัจจัย
อุณหภูมิพลาสติกหลอม ระดับที่ j ปัจจัยความเร็วรอบสกูร ระดับที่ l
และปัจจัยความดันย้ำ ระดับที่ m

$(ACDE)_{iklm}$ หมายถึง อิทธิพลร่วมของปัจจัยปริมาณร้อยละ โดยน้ำหนัก ระดับที่ i ปัจจัย
ความเร็วเฉลี่ด ระดับที่ k ปัจจัยความเร็วรอบสกูร ระดับที่ l และปัจจัย
ความดันย้ำ ระดับที่ m

$(BCDE)_{jklm}$ หมายถึง อิทธิพลร่วมของปัจจัยอุณหภูมิพลาสติกหลอม ระดับที่ j ปัจจัย
ความเร็วเฉลี่ด ระดับที่ k ปัจจัยความเร็วรอบสกูร ระดับที่ l และปัจจัย
ความดันย้ำ ระดับที่ m

$(ABCDE)_{ijklm}$ หมายถึง อิทธิพลร่วมของปัจจัยปัจจัยปริมาณร้อยละ โดยน้ำหนัก ระดับที่ i
อุณหภูมิพลาสติกหลอม ระดับที่ j ปัจจัยความเร็วเฉลี่ด ระดับที่ k
ปัจจัยความเร็วรอบสกูร ระดับที่ l และปัจจัยความดันย้ำ ระดับที่ m

ε_{ijklm} หมายถึง ความคลาดเคลื่อนแบบสุ่มของการทดลอง

2.1 โดยมีสมมติฐานการทดสอบ ดังนี้

ก. การทดสอบสมมติฐานของปัจจัยหลัก

H_0 : ไม่มีความแตกต่างระหว่างระดับของปัจจัยหลักที่ x ;

$$x = 1, 2, \dots, 5$$

H_1 : มีอย่างน้อย 1 ตัวที่แตกต่างกัน

ข. การทดสอบสมมติฐานของปัจจัยร่วม

H_0 : ไม่มีความแตกต่างระหว่างระดับของปัจจัยร่วมที่ x และ y ;

$x, y = 1, 2, \dots, 5$

H_1 : มีอย่างน้อย 1 คู่ที่แตกต่างกัน

2.2 ผลการวิเคราะห์ความแปรปรวนของการทดลองแฟคทอเรียลแบบเต็มชั้น 2 ระดับที่ 5 ปัจจัย จากโปรแกรมคอมพิวเตอร์

การวิเคราะห์ข้อมูลจะใช้โปรแกรมสำหรือรูป MinitabR.15 ช่วยในการวิเคราะห์ข้อมูลทางสถิติ โดยกำหนดระดับนัยสำคัญของการทดสอบอยู่ที่ระดับนัยสำคัญ 0.05 ได้ผลทางสถิติแสดงในตารางที่ 5 ในกรณีของค่ามาตรฐานสหองค์และในตารางที่ 8 ในกรณีของค่าความแข็งแรงดึง

2.2.1 วิเคราะห์ความแปรปรวนกรณีค่ามอڈูลัสของขัง

ตารางที่ 5 ตารางการวิเคราะห์ความแปรปรวน (Analysis of Variance: ANOVA) ของค่ามอڈูลัสของขัง

แหล่งความผัน แปร	องศา เรศรี (d.f.)	ผลบวก กำลังสอง (SS)	ค่าเฉลี่ย ผลบวก กำลังสอง (MS)	อัตราส่วน F	ค่า p-value	$\alpha = 0.05$
						ค่าเฉลี่ย
						F
(A)	1	181796	181796	190.56	0.000	
(B)	1	268	268	0.28	0.600	
(C)	1	75556	75556	79.20	0.000	
(D)	1	763	763	0.80	0.378	
(E)	1	878	878	0.92	0.345	
(A)(B)	1	24846	24846	26.04	0.000	<i>p-value < α</i>
(A)(C)	1	3798	3798	3.98	0.055	
(A)(D)	1	9049	9049	9.49	0.004	<i>p-value < α</i>
(A)(E)	1	252	252	0.26	0.611	
(B)(C)	1	265096	265096	277.88	0.000	<i>p-value < α</i>
(B)(D)	1	20556	20556	21.55	0.000	<i>p-value < α</i>
(B)(E)	1	842	842	0.96	0.302	
(C)(D)	1	7035	7035	7.37	0.011	<i>p-value < α</i>
(C)(E)	1	108	108	0.11	0.739	
(D)(E)	1	4	4	0.00	0.952	
(A)(B)(C)	1	3675	3675	3.85	0.058	
(A)(B)(D)	1	3953	3953	4.14	0.050	
(A)(B)(E)	1	17856	17856	18.72	0.000	
(A)(C)(D)	1	22164	22164	23.23	0.000	
(A)(C)(E)	1	805	805	0.84	0.365	
(A)(D)(E)	1	147	147	0.15	0.697	

ตารางที่ 5 (ต่อ)

แหล่งความผัน แปร	องค่า สถิติ (d.f.)	ผลบวก กำลังสอง (SS)	ค่าเฉลี่ย กำลังสอง (MS)	อัตราส่วน F	ค่า p-value	$\alpha = 0.05$
(B)(C)(D)	1	1	1	0.00	0.971	
(B)(C)(E)	1	1691	1691	1.77	0.192	
(B)(D)(E)	1	22613	22613	23.70	0.000	
(C)(D)(E)	1	670	670	0.70	0.408	
(A)(B)(C)(D)	1	17391	17391	18.23	0.000	
(A)(B)(C)(E)	1	24610	24610	25.80	0.000	
(A)(B)(D)(E)	1	3408	3408	3.57	0.068	
(A)(C)(D)(E)	1	1199	1199	1.26	0.271	
(B)(C)(D)(E)	1	7	7	0.01	0.933	
(A)(B)(C)(D)(E)	1	1925	1925	2.02	0.165	
Error	32	30527	954			
Total	63	753487				

ตารางที่ 6 ค่าสังเกตไม่ปกติ (Unusual Observations) ในการวิเคราะห์ความแปรปรวนของการทดลองแฟคทอร์เรียลแบบเดิมขั้น 2 ระดับ ที่ 5 ปัจจัย ของค่ามอคูลัสของยัง

ค่าสังเกตที่	ค่ามอคูลัสของยัง	ค่าที่ถูกพิจารณา	ค่าคลาดเคลื่อน (Residual)
2	1489.00	1433.00	56.00
34	1377.00	1433.00	-56.00

จากตารางที่ 6 ทำการตรวจสอบค่าที่ผิดปกติ (Outlier) โดยการแปลงให้อยู่ในรูปค่าคลาดเคลื่อนมาตรฐาน (Standardized Residual) ดังสมการที่ 12

$$d_{ij} = \frac{e_{ij}}{\sqrt{MSE}} \quad (12)$$

โดยทดสอบแบบสองทางที่ระดับนัยสำคัญเท่ากับ 0.01 มีค่าวิกฤตของ Z คือ $Z_{0.005} = 2.576$ ได้ผลดังนี้

$$d_2 = \frac{e_2}{\sqrt{MSE}} = \frac{56}{\sqrt{954}} = 1.81$$

$$d_{34} = \frac{e_{34}}{\sqrt{MSE}} = -\frac{56}{\sqrt{954}} = -1.81$$

จะเห็นได้ว่าค่า d_2 และ d_{34} มีค่าตกลงอยู่ในช่วง ± 2.576 สามารถสรุปได้ว่าค่าสัมภพทั้ง 2 ค่าไม่เป็นค่าผิดปกติ

จากการวิเคราะห์ความแปรปรวนดังแสดงในตารางที่ 5 พบว่า ปัจจัยที่มีผลต่อค่ามอคูลัสของยัง ซึ่งมีค่า P-Value น้อยกว่าระดับนัยสำคัญ 0.05 คือปัจจัยที่มีอิทธิพลร่วมของ 2 ปัจจัยดังนี้

- ก. ปัจจัยร่วมระหว่างปริมาณร้อยละ โดยน้ำหนักและอุณหภูมิพลาสติกหลอม ($A*B$)
- ข. ปัจจัยร่วมระหว่างปริมาณร้อยละ โดยน้ำหนักและความเร็วอบสกู๊ฟ ($A*D$)
- ค. ปัจจัยร่วมระหว่างอุณหภูมิพลาสติกหลอมและความเร็วฉีด ($B*C$)
- ง. ปัจจัยร่วมระหว่างอุณหภูมิพลาสติกหลอมและความเร็วอบสกู๊ฟ ($B*D$)
- จ. ปัจจัยร่วมระหว่างความเร็วฉีดและความเร็วอบสกู๊ฟ ($C*D$)

ตารางที่ 7 Response Surface Regression สำหรับค่ามอคูลัสของยัง

ตัวแปรอิสระ	ค่าประมาณของ β_i	ค่า t	ค่า p-value
Constant	1635.30	423.56	0.000
A	-53.297	-13.80	0.000
B	2.047	0.53	0.600
C	-34.359	-8.90	0.000
D	3.453	0.89	0.378

ตารางที่ 7 (ต่อ)

ตัวแปรอิสระ	ค่าประมาณของ β_i	ค่า t	ค่า p-value
E	-3.703	-0.96	0.345
(A)(B)	19.703	5.10	0.000
(A)(C)	-7.703	-2.00	0.055
(A)(D)	-11.891	-3.08	0.004
(A)(E)	-1.984	-0.51	0.611
(B)(C)	-64.359	-16.67	0.000
(B)(D)	-17.922	-4.64	0.000
(B)(E)	-31.016	-0.87	0.302
(C)(D)	10.484	2.72	0.011
(C)(E)	-1.297	-0.34	0.739
(D)(E)	-0.234	-0.06	0.952

$$S = 30.8866 \quad R-Sq = 95.95\% \quad R-Sq(adj) = 92.02\%$$

จากตารางที่ 6 พบว่าปัจจัยที่มีผลต่อค่ามอคุลัสของยัง ซึ่งมีค่า P-Value น้อยกว่าระดับนัยสำคัญ 0.05 คือ ปริมาณร้อยละโดยน้ำหนัก (A), ความเร็วนิด (C), ปริมาณร้อยละโดยน้ำหนัก และอุณหภูมิพลาสติกหลอม (A^*B), ปริมาณร้อยละโดยน้ำหนักและความเร็วรอบสกรู (A^*D), อุณหภูมิพลาสติกหลอมและความเร็วนิด (B^*C), อุณหภูมิพลาสติกหลอมและความเร็วรอบสกรู (B^*D) และความเร็วนิดและความเร็วรอบสกรู (C^*D) ได้สมการดังนี้

$$\begin{aligned} \text{ค่ามอคุลัสของยัง} &= 1635.30 - 53.297A - 34.359C + 19.703(A^*B) - 11.891(A^*D) - 64.359(B^*C) \\ &\quad - 17.922(B^*D) + 10.484(C^*D) \end{aligned}$$

โดยมีค่า R^2 (adj) = 92.02% หมายความว่าในความผันแปรของค่ามอคุลัสของยังทั้งหมด 100% สมการดังนี้สามารถอธิบายได้ถูกต้องถึง 92.02%

2.2.2 วิเคราะห์ความแปรปรวนกรณีค่าความเบี่ยงเบนดิ่ง

ตารางที่ 8 ตารางการวิเคราะห์ความแปรปรวน (Analysis of Variance: ANOVA) ของค่าความเบี่ยงเบนดิ่ง

แหล่งความผัน แปร	องศา เสรี (d.f.)	ผลบวก กำลังสอง (SS)	ค่าเฉลี่ย ผลบวก กำลังสอง (MS)	อัตราส่วน F	ค่า p-value	$\alpha = 0.05$
(A)	1	129.92	129.92	572.97	0.000	
(B)	1	2.1252	2.1252	9.37	0.004	
(C)	1	42.2906	42.2906	186.50	0.000	
(D)	1	2.9810	2.9810	13.15	0.001	
(E)	1	0.2154	0.2154	0.95	0.337	
(A)(B)	1	6.2344	6.2344	27.49	0.000	<i>p-value < α</i>
(A)(C)	1	0.2940	0.2940	1.30	0.263	
(A)(D)	1	0.6152	0.6152	2.71	0.109	
(A)(E)	1	0.6602	0.6602	2.91	0.098	
(B)(C)	1	56.4612	56.4612	248.99	0.000	<i>p-value < α</i>
(B)(D)	1	6.4231	6.4231	28.33	0.000	<i>p-value < α</i>
(B)(E)	1	0.2756	0.2756	1.22	0.278	
(C)(D)	1	1.2203	1.2203	5.38	0.027	<i>p-value < α</i>
(C)(E)	1	0.1026	0.1026	0.45	0.506	
(D)(E)	1	0.4225	0.4225	1.86	0.182	
(A)(B)(C)	1	3.6457	3.6457	16.08	0.000	
(A)(B)(D)	1	1.3478	1.3478	5.94	0.021	
(A)(B)(E)	1	1.0667	1.0667	4.70	0.038	
(A)(C)(D)	1	0.0172	0.0172	0.08	0.785	
(A)(C)(E)	1	0.0791	0.0791	0.35	0.559	
(A)(D)(E)	1	1.1256	1.1256	4.96	0.033	

ตารางที่ 8 (ต่อ)

แหล่งความผัน แปร	องค่า สถิติ (d.f.)	ผลรวม กำลังสอง (SS)	ค่าเฉลี่ย กำลังสอง (MS)	อัตราส่วน F	ค่า p-value	$\alpha = 0.05$
(B)(C)(D)	1	0.0900	0.0900	0.40	0.533	
(B)(C)(E)	1	1.5469	1.5469	6.82	0.014	
(B)(D)(E)	1	0.9598	0.9598	4.23	0.048	
(C)(D)(E)	1	0.2789	0.2789	1.23	0.276	
(A)(B)(C)(D)	1	0.2940	0.2940	1.30	0.263	
(A)(B)(C)(E)	1	0.3732	0.3732	1.65	0.209	
(A)(B)(D)(E)	1	0.3025	0.3025	1.33	0.257	
(A)(C)(D)(E)	1	0.5010	0.5010	2.21	0.147	
(B)(C)(D)(E)	1	0.3042	0.3042	1.34	0.255	
(A)(B)(C)(D)(E)	1	0.3945	0.3945	1.74	0.197	
Error	32	7.2562	0.2268			
Total	63	269.8291				

ตารางที่ 9 ค่าสังเกตไม่ปกติ (Unusual Observations) ในการวิเคราะห์ความแปรปรวนของการทดลองแฟคทอร์เรียลแบบเต็มขั้น 2 ระดับ ที่ 5 ปัจจัย ของค่าความแข็งแรงดึง

ค่าสังเกตที่	ค่าความแข็งแรงดึง	ค่าที่ถูกพิจารณา	ค่าคาดเดือน (Residual)
7	34.1250	33.4500	0.6750
12	31.1250	30.2969	0.8281
39	32.7750	33.4500	-0.6750
44	29.4688	30.2969	-0.8281

จากตารางที่ 9 ทำการตรวจสอบค่าที่ผิดปกติ (Outlier) โดยการแปลงให้อยู่ในรูปค่าคลาดเคลื่อนมาตรฐาน (Standardized Residual) ดังสมการที่ 12

โดยทดสอบแบบสองทางที่ระดับนัยสำคัญเท่ากับ 0.01 มีค่าวิกฤตของ Z คือ $Z_{0.005} = 2.576$ ได้ผลดังนี้

$$d_7 = \frac{e_7}{\sqrt{MSE}} = \frac{0.6750}{\sqrt{0.2268}} = 1.42$$

$$d_{12} = \frac{e_{12}}{\sqrt{MSE}} = \frac{0.8281}{\sqrt{0.2268}} = 1.74$$

$$d_{39} = \frac{e_{39}}{\sqrt{MSE}} = -\frac{0.6750}{\sqrt{0.2268}} = -1.42$$

$$d_{44} = \frac{e_{44}}{\sqrt{MSE}} = -\frac{0.8281}{\sqrt{0.2268}} = -1.74$$

จะเห็นได้ว่าค่า d_7 , d_{12} , d_{39} และ d_{44} มีค่าตกอยู่ ในช่วง ± 2.576 สามารถสรุปได้ว่าค่าสังเกตทั้ง 4 ค่า ไม่เป็นค่าผิดปกติ

จากการวิเคราะห์ความแปรปรวนดังแสดงในตารางที่ 8 พบว่า ปัจจัยที่มีผลต่อค่าความแข็งแรงดึง ซึ่งมีค่า P-Value น้อยกว่าระดับนัยสำคัญ 0.05 คือปัจจัยที่มีอิทธิพลร่วมของ 2 ปัจจัยดังนี้

- ก. ปัจจัยร่วมระหว่างปริมาณร้อยละ โดยน้ำหนักและอุณหภูมิพลาสติกหลอม ($A*B$)
- ข. ปัจจัยร่วมระหว่างอุณหภูมิพลาสติกหลอมและความเร็วฉีด ($B*C$)
- ค. ปัจจัยร่วมระหว่างอุณหภูมิพลาสติกหลอมและความเร็woronสกู (B*D)
- ง. ปัจจัยร่วมระหว่างความเร็วฉีดและความเร็woronสกู (C*D)

ตารางที่ 10 Response Surface Regression สำหรับค่าความแปรปรวนดึง

ตัวแปรอิสระ	ค่าประมาณของ β_i	ค่า t	ค่า p-value
Constant	32.7520	550.23	0.000
A	-1.42480	-23.94	0.000
B	-0.18223	-3.06	0.004
C	-0.81289	-13.66	0.000
D	0.21582	3.63	0.001
E	0.05801	0.97	0.337
(A)(B)	0.31211	5.24	0.000
(A)(C)	-0.06777	-1.14	0.263
(A)(D)	-0.09805	1.65	0.109
(A)(E)	-0.10156	-1.71	0.098
(B)(C)	-0.93926	-15.78	0.000
(B)(D)	-0.31680	-5.32	0.000
(B)(E)	-0.06562	-1.10	0.278
(C)(D)	0.13809	2.32	0.027
(C)(E)	0.04004	0.67	0.506
(D)(E)	-0.08125	-1.36	0.182

$$S = 0.476191 \quad R-Sq = 97.31\% \quad R-Sq(adj) = 94.71\%$$

จากตารางที่ 10 พบร่วมกันที่มีผลต่อค่าความแปรปรวนดึง ซึ่งมีค่า P-Value น้อยกว่าระดับนัยสำคัญ 0.05 คือ ปริมาณร้อยละ โดยน้ำหนัก (A), อุณหภูมิหลอม (B), ความเร็วหน้า (C), ความเร็ว robust กอนิก (D), ปริมาณร้อยละ โดยน้ำหนักและอุณหภูมิพลาสติกหลอม ($A*B$), อุณหภูมิพลาสติกหลอมและความเร็วหน้า ($B*C$), อุณหภูมิพลาสติกหลอมและความเร็ว robust กอนิก ($B*D$) และความเร็วหน้าและความเร็ว robust กอนิก ($C*D$) ได้สมการดังนี้

$$\begin{aligned}
 \text{ค่าความแปรปรวน} &= 32.7520 - 1.4248A - 0.18223B - 0.81289C + 0.21582D + 0.31211(A*B) \\
 &\quad - 0.93926(B*C) - 0.31680(B*D) + 0.13809(C*D)
 \end{aligned}$$

โดยมีค่า R^2 (adj) = 94.71% หมายความว่าในความผันแปรของค่าความแปรปรวนทั้งหมด 100% สามารถอธิบายได้ถูกต้องถึง 94.71%

2.3 ผลการวิเคราะห์ความแปรปรวนหลายตัวแปร (Multivariate Analysis of Variance: MANOVA) จากโปรแกรมคอมพิวเตอร์

ผลการวิเคราะห์ความแปรปรวนหลายตัวแปรจากโปรแกรมคอมพิวเตอร์ พบว่าสถิติทดสอบทั้ง 4 ตัวให้ผลค่า p-value เท่ากันทุกการทดสอบปัจจัยหลักและปัจจัยร่วมที่มีอิทธิพล และมีผลสอดคล้องกับการวิเคราะห์ความแปรปรวน (ANOVA) ในขณะที่ผลการวิเคราะห์ค่า Cross-Product ซึ่งแสดงถึงความสัมพันธ์ระหว่างปัจจัยกับตัวแปรตาม และความสัมพันธ์ระหว่างตัวแปรตามทั้งสองค่า ดังแสดงในตารางที่ 11

ตารางที่ 11 ค่าของ p-value และค่า Cross-Product ของอิทธิพลแต่ละปัจจัย จากการวิเคราะห์ความแปรปรวนหลายตัวแปร

แหล่งความแปรผัน	p-value	Cross Product (CP)
(A)	0.000	4860
(B)	0.087	-23.87
(C)	0.000	1788
(D)	0.034	47.70
(E)	0.678	-13.75
(A)(B)	0.000	393.6
(A)(C)	0.414	33.41
(A)(D)	0.124	74.61
(A)(E)	0.448	12.90
(B)(C)	0.000	3869
(B)(D)	0.000	363.4
(B)(E)	0.159	54.7
(C)(D)	0.097	92.66
(C)(E)	0.870	-3.323
(D)(E)	0.608	1.219
Error		91
Total		0.08683

จากตารางที่ 11 พบว่าปัจจัยที่มีค่า Cross-Product ของโอมเดล (CP_M) อยู่ในระดับสูงคือ ปัจจัยร่วมปริมาณร้อยละ โดยนำหนักและอุณหภูมิพลาสติกหลอม (A*B), อุณหภูมิพลาสติกหลอม และความเร็วฉีด (B*C) และอุณหภูมิพลาสติกหลอมและความเร็วอบสกู๊ฟ (B*D) ซึ่งแสดงถึงผลของแต่ละปัจจัยร่วมที่มีอิทธิพลต่อค่ามอคูลัสของยัง และค่าความแข็งแรงคงที่สอดคล้องกัน

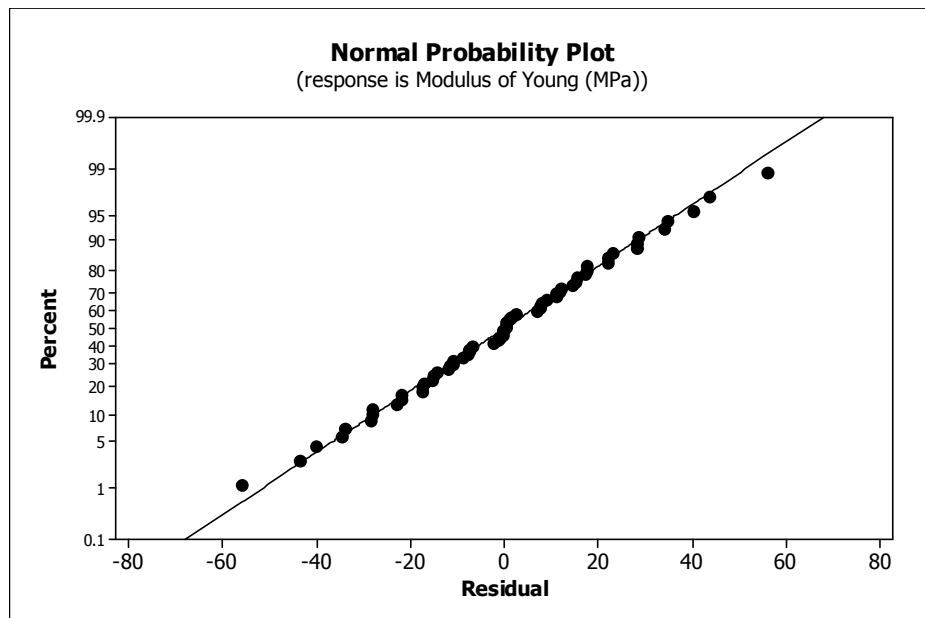
นอกจากนี้ จากการวิเคราะห์ค่า Cross-Product Total (CP_T) ทำให้ทราบว่า ความสัมพันธ์ของตัวแปรตามทั้งสองตัว ซึ่งในที่นี้คือค่ามอคูลัสของยัง และค่าความแข็งแรงคง มีความสัมพันธ์กันในทิศทางเดียวกัน โดยมีค่าความสัมพันธ์ของสองตัวแปรตาม เท่ากับ 0.08683

2.4 การตรวจสอบความเพียงพอของแบบจำลอง (Model Adequacy Checking)

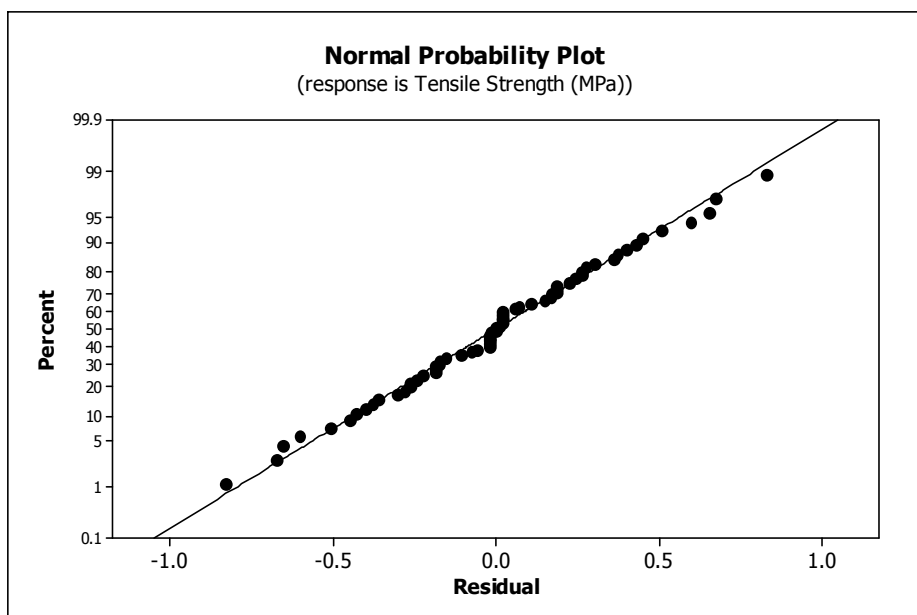
เป็นการตรวจสอบความเหมาะสมของข้อมูลและความถูกต้องในการวิเคราะห์ ซึ่งหมายความว่ารูปแบบของความผิดพลาดเป็นไปตามหลักการ $\varepsilon_{ijklm} \sim NID(0, \sigma^2)$ โดยอาศัยค่า Residual ในการวิเคราะห์ทำให้ข้อมูลมีความถูกต้องและเชื่อถือได้ โดยการตรวจสอบมี 3 ข้อ ดังนี้

2.4.1 การตรวจสอบการกระจายว่าเป็นแบบแจกแจงปกติ (Normal Distribution)

ใช้การทดสอบด้วยโปรแกรมคอมพิวเตอร์ โดยพิจารณาจากการกระจายของค่าความคลาดเคลื่อน (Residual) ดังภาพที่ 22 ในกรณีของค่ามอคูลัสของยัง และภาพที่ 23 ในกรณีของค่าความแข็งแรงดึง พนว่าข้อมูลทั้งสองค่ามีการกระจายตัวตามแนวเส้นตรง ประมาณได้ว่าข้อมูลมีการกระจายแบบปกติ ทำให้สามารถสรุปว่าค่าคลาดเคลื่อนมีการแจกแจงแบบปกติและข้อมูลที่ได้มีความถูกต้อง เชื่อถือได้



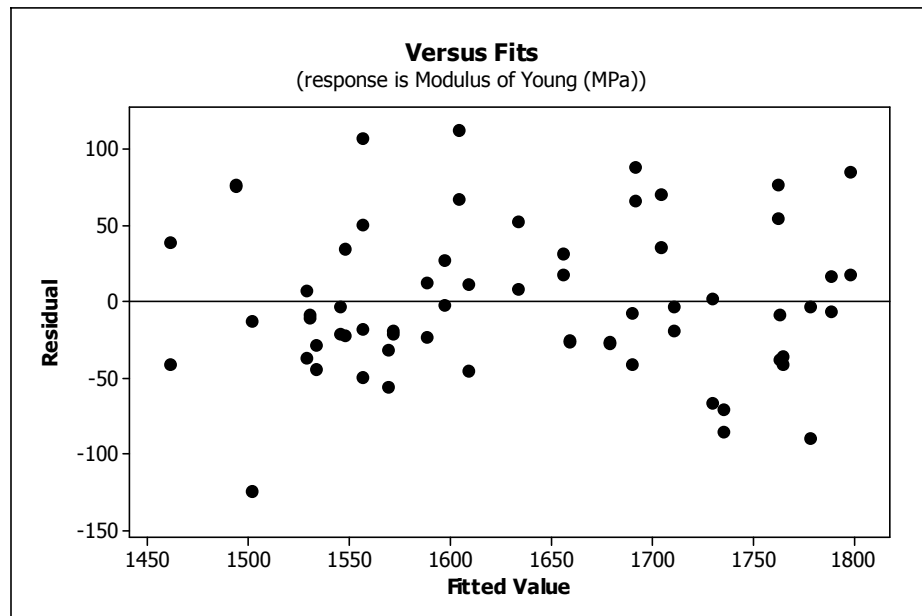
ภาพที่ 22 Normal Probability Plot ของค่าคลาดเคลื่อน กรณีค่ามอดูลัสของยัง



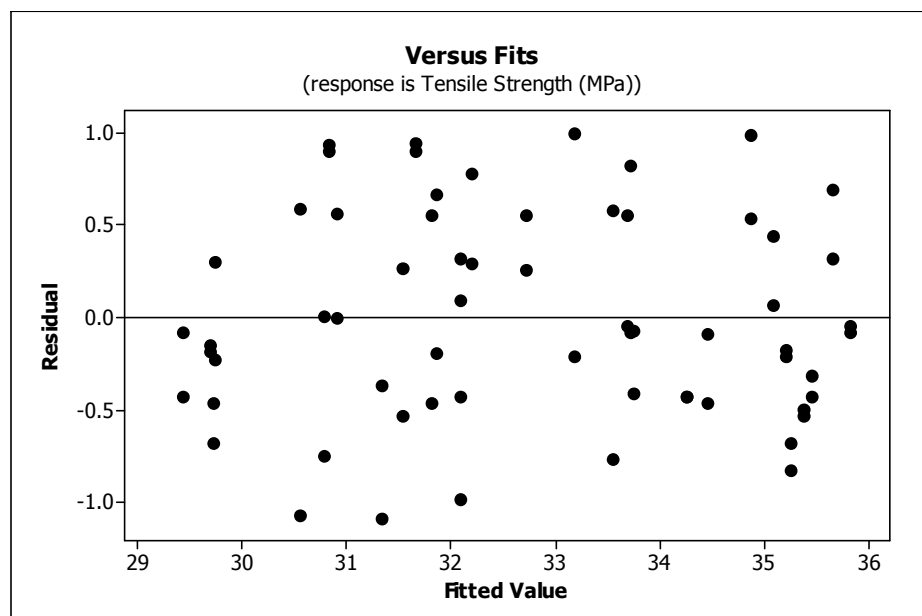
ภาพที่ 23 Normal Probability Plot ของค่าคลาดเคลื่อน กรณีค่าความแข็งแรงคงดี

2.4.2 การตรวจสอบความเสถียรของความแปรปรวน (Variance Stability) โดยใช้แผนภูมิการกระจายดังภาพที่ 24 ในกรณีของค่ามอดูลัสของยัง และภาพที่ 25 ในกรณีของค่าความแข็งแรงคงดี ซึ่งเป็นแผนภูมิการกระจายค่าความคลาดเคลื่อน (Residual) และค่า Fitted Value

ในแต่ละระดับของปัจจัย พนวจัยปร่างของการกระจายของข้อมูลที่ออกมานี้เป็นลักษณะของการเพิ่มขึ้นหรือลดลงของความแปรปรวน แสดงว่าข้อมูลมีความเสถียรของความแปรปรวน

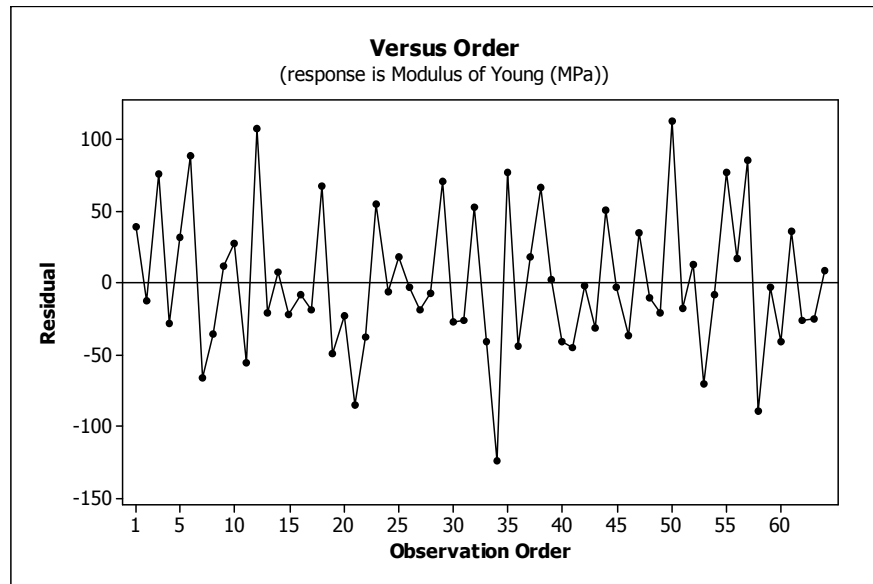


ภาพที่ 24 กราฟของค่าคลาดเคลื่อนกับค่าที่ถูกพิจ กรณีค่ามอดูลัสของยัง

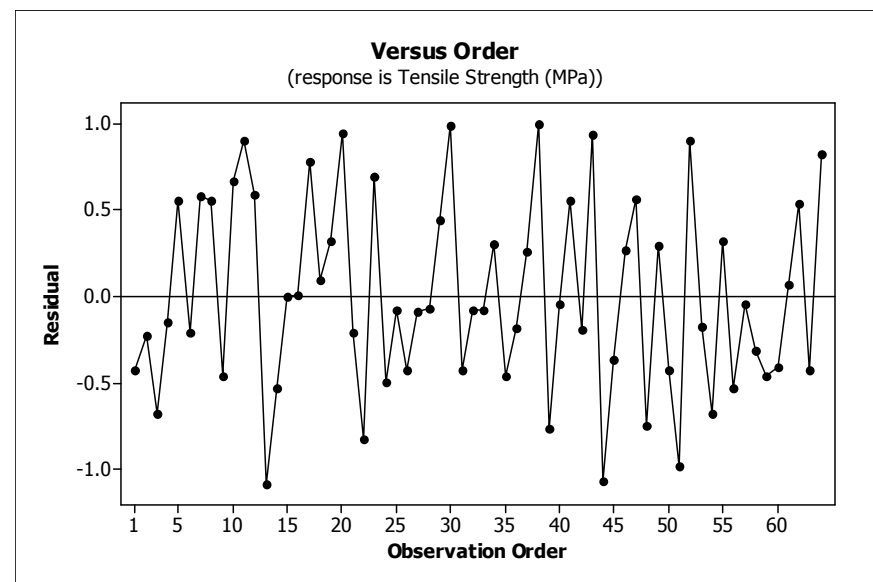


ภาพที่ 25 กราฟของค่าคลาดเคลื่อนกับค่าที่ถูกพิจ กรณีค่าความแข็งแรงคง

2.4.3 การตรวจสอบความเป็นอิสระของข้อมูล (Independence) ดังภาพที่ 26 ในกรณีของค่ามอดูลัสของยัง และภาพที่ 27 ในกรณีของค่าความแข็งแรงดึง จากการพิจารณาลักษณะการกระจายของจุดที่แทนข้อมูลบนแผนภูมิ พบร่วมกับความคลาดเคลื่อน (Residual) ของผลการทดสอบมีการกระจายตัวอย่างอิสระสม่ำเสมอ ซึ่งแสดงได้ว่าลักษณะข้อมูลมีความอิสระ



ภาพที่ 26 กราฟของค่าคลาดเคลื่อนกับลำดับของข้อมูล กรณีค่ามอดูลัสของยัง

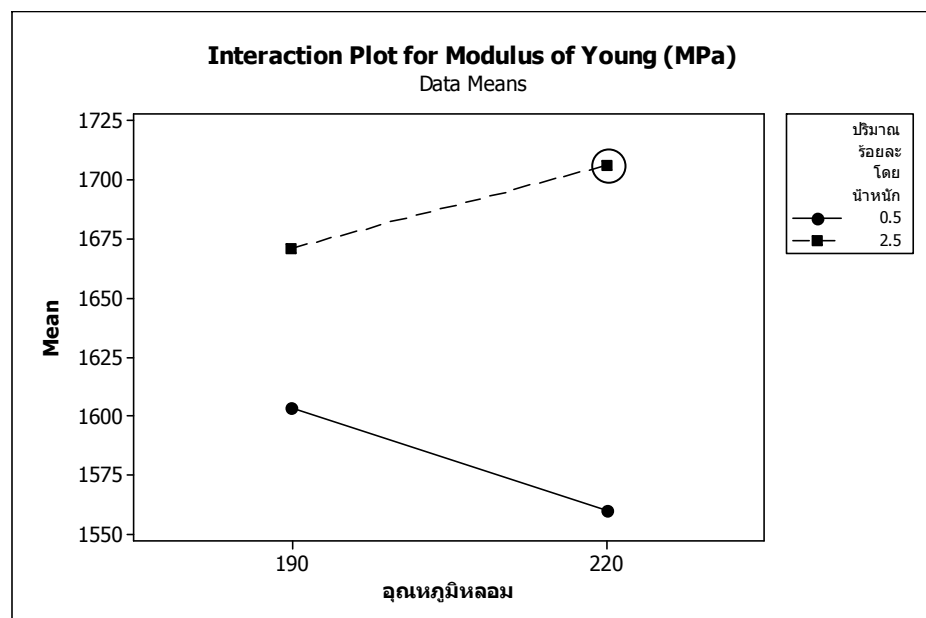


ภาพที่ 27 กราฟของค่าคลาดเคลื่อนกับลำดับของข้อมูล กรณีค่าความแข็งแรงดึง

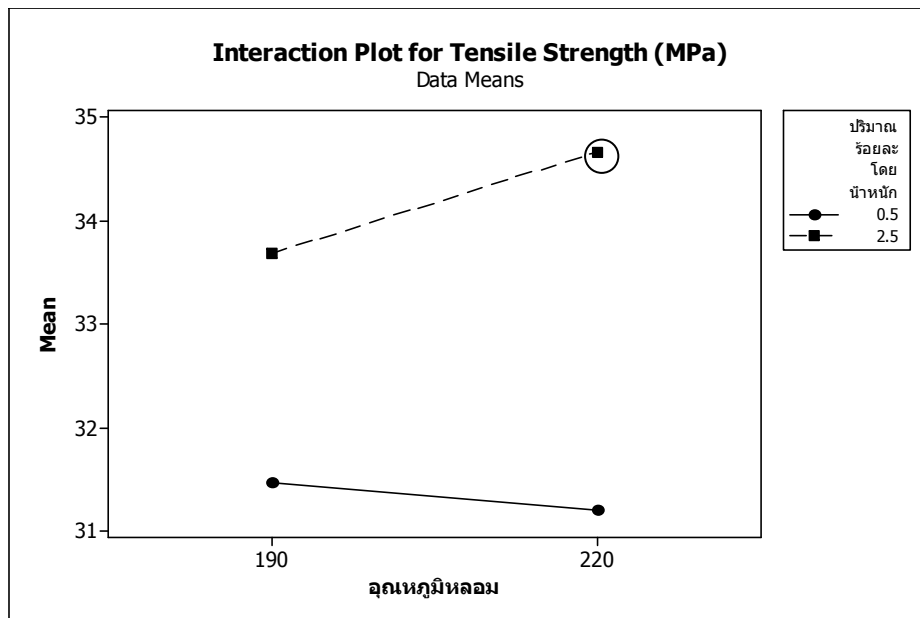
2.5 สรุปผลการวิเคราะห์ข้อมูลที่ได้จากแผนกราฟทดลองแฟคทอรีลแบบเติมขั้น 2 ระดับที่ 5 ปัจจัย โดยพิจารณาจากกราฟค่าเฉลี่ย Factorial Plots

จากผลการวิเคราะห์ความแปรปรวนของการทดลองข้างต้น เมื่อนำปัจจัยร่วมที่สัมพันธ์กัน และมีอิทธิพลต่อกำม.oducts ของยัง และค่าความแข็งแรงคงทึ้งหมวด มาสร้างกราฟความสัมพันธ์ระหว่างผลของปัจจัยแต่ละระดับและค่าความแข็งแรงคงทึ้งได้ผลดังนี้

ก. ปัจจัยร่วมระหว่างปริมาณร้อยละ โดยนำหนักและอุณหภูมิพลาสติกหลอม (A^*B)



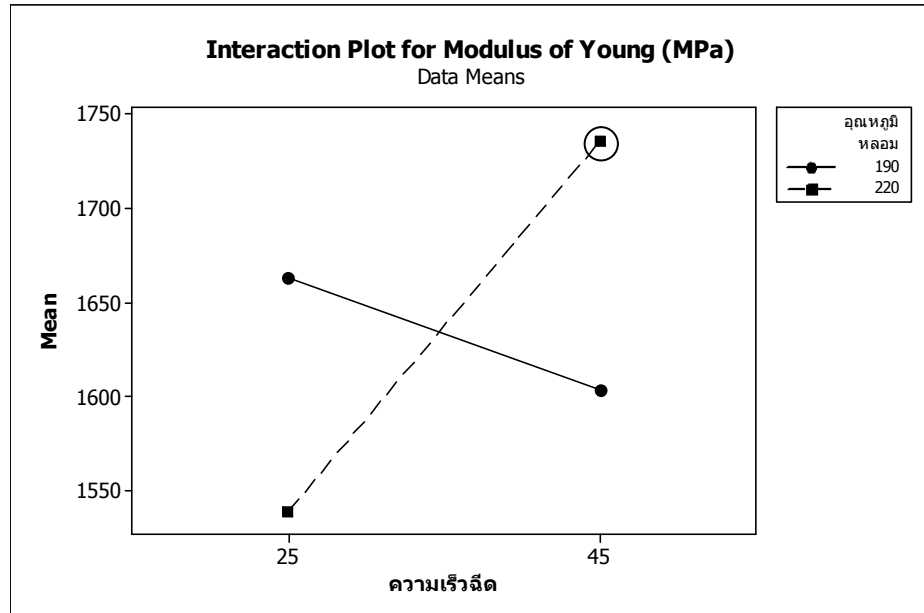
ภาพที่ 28 กราฟอิทธิพลร่วมของปัจจัยปริมาณร้อยละ โดยนำหนัก และ อุณหภูมิพลาสติกหลอมที่มีผลต่อค่าความถูกต้องของยัง



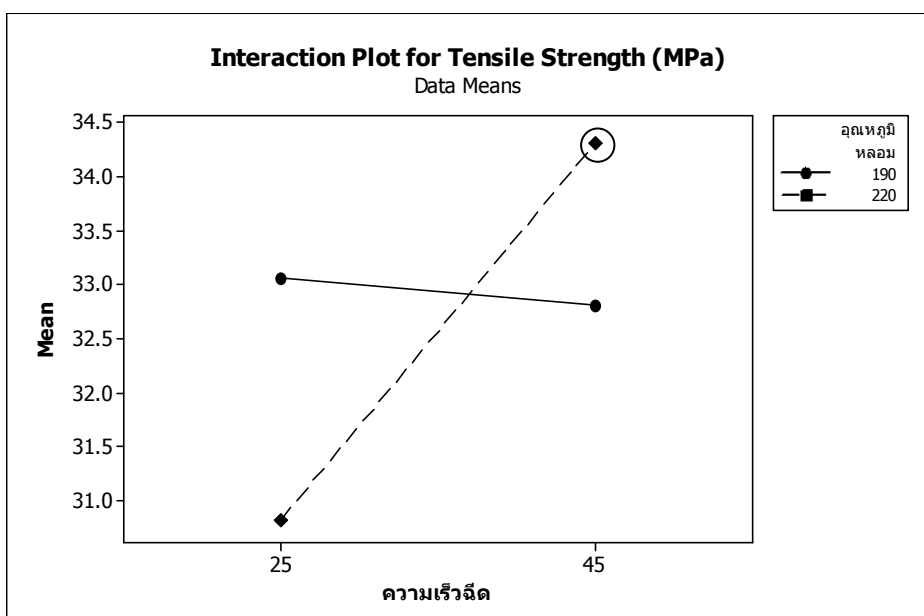
ภาพที่ 29 กราฟอิทธิพลร่วมของปัจจัยปริมาณร้อยละ โอดยน้ำหนัก และ อุณหภูมิพลาสติกหลอมที่มีผลต่อค่าความแข็งแรงคงดีง

จากภาพที่ 28 และ ภาพที่ 29 พบร่วมกันว่าการกำหนดค่าของห้องทึบสองปัจจัยที่ระดับสูงคือปริมาณร้อยละ โอดยน้ำหนัก = 2.5 %wt และ อุณหภูมิพลาสติกหลอม = 220 °C จะส่งผลให้ค่าความอุดัลล่องยังและค่าความแข็งแรงคงดีงสูงขึ้น

ข. ปัจจัยร่วมระหว่างอุณหภูมิพลาสติกหลอมและความเร็วฉีด (B*C)



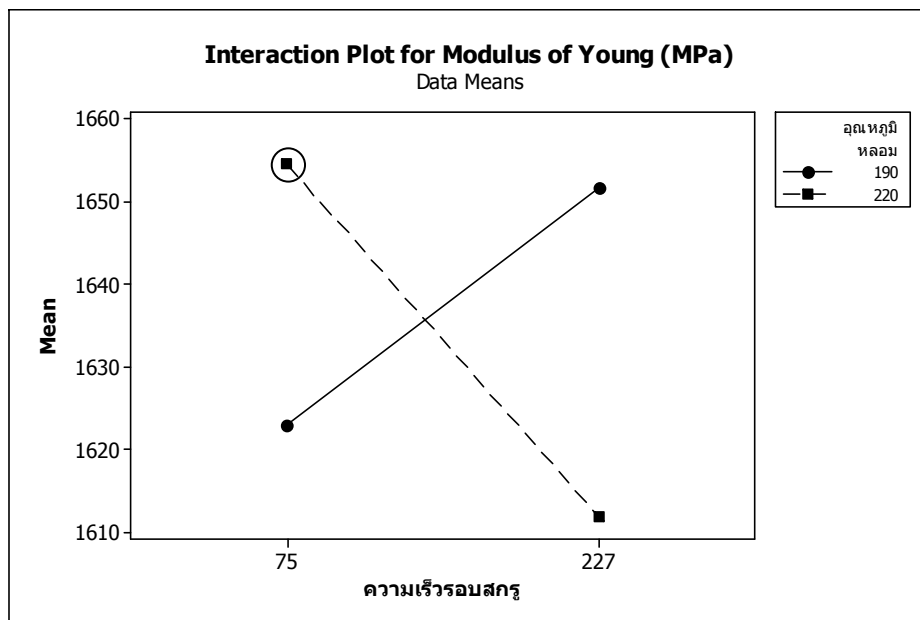
ภาพที่ 30 กราฟอิทธิพลร่วมของปัจจัยอุณหภูมิพลาสติกหลอม และ ความเร็วฉีด ที่มีผลต่อค่า มอดูลัสของยาง



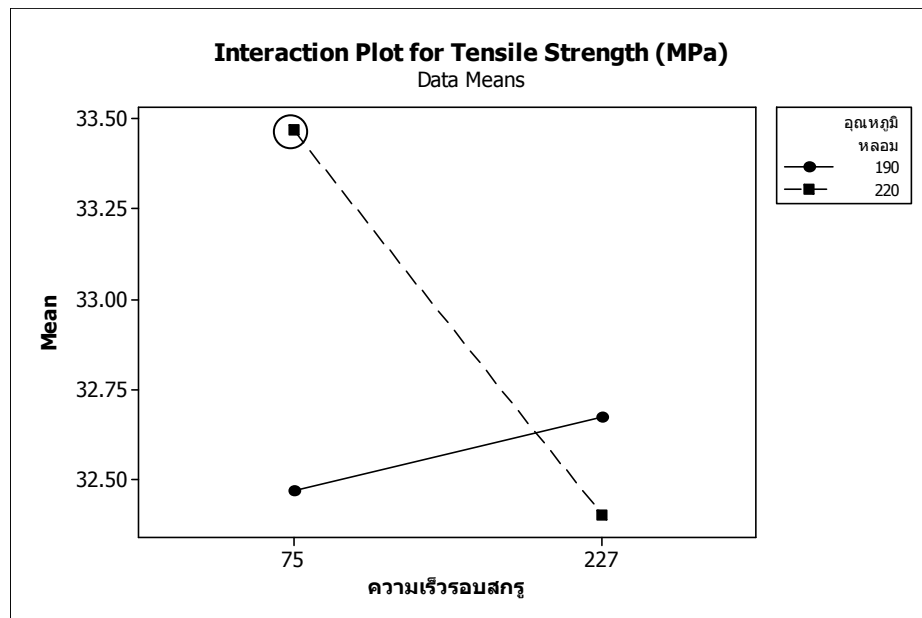
ภาพที่ 31 กราฟอิทธิพลร่วมของปัจจัยอุณหภูมิพลาสติกหลอม และ ความเร็วฉีด ที่มีผลต่อค่า ความแข็งแรงดึง

จากภาพที่ 30 และ ภาพที่ 31 พบว่าการกำหนดค่าของห้องส่องปัจจัยที่ระดับสูงคือ อุณหภูมิพลาสติกหลอม = 220°C และความเร็วเฉลี่ด = 45 mm/sec จะส่งผลให้ค่ามอคูลัสของยังและค่าความแข็งแรงคงสูงขึ้น

ค. ปัจจัยร่วมระหว่างอุณหภูมิพลาสติกหลอมและความเร็วรอบสกรู ($B*D$)



ภาพที่ 32 กราฟอิทธิพลร่วมของปัจจัยอุณหภูมิพลาสติกหลอม และ ความเร็วรอบสกรู ที่มีผลต่อค่ามอคูลัสของยัง



ภาพที่ 33 กราฟอิทธิพลร่วมของปัจจัยอุณหภูมิพลาสติกหลอม และ ความเร็วรอบสกรู ที่มีผลต่อค่าความแข็งแรงดึง

จากภาพที่ 32 และ ภาพที่ 33 พบว่าการกำหนดค่าของห้องสองปัจจัยที่ระดับสูงคือ อุณหภูมิพลาสติกหลอม = 220 °C และความเร็วรอบสกรู = 75 rpm จะส่งผลให้ค่ามอคูลัสของขังและค่าความแข็งแรงดึงสูงขึ้น

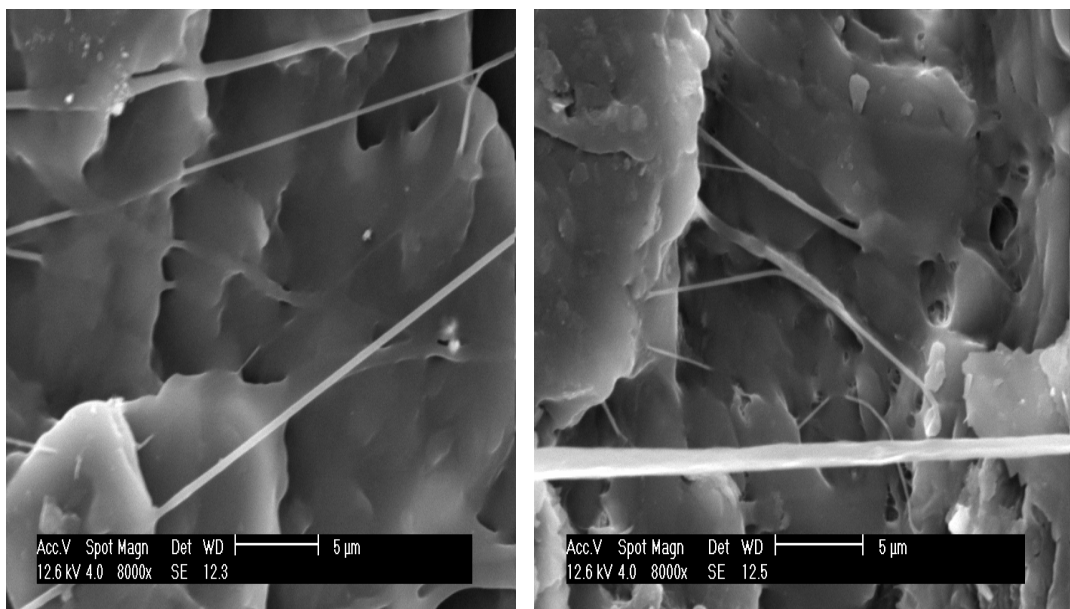
จากการวิเคราะห์สรุปได้ว่า ปัจจัยที่ให้ค่าเฉือนไนที่เหมาะสมที่สุด ที่ทำให้ผลของค่ามอคูลัสของขัง และค่าความแข็งแรงดึงดึงที่ดีที่สุด แสดงดังตารางที่ 12

ตารางที่ 12 เฉือนไนที่เหมาะสมของแต่ละปัจจัย

ปริมาณร้อยละ โดยน้ำหนัก	อุณหภูมิพลาสติกหลอม (°C)	ความเร็วฉีด (mm/sec)	ความเร็วรอบสกรู (rpm)	ความดันข้าม (bar)
2.5 (+)	220 (+)	45 (+)	75 (-)	45 (-)/65 (+)

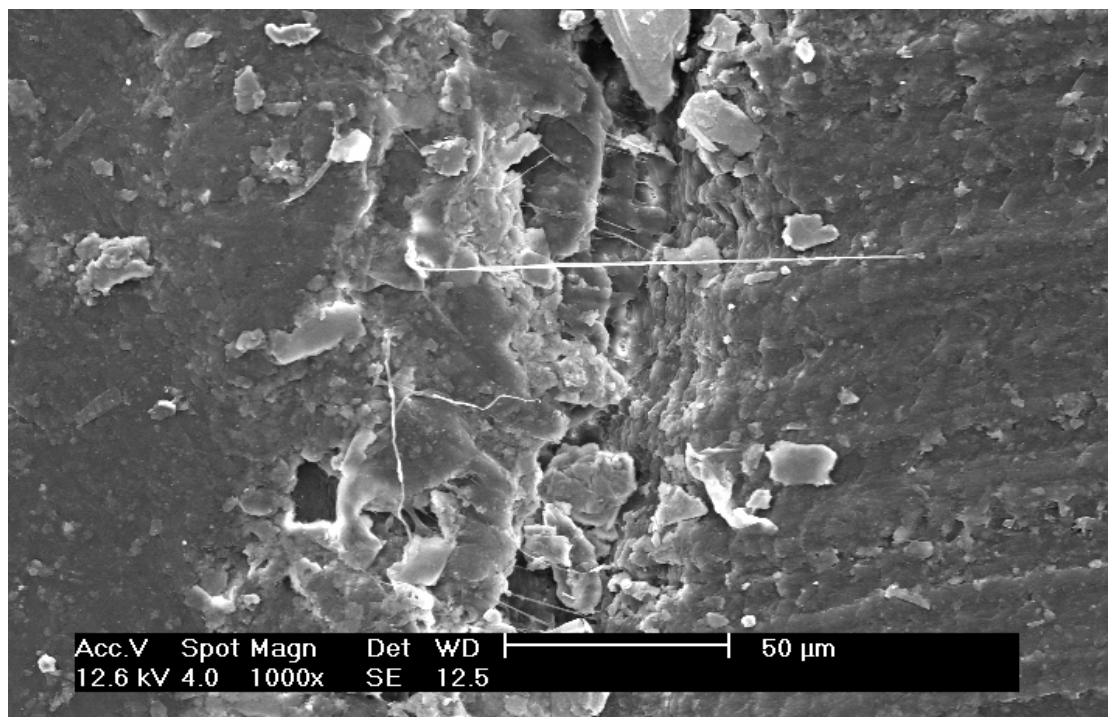
3. การทดสอบสัณฐานวิทยา (Morphology)

จากการศึกษาคุณสมบัติทางสัณฐานวิทยาของวัสดุเชิงประดิษฐ์ท่อนาโนคาร์บอนพลาสติกพอลิไพรพิลีน โดยได้ทำการตัดขวางชิ้นงานแล้วจึงนำไปทดสอบด้วยกล้องจุลทรรศน์อิเล็กตรอนแบบส่องกราด(Scanning Electron Microscope: SEM) จากนั้นทำการวัดค่าขนาดเส้นผ่านศูนย์กลางของท่อนาโนคาร์บอนของภาพถ่ายข่ายจากกล้องจุลทรรศน์อิเล็กตรอนแบบส่องกราด ที่กำลังขยายเท่ากับ 8000 เท่า โดยทำการวัดที่ตำแหน่งที่ต่างกัน 5 ครั้ง พบว่ามีขนาดเส้นผ่านศูนย์กลางเท่ากับ 32.5, 44.6, 44.8, 25.6 และ 25.9 นาโนเมตร ตามลำดับ สอดคล้องกับขนาดเส้นผ่านศูนย์กลางของท่อนาโนคาร์บอนที่นำมาใช้ในการนำพาสมชี่งมีขนาดเส้นผ่านศูนย์กลางเท่ากับ 20-50 นาโนเมตร ดังแสดงในภาพที่ 34

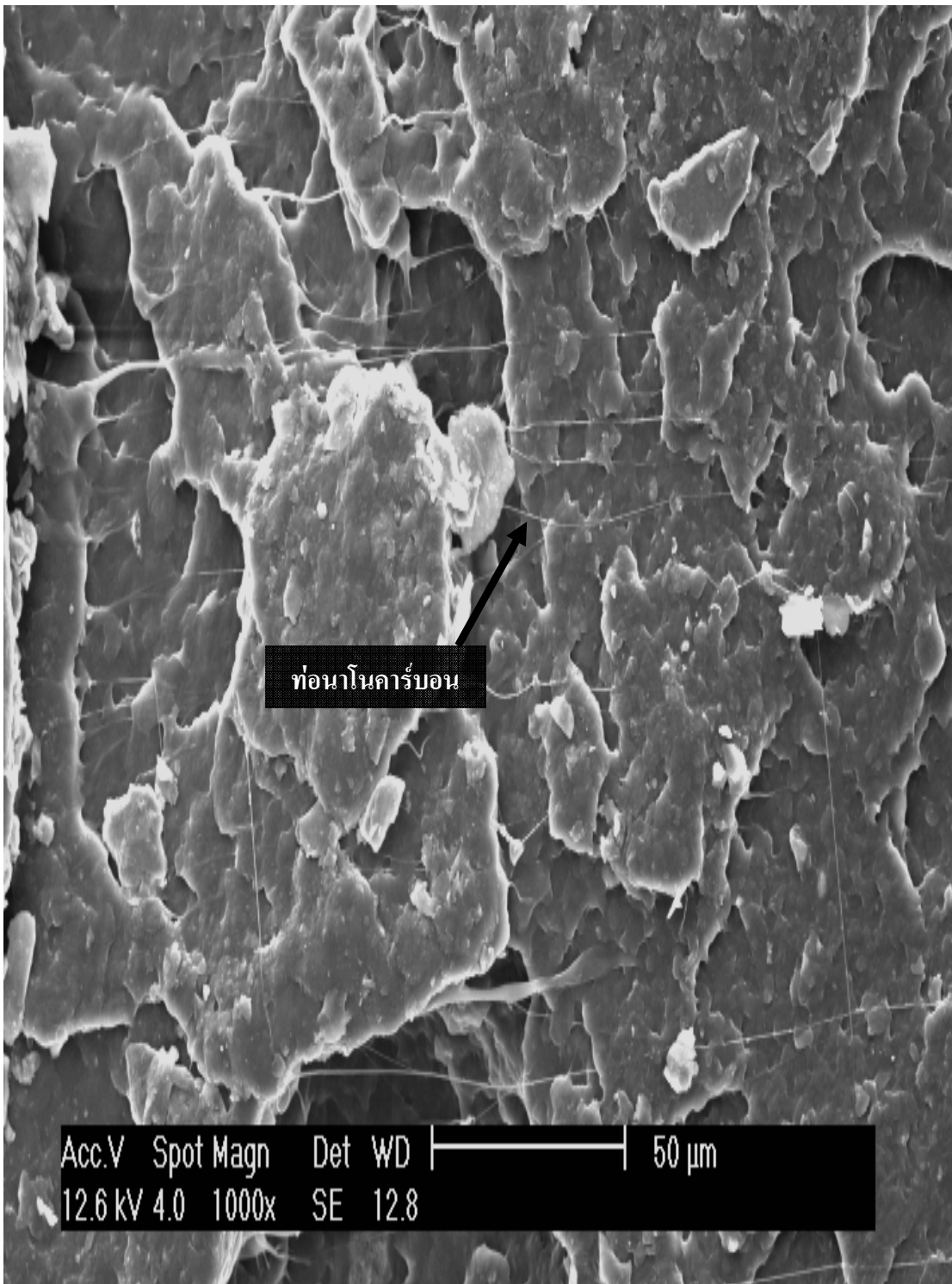


ภาพที่ 34 ภาพถ่ายข่ายจากกล้องจุลทรรศน์อิเล็กตรอนแบบส่องกราด ที่กำลังขยายเท่ากับ 8000 เท่า ของวัสดุเชิงประดิษฐ์ท่อนาโนคาร์บอนพลาสติกพอลิไพรพิลีน

ทำการศึกษาลักษณะการกระจายตัวโดยรวมของวัสดุเชิงประจุบอนท่อนาโนคาร์บอนพสม พอลิไพรพิลีน ที่มีปริมาณท่อนาโนคาร์บอนเท่ากับร้อยละ 0.5 และ 2.5 โดยนำหัวนัก โดยใช้กำลังขยายเท่ากับ 1000 เท่า พบร่วมกับในชิ้นงานทดสอบที่มีปริมาณท่อนาโนคาร์บอนเท่ากับร้อยละ 2.5 โดยนำหัวนัก ดังภาพที่ 36 มีการกระจายตัวของท่อนาโนคาร์บอนในเนื้อของชิ้นงาน ที่ดีกว่าชิ้นงานทดสอบที่มีปริมาณท่อนาโนคาร์บอนเท่ากับร้อยละ 0.5 โดยนำหัวนัก ดังภาพที่ 35 หมายถึงว่าท่อนาโนคาร์บอนที่ใส่ผสมลงไว้นั้น มีการกระจายตัวเข้าไปในเนื้อของพอลิไพรพิลีนอย่างสม่ำเสมอทั่วทั้งชิ้นงาน ซึ่งการที่ท่อนาโนคาร์บอนเข้าไปแทรกอยู่ในเนื้อของพอลิไพรพิลีนนั้น ส่งผลให้มีคุณสมบัติทางกลดีขึ้น โดยสามารถยืนยันได้จากการทดสอบการวิเคราะห์ข้อมูลทางสถิติข้างต้น แสดงให้เห็นถึงว่าการกระจายตัวที่ดีมีผลต่อคุณสมบัติทางกลที่ดีขึ้น สาเหตุเนื่องมาจากการท่อนาโนคาร์บอนซึ่งมีลักษณะคล้ายเส้นใยที่มีความแข็งแรงสูง แทรกเข้าไปในเนื้อวัสดุพอลิไพรพิลีน โดยทำหน้าที่เป็นเสมือนสารตัวเติมชนิดเสริมแรง ส่งผลให้มีคุณสมบัติทางกลซึ่งกือค่ามอดูลัสของยัง และค่าความแข็งแรงดี ที่สูงมากขึ้น



ภาพที่ 35 ภาพจากกล้องจุลทรรศน์อิเล็กตรอนแบบส่อง粒化 ของวัสดุพสมที่กำลังขยายเท่ากับ 1000เท่าโดยที่ปริมาณท่อนาโนคาร์บอนร้อยละ 0.5 โดยนำหัวนัก



ภาพที่ 36 ภาพจากกล้องจุลทรรศน์อิเล็กตรอนแบบส่องกราด ของวัสดุผสมที่กำลังขยายเท่ากับ 1000 เท่าโดยที่ปริมาณท่อนาโนคาร์บอนร้อยละ 2.5 โดยน้ำหนัก

สรุปและข้อเสนอแนะ

สรุป

จากการศึกษางานวิจัยนี้ ในเบื้องต้นพบว่าปัจจัยที่คาดว่าจะมีผลค่าคุณสมบัติทางกล คือ ปริมาณของท่อนาโนคาร์บอนที่เติมเข้าไป อุณหภูมิพลาสติกหลอม ความเร็วจีด ความเร็วอบสกรู และ ความดันขึ้น หลังจากทราบปัจจัยที่คาดว่าจะมีผลในเบื้องต้นแล้วจึงได้ทำการทดลองนิดขึ้นรูป เพื่อปรับหาค่าที่สามารถนิดขึ้นรูปชิ้นงานทดสอบที่ไม่เกิดปัญหาชิ้นงานนิดขึ้นรูปที่สามารถมองเห็นด้วยตาเปล่า จากนั้นทำการปรับเปลี่ยนค่าเงื่อน ในการนิดตามแผนออกแบบการทดลองที่กำหนดไว้ นำชิ้นงานที่ได้ไปวัดค่าคุณสมบัติทางกลคือ ค่ามอคูลัสของยัง และค่าความแข็งแรงดึง จากนั้นนำข้อมูลจากค่าที่ได้ได้มาวิเคราะห์ด้วยการวิเคราะห์ความแปรปรวน และการวิเคราะห์ความแปรปรวนหลายตัวแปร ผลการทดลองพบว่า ปริมาณของท่อนาโนคาร์บอนที่เติมเข้าไป อุณหภูมิพลาสติกหลอม ความเร็วอบสกรู และความเร็วในการนิด มีผลอย่างมีนัยสำคัญในทางสถิติ โดยมีค่าที่เหมาะสมในการนิดขึ้นรูปดังตารางที่ 9 คือที่ปริมาณร้อยละ โดยนำหนักของท่อนาโนคาร์บอนเท่ากับ 2.5 อุณหภูมิพลาสติกหลอมเท่ากับ 220 องศาเซลเซียส ความเร็วในการนิดเท่ากับ 45 มิลลิเมตรต่อวินาที ความเร็วอบสกรูเท่ากับ 75 รอบต่อนาที และความดันขึ้นเท่ากับ 65 บาร์ จากนั้นทำการทดลองที่เงื่อน ไขดังกล่าวเพื่อยืนยันผลการทดลอง โดยทำการวิเคราะห์ผลด้วยการทดสอบที่ (t-test) หนึ่งตัวอย่าง ที่ช่วงความเชื่อมั่น (Confidence Interval: CI) เท่ากับ 95% ได้ผลการวิเคราะห์ดังตารางที่ 13

ตารางที่ 13 ผลการทดสอบยืนยันที่เงื่อน ไขการทดลองที่เหมาะสม

ตัวแปร	จำนวน ข้อมูล	ค่าเฉลี่ย	ค่าส่วนเบี่ยงเบน มาตรฐาน	SE Mean	ช่วงความเชื่อมั่นที่ 95%
ค่ามอคูลัสของยัง	5	1732.2	58.7	26.3	(1659.3, 1805.1)
ค่าความแข็งแรงดึง	5	33.98	1.571	0.703	(32.031, 35.933)

สำหรับการนำเทคนิคการวิเคราะห์ความแปรปรวนหลายตัวแปร (MANOVA) มาใช้นั้น สามารถสรุปได้ว่า ความสัมพันธ์ของตัวแปรตามทั้งสองตัว มีความสัมพันธ์กันไปในทิศทางเดียวกัน

นอกจากนี้ ผลการทดสอบคุณสมบัติทางกล แสดงให้เห็นว่าปริมาณของท่อนาโนคาร์บอนชนิดพนังหลาຍชั้น มีผลทำให้ค่ามอคูลัสของยัง และค่าความแข็งแรงดึง มีคุณสมบัติดีขึ้นเปรียบเทียบค่ามอคูลัสของยัง และค่าความแข็งแรงดึง ที่ปริมาณท่อนาโนคาร์บอนชนิดพนังหลาຍชั้นที่แตกต่างกัน พบว่า เมื่อเดินปริมาณท่อนาโนคาร์บอนในปริมาณเท่ากับร้อยละ 2.5 โดยน้ำหนัก จะทำให้ผลของค่ามอคูลัสของยัง และค่าความแข็งแรงดึง เพิ่มขึ้นเป็นร้อยละ 19.37 และ 41.58 ตามลำดับ ในขณะที่เมื่อพิจารณาอัตราส่วนความแข็งแรงดึงเทียบกับน้ำหนัก พบว่าที่ปริมาณท่อนาโนคาร์บอนในปริมาณเท่ากับร้อยละ 2.5 โดยน้ำหนักให้ค่าอัตราส่วนความแข็งแรงดึงเทียบกับน้ำหนักเพิ่มขึ้นร้อยละ 45.14 และที่ปริมาณท่อนาโนคาร์บอนในปริมาณเท่ากับร้อยละ 0.5 โดยน้ำหนัก ให้ค่าอัตราส่วนความแข็งแรงดึงเทียบกับน้ำหนักเพิ่มขึ้นร้อยละ 39.24 ดังตารางที่ 14

ตารางที่ 14 เปรียบเทียบค่ามอคูลัสของยัง ค่าความแข็งแรงดึง และอัตราส่วนความแข็งแรงดึงเทียบ กับน้ำหนักที่ปริมาณท่อนาโนคาร์บอนที่ต่างกัน

	PP/	PP/MWCNT	
	0 %wt MWCNT	0.5 %wt MWCNT	2.5 %wt MWCNT
น้ำหนักชิ้นงานทดสอบ (กรัม)	8.32	8.03 (-3.49%)	8.13 (-2.28%)
ค่ามอคูลัสของยัง (MPa)	1,451	1,624 (+11.92%)	1,732 (+19.37%)
ค่าความแข็งแรงดึง (MPa)	24.0	32.21 (+34.20%)	33.98 (+41.58%)
อัตราส่วนความแข็งแรงดึง เทียบกับน้ำหนัก (MPa/g)	2.88	4.01 (+39.24%)	4.18 (+45.14%)

ผลการศึกษาคุณสมบัติทางสัณฐานวิทยาพบว่า ที่วัสดุเชิงประกอบที่มีปริมาณท่อนาโนคาร์บอนผสมเท่ากับร้อยละ 2.5 โดยน้ำหนัก มีการกระจายตัวที่ดีกว่าที่วัสดุเชิงประกอบที่มีปริมาณท่อนาโนคาร์บอนผสมเท่ากับร้อยละ 0.5 โดยน้ำหนัก ซึ่งจากการวิเคราะห์ทางสถิติพบว่า มีคุณสมบัติทางกลที่ดีกว่าในวัสดุเชิงประกอบที่มีปริมาณท่อนาโนคาร์บอนผสมเท่ากับร้อยละ 2.5 โดยน้ำหนัก และถึงว่าการกระจายตัวที่ดีส่งผลให้มีคุณสมบัติทางกลที่ดีขึ้น

ข้อเสนอแนะ

เนื่องจากงานวิจัยฉบับนี้มีข้อจำกัดเกี่ยวกับค่าใช้จ่ายของวัตถุดิบ จึงทำให้มิได้ทดลองหาผลของปัจจัยอื่นนอกเหนือจากงานวิจัย โดยงานวิจัยนี้ใช้ข้อมูลของแต่ละปัจจัยตามที่ได้อ้างอิงไว้ในส่วนการตรวจเอกสาร ดังนั้นในการวิจัยครั้งต่อไป ควรทำการศึกษาหาผลของปัจจัยอื่นนอกเหนือจากงานวิจัยนี้ เช่น เปลี่ยนชนิดของพอลิเมอร์ หรือการเพิ่มปริมาณส่วนผสมของท่อนาในคราร์บอน รวมถึงเพิ่มระดับในการศึกษาของแต่ละปัจจัยเพิ่มเติม

นอกจากนี้จากการศึกษาและรวบรวมข้อมูลของผู้วิจัย พบว่าคุณสมบัติอิกประเกทที่มีความน่าสนใจในการศึกษาขั้นต่อไปคือ คุณสมบัติทางการนำไฟฟ้าของวัสดุเชิงประกอบพอลิโพรพิลีน ผสมท่อนาโนคาร์บอน เนื่องจากท่อนาโนคาร์บอนมีคุณสมบัติในการนำไฟฟ้าที่สูง และเมื่อนำมาใช้เป็นส่วนผสมในวัสดุพอลิเมอร์ จะทำให้วัสดุนั้นมีค่าการนำไฟฟ้าที่สูงมากขึ้น ซึ่งหากสามารถทำการวิจัยพลาสติกที่นำไฟฟ้าได้นั้น จะส่งผลให้มีคุณค่าทางการตลาดที่สูงขึ้น และยังมีประโยชน์ต่อการนำไปใช้ในทางวิศวกรรมได้มากขึ้นอีกด้วย

เอกสารและสิ่งอ้างอิง

กัลยา วนิชย์บัญชา. 2551. การวิเคราะห์ข้อมูลหลายตัวแปร. ครั้งที่ 3. บริษัท ธรรมสาร จำกัด,
กรุงเทพฯ.

ชัยน์ต์ เดลสุทแสน. 2548. การออกแบบแผนการทดลองเพื่อปรับปรุงคุณภาพในกระบวนการฉีด
พลาสติก กรณีศึกษา โรงงานฉีดพลาสติก. วิทยานิพนธ์ปริญญาโท, มหาวิทยาลัย
เกษตรศาสตร์.

ปราเมศ ชุติมา. 2545. การออกแบบการทดลองทางวิศวกรรม. พิมพ์ครั้งที่ 1. สำนักพิมพ์แห่ง
จุฬาลงกรณ์มหาวิทยาลัย, กรุงเทพฯ.

มนฑล ฉายอรุณ. 2531. ทดสอบความแข็งแรงของวัสดุ. ครั้งที่ 1. ยูไนเต็ดทีบีคัลล์, กรุงเทพฯ.

ฝ่ายโพลิเมอร์ สถาบันค้นคว้าและพัฒนาเทคโนโลยีการผลิตทางอุตสาหกรรม. 2543. การแก้ไข
ปัญหาชิ้นงานฉีดพลาสติกที่มองเห็นด้วยตาเปล่า. Industrial Technology Review 76:
84-87.

วิโรจน์ เดชะวิญญาธรรม. 2540. งานฉีดพลาสติก. บริษัทชีเอ็ดยูเคชั่น จำกัด (มหาชน), กรุงเทพฯ.

เกรียง พลต้าง. 2542. การทดลองเปรียบเทียบส่วนผสมของสารแพ็คคาร์บอนไนโตรเจนในกระบวนการ
ชุบผิวแข็งโลหะ. วิทยานิพนธ์ปริญญาโท, มหาวิทยาลัยเกษตรศาสตร์.

Bao, S.P. and S.C. Tjong. 2007. Mechanical behaviors of polypropylene/carbon nanotube
nanocomposites: The effect of loading rate and temperature. **Materials Science &
Engineering A**

Berins, M.L. 1991. **Plastics Engineering Handbook of the Society of the Plastics Industry.**
5th ed. Van Nostrand Reinhold, New York.

Chen, L., X.J. Pang and Z.L. Yu. 2007. Study on polycarbonate/multi-walled carbon nanotubes composite produced by melt processing. **Materials Science & Engineering A** (457): 287-291.

D.C. Montgomery. 2005. **Design and Analysis of Experiments**. John Wiley & Sons, Inc., New York.

Ferdinand, R., C. Claude, K.O. Christopher and A.A. Lynden. 2003. **Principle of Polymer Systems**. 5th ed. Taylor&Francis Books. New York.

Hammel, E., X. Tang, M. Trampert, T. Schmitt, K. Mauthner, A. Eder and P. Potschke. 2004. Carbon nanofibers for composite applications. **Carbon** (42): 1153-1158.

Harris, P.J.F. 1999. **Carbon Nanotubes and Related Structures**. Cambridge University Press, New York.

Jeanvons, D. 2004. **Training Course Injection Moulding Technology**. Polybridge Training LTD, UK.

Meyyappan, M. 2005. **Carbon Nanotubes Science and Applications**. CRC press. New York.

Milo, S.P.S. and K.W.S. Jan. **Carbon Nanotube/Nanofibre Polymer Composites**(n.d.). n.p.

Moncy, J., T. James and D. Derrick. (n.d.). **Polymer/ Carbon Nanotube Nanocomposite Fibers: Process-Morphology-property Relationships**. 19

Olson, C.L. 1976. On Choosing a Test Statistic in Multivariate Analysis of Variance. **Psychological Bulletin** (83): 579-586.

Rodney, S.R. and C.L. Donald. 1995. **Mechanical and Thermal Properties of Carbon Nanotubes.** Carbon (33): 925-930.

Sandler, J., G. Broza, M. Nolte, K. Schulte, Y.-M. Lam and M.S.P. Shaffer. 2003.

Crystallization of Carbon Nanotube and Nanofiber Polypropylene Composites. **Journal of Macromolecular Science (B42):** 479-488.

Satish, K., D. Harit, S. Mohan, O.P. Jung and A.S. David. 2002. **Fibers from polypropylene /nano carbon fiber composites.** Polymer (43):1701-1703.

Seo, M.K. and S.J. Park. 2004. Electrical resistivity and rheological behavious of carbon nanotubes-filled polypropylene composites. **Chemical Physics Letters (395):** 44-48.

Singjai, P., S. Changsarn and S. Thongtem. 2007. Electrical resistivity of bulk multi-walled carbon nanotubes systhesized by an infusion chemical vapor deposition method. **Materials Science & Engineering A (443):** 42-46.

Villmow, T., S. Pegel, P. Potschke and U. Wagenknecht. 2008. Influence of injection molding parameters on the electrical resistivity of polycarbonate filled with multi-walled carbon nanotubes. **Composites Science and Technology (68):** 777-789.

Zhang, H., and Z. Zhang. 2007. Impact behaviour of polypropylene filled with multi-walled carbon nanotubes. **European Polymer Journal (43):** 3197-3207.

Zhao, P., K. Wang, H. Yang, Q. Zhang, R. Du and Q. Fu. 2007. Excellent tensile ductility in highly oriented injection-molded bars of polypropylene/carbon nanotubes composites. **Polymer (48):** 5688-5695.

ภาคผนวก

ภาคผนวก ก

รายละเอียดทั่วไปของเครื่องนีดพลาสติกรุ่น BA 250/50 CDC

1. รายละเอียดทั่วไปของเครื่องฉีดพลาสติกรุ่น BA 250/50 CDC

เครื่องฉีดพลาสติกรุ่น BA 250/50 CDC เป็นเครื่องฉีดพลาสติกของบริษัท Battenfeld Austria ใช้ระบบ ควบคุมการปิดเปิดของแม่พิมพ์ และควบคุมการทำงานด้วย control unit รุ่น UNILOG 4000 เพื่อเพิ่มประสิทธิภาพในการทำงานให้สูงขึ้น

1.1 ระบบ injection

ตารางผนวกที่ ก1 คุณสมบัติของชุดฉีดของเครื่องฉีดพลาสติกรุ่น BA250/50 CDC

คุณสมบัติ	ค่า			
1. ขนาดเส้นผ่านศูนย์กลางของสกรูฉีด (Screw diameter), mm	18	22	25	
2. ความดันฉีดจำเพาะ (Specific injection pressure), bar	2224	1488	1153	
3. น้ำหนักของชิ้นงานที่สามารถฉีดได้ (Max shot weight), g				
- polystyrene	20.4	30.4	39.3	
- polyethylene	15.9	23.7	30.6	
4. อัตราส่วนของเกลียวหนอน (L/D ratio of screw)	19.6	16	14.1	
5. ระยะหัวฉีด (Nozzle path), mm		150		
6. แรงดันในหัวฉีด (Nozzle pressure force), kN		88		
7. ความจุความร้อนของกระบอกฉีด (Cylinder heating capacity), kW		3.16		

1.2 ระบบ mold clamping

ตารางผนวกที่ ก2 คุณสมบัติของชุดเปิดปิดแม่พิมพ์ของเครื่องฉีดพลาสติกรุ่น BA250/50 CDC

คุณสมบัติ	ค่า
1. แรงในการปิดล็อกแม่พิมพ์ (Clamping force), kN	400
2. ระยะห่างระหว่างเพลาน้ำเลื่อน (Distance between tie bar), mm	270
3. ขนาดของแผ่นแม่พิมพ์ (Size of mold plate), mm	440×440
4. ความสูงต่ำสุดของแม่พิมพ์ (Min. mold height), mm	125
5. ระยะในการเปิดแม่พิมพ์ (Opening stroke), mm	325
6. แรงของชุดปลดชิ้นงาน (Ejector force), kN	17.6
7. ระยะเดือนของชุดปลดชิ้นงาน (Ejector stroke), mm	100



ภาพผนวกที่ ก1 เครื่องฉีดพลาสติกรุ่น BA 250/50 CDC

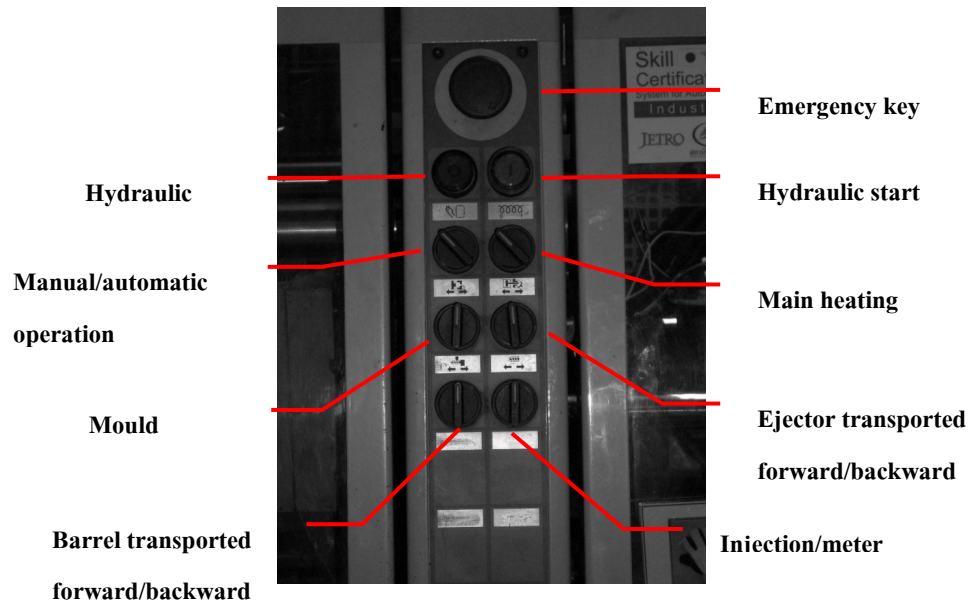
ที่มา: สถาบันศึกษาและพัฒนาเทคโนโลยีการผลิตทางอุตสาหกรรม (RDiPT)

2. การควบคุมเครื่องฉีดพลาสติกเบื้องต้น

เครื่องฉีดพลาสติกรุ่น BA 250/50 CDC ควบคุมการทำงานด้วย control unit รุ่น UNILOG 4000 ซึ่งมีส่วนประกอบที่สำคัญต่อการควบคุมเครื่องฉีดดังนี้

2.1 ปุ่มกดควบคุมการทำงาน (Manual operating button) ประกอบด้วย

- ปุ่มหยุดฉุกเฉิน (Emergency key)
- ปุ่มเปิด/ปิดระบบไฮดรอลิก (Hydraulic start/stop key)
- สวิตช์เปิดปิดชีตเตอร์ (Main heating switch on/off)
- ปุ่มกดควบคุมการทำงานต่างๆ ในการฉีดพลาสติก เช่น เลื่อนแม่พิมพ์ เลื่อนหัวฉีด เป็นต้น

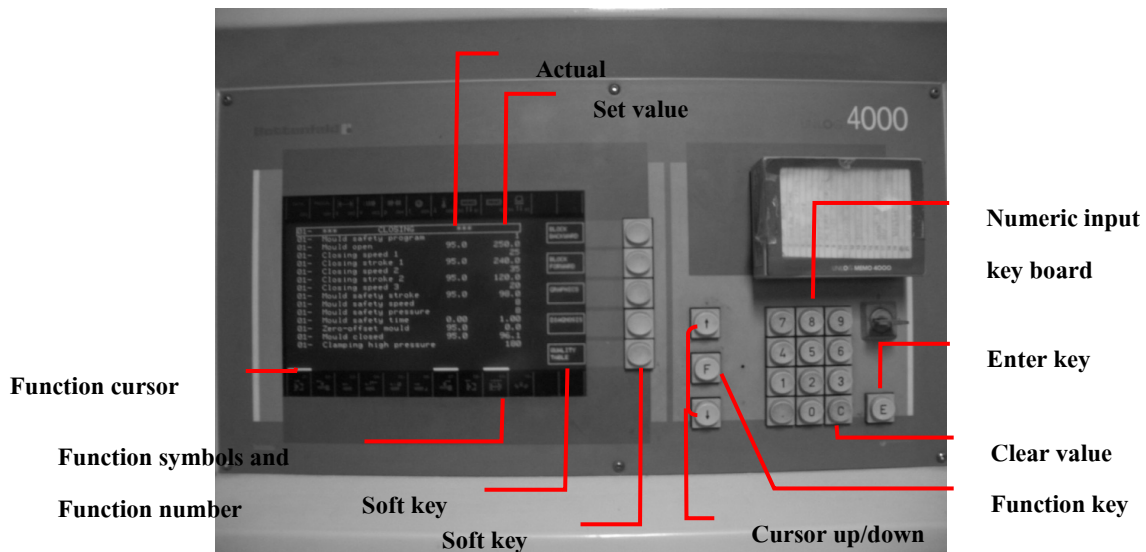


ภาพผนวกที่ ก2 ส่วนประกอบต่างๆ ของปุ่มกดควบคุมการทำงาน

ที่มา: สถาบันค้นคว้าและพัฒนาเทคโนโลยีการผลิตทางอุตสาหกรรม (RDIPT)

2.2 คอมพิวเตอร์สำหรับควบคุมการทำงาน (Control monitor and control panel)

มีไว้สำหรับตั้งค่าและกำหนดพารามิเตอร์ต่างๆ ให้กับเครื่องฉีด



ภาพผนวกที่ ก3 ส่วนประกอบต่างๆ ของคอมพิวเตอร์สำหรับควบคุมการทำงาน
ที่มา: สถาบันศึกษาและพัฒนาเทคโนโลยีการผลิตทางอุตสาหกรรม (RDIPT)

2.2.1 F00-1 PROGRAMS



ภาพหน้าจอที่ ก4 หน้าจอที่ใช้สำหรับตั้งค่าพารามิเตอร์ F00-1

ที่มา: สถาบันศึกษาและพัฒนาเทคโนโลยีการผลิตทางอุตสาหกรรม (RDiPT)

ก. Operating mode 0-1-2-3 ใช้ควบคุมระบบการทำงานอัตโนมัติของเครื่องฉีดพลาสติก โดยสามารถตั้งได้ 4 แบบดังนี้

- 0 หมายถึงปิดระบบการทำงานอัตโนมัติ
- 1 หมายถึงระบบกึ่งอัตโนมัติ 1 คือการกำหนดให้เครื่องฉีดพลาสติกโดยอัตโนมัติจัดการหนึ่งชิ้อต แต่จะไม่ฉีดชิ้อตที่สองต่อ จนกว่าจะสั่งเริ่มการฉีดชิ้อตต่อไป (ด้วยการเลื่อน mold)
- 2 หมายถึงระบบกึ่งอัตโนมัติ 2 จะเหมือนกับ 1 แต่ต่างกันตรงที่ว่าเครื่องจะไม่เลื่อน ejector pin เข้ามาเก็บ ซึ่งมีประโยชน์คือชิ้นงานอาจจะหายไปเมื่อ ejector pin ทำให้สามารถหยับชิ้นงานมาตรวจสอบได้ง่ายขึ้น
- 3 หมายถึงระบบอัตโนมัติ คือการกำหนดให้เครื่องดำเนินกระบวนการฉีดพลาสติกต่อเนื่องไปเรื่อยๆ โดยไม่หยุดจนกว่าจะสั่งหยุดหรือเกิดปัญหาขึ้น

2.2.2 F00-6 TEMPERATURE

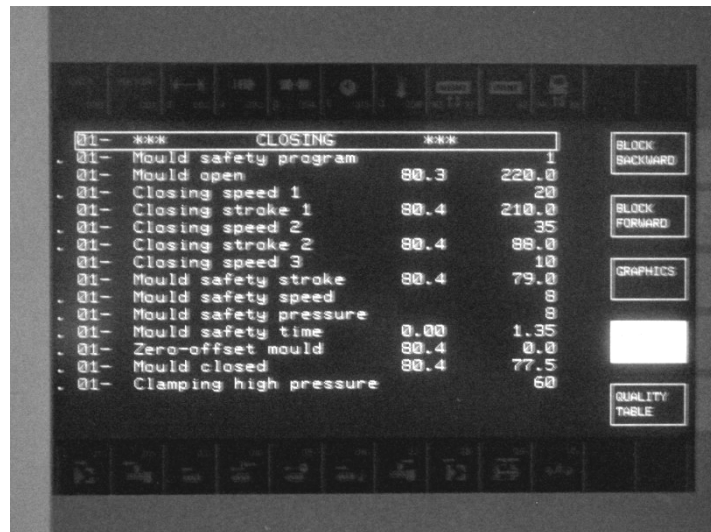
00-6 *** TEMPERATURES IN "CEL" ***			
00-6 Nozzle - temp.(0) CEL	53	190	BLOCK BACKWARD
00-6 Zone 1 - temp.(1) CEL	61	195	BLOCK FORWARD
00-6 Zone 2 - temp.(2) CEL	61	190	GRAPHICS
00-6 Zone 3 - temp.(3) CEL	55	185	ALARM !
00-6 "+" Tolerance cyl.CEL		20	QUALITY TABLE
00-6 "-" Tolerance cyl.CEL		20	
00-6 Lowering temp. cyl.CEL		150	
00-6			
00-6 Temperature lowering manual		0	
00-6 Motor stop + heating off		0	
00-6 Motor stop + temp.lowering		0	
00-6 Temp.lowering delay	0.00	300.00	
00-6 *** TEMP. CONTROL UNITS ***			
00-6 Temperature control units 0-1		0	
00-6 Unit 1 - temp. CEL	409	0	
00-6 Unit 2 - temp. CEL	409	0	

ภาพหน้าจอที่ใช้สำหรับตั้งค่าพารามิเตอร์ F00-6

ที่มา: สถาบันค้นคว้าและพัฒนาเทคโนโลยีการผลิตทางอุตสาหกรรม (RDIPT)

- ก. Nozzle – temp. (0) CEL ควบคุมอุณหภูมิที่หัวฉีด (Nozzle)
- ข. Nozzle – temp. (1) CEL ควบคุมอุณหภูมิในช่วงวัดปริมาตร (Metering zone)
- ค. Nozzle – temp. (2) CEL ควบคุมอุณหภูมิในช่วงอัด (Compression zone)
- จ. Nozzle – temp. (3) CEL ควบคุมอุณหภูมิในช่วงป้อน (Feed zone)
- ฉ. "+" Tolerance cyl.CEL ควบคุมอุณหภูมิสูงสุดที่อนุญาต โดยหากอุณหภูมิจริง (actual value) ในส่วนใดๆ ของเครื่องฉีด มีค่ามากกว่าผลลัพธ์ของค่าที่ตั้งไว้ (Set value) ในส่วนนั้นๆ เครื่องฉีดจะหยุดทำงาน
- ฉ. "-" Tolerance cyl.CEL ควบคุมอุณหภูมิต่ำสุดที่อนุญาต โดยหากอุณหภูมิจริง (actual value) ในส่วนใดๆ ของเครื่องฉีด มีค่าต่ำกว่าผลลัพธ์ของค่าที่ตั้งไว้ (Set value) ในส่วนนั้นๆ กับค่านี้ เครื่องฉีดจะหยุดทำงาน
- ช. Oil – hydr. (4) CEL อุณหภูมิของน้ำมันไฮดรอลิก ต้องมากกว่า 40 องศาเซลเซียส ไปเครื่องฉีดจะเริ่มทำงานได้

2.2.3 F01 CLOSING



ภาพพนักที่ ก6 หน้าจอที่ใช้สำหรับตั้งค่าพารามิเตอร์ F01

ที่มา: สถาบันศึกษาและพัฒนาเทคโนโลยีการผลิตทางอุตสาหกรรม (RDiPT)

ก. Mould safety program เปิดปีดระบบป้องกันแม่พิมพ์ โดย 0 คือปิด และ 1 คือเปิด หากเปิดโปรแกรมแล้วแม่พิมพ์เลื่อนจากตำแหน่ง Mould safety stroke ที่กำหนดไว้ไปยังตำแหน่ง mould closed ไม่ทันภายในเวลาที่กำหนด (Mould safety time) แม่พิมพ์จะเปิดออกเพื่อป้องกันความเสียหายที่อาจเกิดขึ้นจากการตั้งค่า Stroke หรือ Speed ไม่เหมาะสม หรือมีวัตถุติดค้างอยู่ในแม่พิมพ์

ข. Mould open ควบคุมระยะปีดแม่พิมพ์ ซึ่งจำเป็นต้องตั้งให้เหมาะสม หากมากเกินไปก็จะเสียเวลาในการฉีดขึ้นงานหนึ่งชั้งมากกว่าที่ควร หากน้อยเกินไปก็อาจทำให้ขึ้นงานติดค้างอยู่ในแม่พิมพ์ เพราะระยะปีดไม่เพียงพอ โดยปกติแล้วสามารถคำนวณระยะคร่าวๆ ได้โดยนำความหนาของขึ้นงาน (ในแนวแม่พิมพ์เลื่อนเข้าออก) คูณสองบวกด้วยความยาวของรายน้ำดี (sprue)

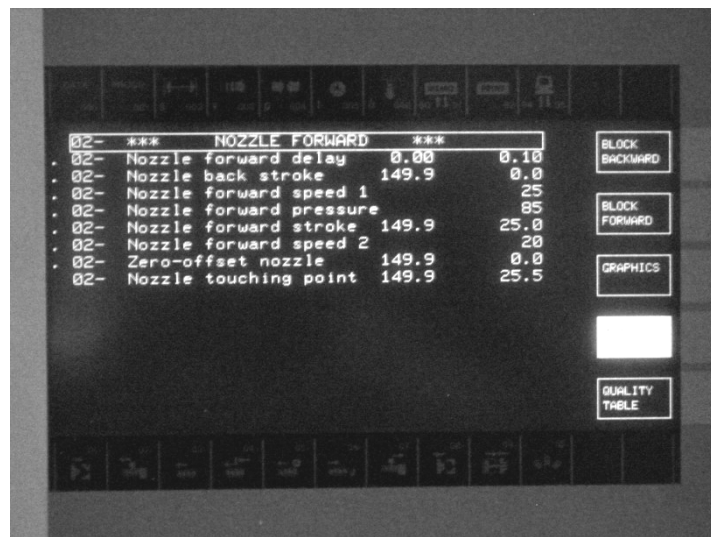
ค. Closing speed 1 ควบคุมความเร็วในการปิดแม่พิมพ์ระหว่างตำแหน่ง Mould open ไปถึงตำแหน่ง Closing stroke 1

ง. Closing stroke 1 ระยะปีดแม่พิมพ์ระยะที่ 1

จ. Closing speed 2 ควบคุมความเร็วในการปิดแม่พิมพ์ระหว่างตำแหน่ง Closing stroke 1 ไปถึงตำแหน่ง Closing stroke 2

- ฉ. Closing stroke 2 ระยะปิดแม่พิมพ์ระยะที่ 2 โดยปกติแล้วจะตั้งค่าให้ระยะนี้เป็นตำแหน่งที่สลักนำเลื่อน (Guide pin) เริ่มสอดเข้าไปในรูปลอกนำเลื่อน (Guide bush)
- ช. Closing speed 3 ควบคุมความเร็วในการปิดแม่พิมพ์ระหว่างตำแหน่ง Closing stroke 2 ไปถึงตำแหน่ง Mould safety stroke
- ช. Mould safety stroke ระยะป้องกันแม่พิมพ์
- ฌ. Mould safety speed ควบคุมความเร็วในการปิดแม่พิมพ์ระหว่างตำแหน่ง Mould safety stroke ไปถึงตำแหน่ง Mould closed
- ญ. Mould safety pressure แรงดันในการป้องกันแม่พิมพ์
- ฎ. Mould safety time ตั้งค่าเวลาที่ใช้ในการป้องกันแม่พิมพ์ระหว่างที่แม่พิมพ์เดื่อนจากตำแหน่ง Mould safety stroke ไปถึงตำแหน่ง Mould closed หากตั้งโปรแกรมป้องกันแม่พิมพ์ไว้และแม่พิมพ์เดื่อนจากตำแหน่ง Mould safety stroke ไปถึงตำแหน่ง Mould closed ไม่ทันภายในเวลาที่ตั้งไว้นี้ แม่พิมพ์จะเบิดออกเพื่อป้องกันความเสียหาย
- ฏ. Zero-offset mould กำหนดจุดอ้างอิงสัมพัทธ์ (Relative reference) โดยเทียบกับจุดอ้างอิงปักติหรือจุดอ้างอิงสมบูรณ์ (Absolute reference) เพื่อความสะดวกในการทำงาน แต่โดยปกติแล้วไม่จำเป็นต้องใช้
- ฐ. Mould closed ระยะแม่พิมพ์ปิด การตั้งค่านี้ต้องเลื่อนแม่พิมพ์มาปิดให้สนิทก่อนแล้วจึงค่อยตั้งค่าโดยนำค่าจาริงที่ย่านได้มาบวกหนึ่ง หากไม่ตั้งค่านี้ให้เสร็จเรียบร้อยก่อนจะไม่สามารถปิดแม่พิมพ์ด้วยแรงดันสูงได้ (High pressure)
- ท. Clamping high pressure แรงดันสูงสุดที่ใช้ในการปิดแม่พิมพ์ โดยทั่วไปการตั้งค่านี้จะขึ้นอยู่กับขนาดแม่พิมพ์ โดยหากเป็นแม่พิมพ์ขนาดเล็กก็จะใช้แรงดันน้อยกว่าแม่พิมพ์ขนาดใหญ่ อย่างไรก็ตามหากตั้งค่านี้น้อยเกินไปอาจเกิดครีบ (Flash) ในชิ้นงานได้เนื่องจากแรงดันของน้ำพลาสติกสามารถเอาชนะแรงดันในการปิดแม่พิมพ์

2.2.4 F02 NOZZLE FORWARD



ภาพพนักที่ ก7 หน้าจอที่ใช้สำหรับตั้งค่าพารามิเตอร์ F02

ที่มา: สถาบันศึกษาและพัฒนาเทคโนโลยีการผลิตทางอุตสาหกรรม (RDiPT)

ก. Nozzle forward delay ระยะเวลาที่หน่วงหัวฉีดค้างไว้ หลังจากแม่พิมพ์ปิดหัวฉีดจะยังไม่เคลื่อนที่ไปจนกว่าจะครบกำหนดเวลาที่ได้ตั้งไว้นี้ แล้วจึงค่อยเลื่อนไปข้างหน้าเพื่อทำการฉีด

ข. Nozzle back stroke ระยะถอยหลังสุดของหัวฉีด

ค. Nozzle forward speed 1 ความเร็วในการเคลื่อนที่เข้าของหัวฉีดระหว่างตำแหน่ง Nozzle back stroke จนถึงตำแหน่ง Nozzle forward stroke

จ. Nozzle forward pressure ความดันในการเลื่อนหัวฉีดเข้า

ช. Nozzle forward stroke ระยะเดือนเข้าของหัวฉีดระยะที่ 1

ฉ. Nozzle forward speed 2 ความเร็วในการเคลื่อนที่เข้าของหัวฉีดระหว่างตำแหน่ง nozzle forward stroke จนถึงตำแหน่ง Nozzle touching point

ช. Zero-offset nozzle กำหนดจุดอ้างอิงสัมพัทธ์ (Relative reference) โดยเทียบกับจุดอ้างอิงปกติหรือจุดอ้างอิงสมบูรณ์ (Absolute reference) เพื่อความสะดวกในการทำงานแต่โดยปกติแล้วไม่จำเป็นต้องใช้

ช. Nozzle touching point ระยะที่หัวฉีดติดกับแม่พิมพ์ การตั้งค่านี้ต้องเลื่อนหัวฉีดมาสัมผัสกับแม่พิมพ์ให้สนิทก่อนแล้วจึงค่อยตั้งค่าโดยนำค่าจริงที่อ่านได้มาบวกหนึ่ง หากไม่ตั้งค่านี้ให้เสร็จเรียบร้อยก่อนจะไม่สามารถฉีดพลาสติกได้ (เครื่องฉีดจะถูก)

2.2.5 F03 INJECTION



ภาพหน้าจอที่ ก8 หน้าจอที่ใช้สำหรับตั้งค่าพารามิเตอร์ F03

ที่มา: สถาบันศึกษาและพัฒนาเทคโนโลยีการผลิตทางอุตสาหกรรม (RDIPT)

ก. Injection delay ระยะเวลาที่หน่วงไว้ก่อนการฉีด หลังจากหัวฉีดเลื่อนมาสนิทกับแม่พิมพ์แล้วจะขังไม่ทำการฉีดจนกว่าจะครบกำหนดเวลาที่ได้ตั้งไว้นี้

ข. Max. injection pressure แรงดันสูงสุดที่ใช้ในการฉีด ขึ้นอยู่กับปัจจัยหลายอย่าง เช่น ความหนืดของพลาสติก ซึ่งหากพลาสติกมีความหนืดมากก็อาจต้องใช้แรงดันมากขึ้นในการเอาชนะความหนืดนี้ อย่างไรก็ตามความหนืดของพลาสติกเป็นคุณสมบัติที่แปรผันต่ออุณหภูมิ (อุณหภูมิมากความหนืดน้อย) อีกปัจจัยหนึ่งคือลักษณะของหลุมแบบ (Cavity) และทางวิ่งของน้ำพลาสติก (Runner) หากพลาสติกสามารถไหลเข้าไปเติมเต็มในแม่พิมพ์ได้ยากก็อาจต้องใช้แรงดันมากขึ้นเพื่อช่วยในการไหลของน้ำพลาสติก อย่างไรก็ตามหากแรงดันมากเกินไปจะทำให้เกิดครีบ (flash) ในชิ้นงาน แต่หากแรงดันน้อยเกินไปจะทำให้เกิดปัญหาชิ้นงานไม่เต็ม (short shot)

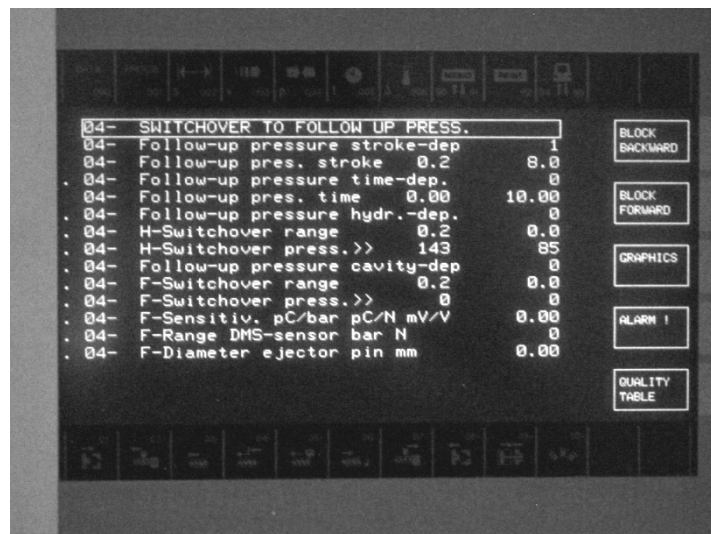
ค. Decompression stroke 2 ระยะทางที่สกรูดึงกลับ

๔. Metering stroke ปริมาณพลาสติกที่จะฉีดในครั้งนั้น เป็นพารามิเตอร์ที่สำคัญในการฉีดพลาสติก เพราะหากปริมาณพลาสติกที่ฉีดเข้าไปในแม่พิมพ์ไม่เพียงพออาจทำให้เกิดปัญหาชิ้นงานไม่เต็ม (Short shot) ได้ นอกรากนี้ค่าจริง (Actual value) ที่อ่านได้จากพารามิเตอร์นี้มีความสำคัญมาก ซึ่งต้องสังเกตมากเป็นพิเศษ เพราะสามารถบอกได้ว่ากระบวนการฉีดในขบวนนั้นๆ โดยหากในจังหวะสุดท้ายของการฉีดค่าที่อ่านได้นี้มีค่าศูนย์ถึงติดลบแสดงว่าปริมาณพลาสติกไม่เพียงพออาจทำให้เกิดปัญหาชิ้นงานไม่เต็มได้ แต่หากค่าที่อ่านได้นี้มากเกินไปแสดงว่าฉีดน้ำพลาสติกไม่เข้าแม่พิมพ์ ซึ่งอาจเป็นผลการตั้งค่าไม่เหมาะสม (เช่น ปริมาณพลาสติก酵素เกินไป หรืออุณหภูมิและความดันไม่เพียงพอทำให้น้ำพลาสติกไหลเข้าแม่พิมพ์ได้ยาก) และอาจทำให้เกิดปัญหาตามมาได้ โดยปกติแล้วค่าที่อ่านได้จากจังหวะสุดท้ายของการฉีดนี้ควรมีเหลือเล็กน้อยโดยไม่ลดจนถึงศูนย์หรือมากเกินไปเพื่อเป็นระเบกันกระแทก (Cushion)

- ๑. Injection speed 1 ความเร็วในการฉีดระยะที่ 1
- ๒. Injection stroke 1 ระยะในการฉีดระยะที่ 1
- ๓. Injection speed 2 ความเร็วในการฉีดระยะที่ 2
- ๔. Injection stroke 2 ระยะในการฉีดระยะที่ 2
- ๕. Injection speed 3 ความเร็วในการฉีดระยะที่ 3
- ๖. Injection stroke 3 ระยะในการฉีดระยะที่ 3
- ๗. Injection speed 4 ความเร็วในการฉีดระยะที่ 4
- ๘. Injection stroke 4 ระยะในการฉีดระยะที่ 4
- ๙. Injection speed 5 ความเร็วในการฉีดระยะที่ 5

โดยทั่วไปแล้วการกำหนดระยะและความเร็วในการฉีดจะมีกี่ระยะและมีความเร็วแต่ละระยะมากน้อยแค่ไหนจะขึ้นอยู่กับลักษณะของชิ้นงาน, ทางวิ่งของน้ำพลาสติก (Runner) และกรวยน้ำฉีด (Sprue) และมักจะกำหนดให้มีความเร็วช่วงแรกช้า ช่วงกลางเร็ว และช่วงสุดท้ายช้า

2.2.6 F04 SWITCHOVER TO FOLLOW UP PRESS.



ภาพหน้าจอที่ ก9 หน้าจอที่ใช้สำหรับตั้งค่าพารามิเตอร์ F04

ที่มา: สถาบันศึกษาและพัฒนาเทคโนโลยีการผลิตทางอุตสาหกรรม (RDiPT)

ก. Follow-up pressure stroke-dep เป็นตัวกำหนดให้ใช้แรงดันขึ้น (Follow up pressure) แบบกำหนดด้วย stroke โดย 0 คือไม่ใช้ และ 1 คือใช้แรงดันขึ้นแบบกำหนดด้วย Stroke

ข. Follow-up pres. stroke ควบคุมตำแหน่งของ Stroke ที่จะใส่ความดันขึ้นเข้าไป โดยจะดูจากค่าจริง (Actual value) ของ Metering stroke หากมีค่าเท่ากับค่าที่ตั้งไว้ในพารามิเตอร์นี้ให้เริ่มต้นใส่ความดันขึ้นเข้าไป ซึ่งหากเครื่องฉีดน้ำพลาสติกเข้าไปได้ไม่ถึงค่า Stroke ที่ตั้งไว้นี้ เครื่องฉีดจะหยุดทำงาน

ค. Follow-up pressure time-dep เป็นตัวกำหนดให้ใช้แรงดันขึ้น (Follow up pressure) แบบกำหนดด้วยเวลา โดย 0 คือไม่ใช้ และ 1 คือใช้แรงดันขึ้นแบบกำหนดด้วยเวลา

ง. Follow-up pressure time ควบคุมเวลาที่จะใส่ความดันขึ้นเข้าไป โดยจะเริ่มนับตั้งแต่เริ่มต้นกระบวนการ หากถึงเวลาที่ตั้งไว้ก็จะใส่ความดันขึ้นเข้าไปทันที โดยไม่สนใจว่า เครื่องจะฉีดน้ำพลาสติกเข้าไปในแม่พิมพ์ได้ตามความต้องการหรือไม่

สามารถเลือกใช้ฟังก์ชัน Follow-up pressure stroke-dep หรือ Follow-up pressure time-dep ได้ทีละอย่างเท่านั้น โดยหากใส่ค่า 1 ไปที่ตัวไดตัวหนึ่ง อีกตัวหนึ่งจะกลายเป็น 0 ทันที

2.2.7 F05 FOLLOW-UP PRESSURE

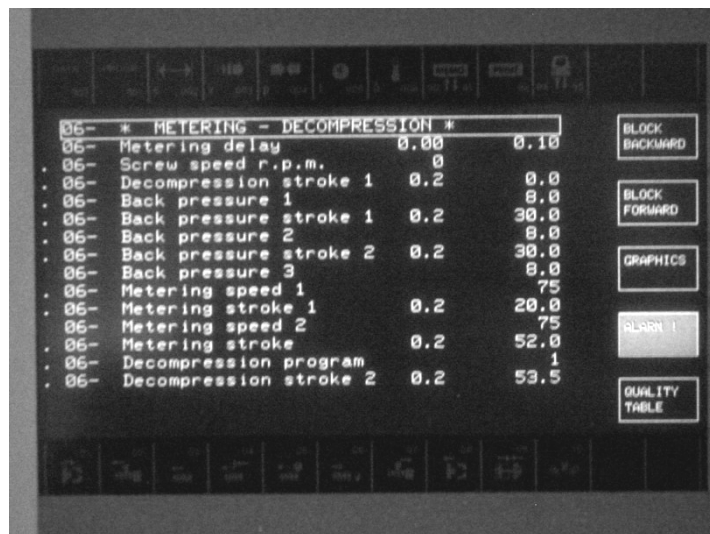


ภาพพนักที่ ก10 หน้าจอที่ใช้สำหรับตั้งค่าพารามิเตอร์ F05

ที่มา: สถาบันศึกษาและพัฒนาเทคโนโลยีการผลิตทางอุตสาหกรรม (RDiPT)

- ก. Follow-up pressure 1 แรงดันย้ำในช่วงเวลาที่ 1
- ข. Follow-up press. 1 time ระยะเวลาที่ใช้แรงดันย้ำช่วงที่ 1
- ค. Follow-up pressure 2 แรงดันย้ำในช่วงเวลาที่ 2
- จ. Follow-up press. 2 time ระยะเวลาที่ใช้แรงดันย้ำช่วงที่ 21
- ก. Follow-up pressure 3 แรงดันย้ำในช่วงเวลาที่ 3
- ข. Follow-up press. 3 time ระยะเวลาที่ใช้แรงดันย้ำช่วงที่ 3
- ค. Follow-up pressure 4 แรงดันย้ำในช่วงเวลาที่ 4
- จ. Follow-up press. 4 time ระยะเวลาที่ใช้แรงดันย้ำช่วงที่ 4
- ก. Follow-up pressure 5 แรงดันย้ำในช่วงเวลาที่ 5
- ข. Follow-up press. 5 time ระยะเวลาที่ใช้แรงดันย้ำช่วงที่ 5
- ฉ. Cooling time ระยะเวลาในการหล่อเย็น หลังจากอัดความดันย้ำเสร็จแล้ว
แม่พิมพ์จะขังไม่เปิดโดยทันที โดยจะเริ่มนับตั้งแต่ Follow-up pressure ช่วงสุดท้าย หลังจากหมด
ช่วง cooling time แล้วแม่พิมพ์จะเริ่มเปิดออก จะสังเกตได้ว่าเวลาหล่อเย็นจะเริ่มนับพร้อมกับการ
ถอยกลับของสกรู

2.2.8 F06 METERING - DECOMPRESSION



ภาพพนักที่ ก11 หน้าจอที่ใช้สำหรับตั้งค่าพารามิเตอร์ F06

ที่มา: สถาบันศึกษาและพัฒนาเทคโนโลยีการผลิตทางอุตสาหกรรม (RDiPT)

ก. Metering delay เวลาหน่วงในการถอยกลับของสกรู โดยจะเริ่มนับหลังจาก หมดช่วงความดันขึ้น (Follow-up pressure) ช่วงสุดท้ายแล้ว สกรูจะยังไม่ถอยกลับทันทีจนกว่าจะ หมดช่วงเวลาที่ได้ตั้งค่าไว้ แล้วจึงเริ่มถอยกลับ จะสังเกตได้ว่าเวลาหน่วงในการถอยกลับของสกรู จะเริ่มนับพร้อมกับเวลาหล่อเย็น (Cooling time)

ข. Screw speed r.p.m. ความเร็วในการหมุนของสกรู

ค. Decompression stroke 1 ระยะที่สกรูถอยกลับระยะที่ 1 ซึ่งจะเริ่มทำงาน ทันทีเมื่อหมดช่วง Metering delay ในกรณีที่ใส่ค่าเป็น 0 เครื่องนีดจะใช้ค่าจริง (Actual value) ของ Metering stroke เป็น Decompression stroke 1

ก. Back pressure 1 ควบคุมแรงดันต้านการถอยกลับของสกรูระยะที่ 1

ข. Back pressure stroke 1 ระยะต้านการถอยกลับของสกรูระยะที่ 1

ค. Back pressure 2 ควบคุมแรงดันต้านการถอยกลับของสกรูระยะที่ 2

ง. Back pressure stroke 2 ระยะต้านการถอยกลับของสกรูระยะที่ 2

จ. Back pressure 3 ควบคุมแรงดันต้านการถอยกลับของสกรูระยะที่ 3

ฉ. Metering speed 1 ควบคุมความเร็วในการถอยกลับของสกรูตั้งแต่ Decompression stroke 1 จนถึง Metering stroke 1

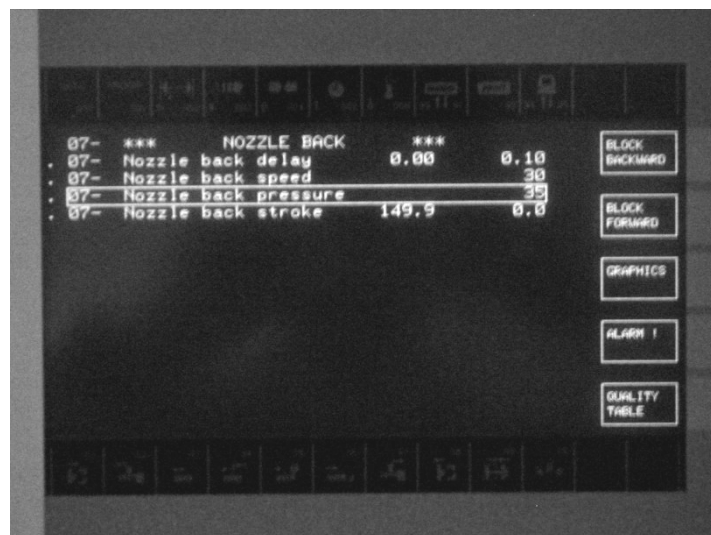
ญ. Metering stroke 1 ระยะสกูดอยเพื่อป้อนพลาสติกระยะที่ 1

ฎ. Metering speed 2 ควบคุมความเร็วในการถอยกลับของสกูดตั้งแต่ Metering stroke 1 จนถึง Metering stroke

ฎ. Metering stroke ระยะสกูดอยเพื่อป้อนพลาสติกสูงสุด ซึ่งระยะนี้จะแสดงถึงปริมาณของพลาสติกที่ถูกเติมเข้าไปในท่อฉีดที่แท้จริง โดยค่าที่จะเป็นค่าเดียวกับฟังก์ชัน F03

ฐ. Decompression stroke 2 ระยะที่สกูดอยกลับสูงสุด โดยค่าที่จะเป็นค่าเดียวกับ F03

2.2.9 F07 NOZZLE BACK



ภาพหน้าจอที่ ก12 หน้าจอที่ใช้สำหรับตั้งค่าพารามิเตอร์ F07

ที่มา: สถาบันศึกษาและพัฒนาเทคโนโลยีการผลิตทางอุตสาหกรรม (RDIPT)

ก. Nozzle back delay ระยะหน่วงก่อนถอยหัวฉีดกลับ โดยจะเริ่มนับเมื่อหมดความดันขึ้น (Follow-up pressure) ระยะสุดท้าย โดยหัวฉีดจะยังคงถูกอัดอยู่กับแม่พิมพ์จนกว่าเวลาที่ตั้งไว้จะหมดลงคือถ้าเลื่อนถอยหลังออกจากแม่พิมพ์

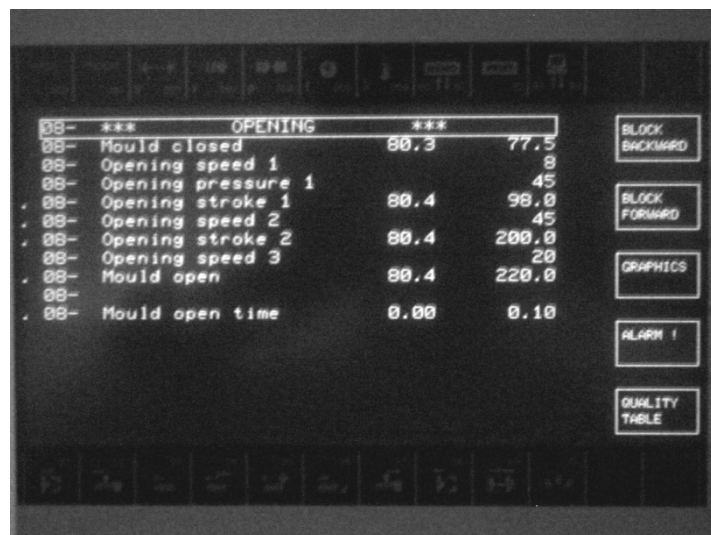
ข. Nozzle back speed ความเร็วในการถอยกลับของหัวฉีด

ค. Nozzle back pressure แรงดันในการถอยกลับของหัวฉีด

ง. Nozzle back stroke ระยะในการถอยกลับของหัวฉีด โดยค่าที่จะเป็นค่าเดียวกับ F02 ในกรณีที่ไม่ต้องการให้หัวฉีดถอยกลับให้ตั้งค่าเป็น 0 โดยปกติแล้วจะให้หัวฉีดถอย

กลับกีต่อเมื่อต้องการให้หัวฉีดแยกออกจากฐานฉีด (Sprue bush) ของแม่พิมพ์ เพื่อป้องกันการถ่ายเทความร้อนจากหัวฉีดซึ่งร้อนให้แก่แม่พิมพ์ที่เย็นกว่า ซึ่งจะทำให้เกิดปัญหาพลาสติกในหัวฉีดแข็งตัว (Cold slug) ทำให้ฉีดไม่ได้ ส่วนอีกรูปีที่ไม่พบบ่อยนักคือใช้การถอยกลับของหัวฉีดร่วมกับแหวนกับกลับ (Non-return ring)

2.2.10 F08 OPENING



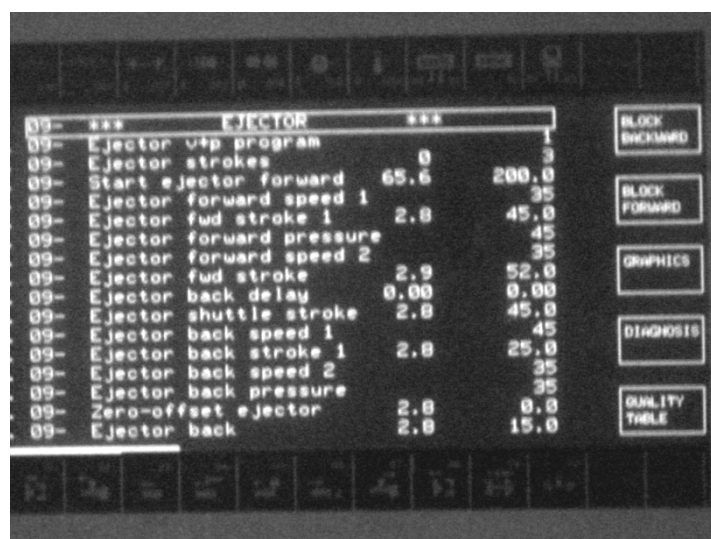
ภาพหน้าจอที่ ก13 หน้าจอที่ใช้สำหรับตั้งค่าพารามิเตอร์ F08

ที่มา: สถาบันค้นคว้าและพัฒนาเทคโนโลยีการผลิตทางอุตสาหกรรม (RDIPT)

- ก. Mould closed ระยะแม่พิมพ์ปิด โดยจะเป็นระยะเดียวกับ F01
- ข. Opening speed 1 ควบคุมความเร็วในการเปิดแม่พิมพ์ตั้งแต่ระยะ Mould closed จนถึง Opening stroke 1
- ค. Opening pressure 1 ควบคุมแรงดันในการเปิดแม่พิมพ์
- ง. Opening stroke 1 ระยะเปิดแม่พิมพ์ระยะที่ 1
- จ. Opening speed 2 ควบคุมความเร็วในการเปิดแม่พิมพ์ตั้งแต่ระยะ Opening stroke 1 จนถึง Opening stroke 2
- ฉ. Opening stroke 2 ระยะเปิดแม่พิมพ์ระยะที่ 2
- ช. Opening speed 3 ควบคุมความเร็วในการเปิดแม่พิมพ์ตั้งแต่ระยะ Opening stroke 2 จนถึง Mould open

- ช. Mould open ระยะแม่พิมพ์เปิด โดยจะเป็นระยะเดียวกับ F01
 ฉ. Mould open time ระยะเวลาในการเปิดแม่พิมพ์ค้างไว้ ก่อนจะเริ่มต้น
 นีดช็อตต่อไป โดยจะเริ่มนับตั้งแต่ Mould open จนหมดเวลา จึงค่อยเริ่มต้นนีดช็อตต่อไป

2.2.11 F09 EJECTOR



ภาพหน้าจอที่ ก14 หน้าจอที่ใช้สำหรับตั้งค่าพารามิเตอร์ F09
 ที่มา: สถาบันศึกษาและพัฒนาเทคโนโลยีการผลิตทางอุตสาหกรรม (RDiPT)

ก. Ejector v+p program ใช้ควบคุมระบบการปลดชิ้นงาน โดยหากใส่ 0 หรือไม่ใช้โปรแกรม เครื่องจะปลดชิ้นงานเมื่อแม่พิมพ์เลื่อนมาถึงตำแหน่ง Start ejector forward แต่ หากใส่ 1 หรือใช้โปรแกรม เครื่องจะทำการปลดชิ้นงานต่อเมื่อแม่พิมพ์เลื่อนมาถึงตำแหน่ง Mould open เท่านั้น

ข. Ejector strokes จำนวนในการดันแท่งดันชิ้นงาน (Ejector pin) เข้าออกเพื่อปลดชิ้นงาน ในกรณีที่ชิ้นงานมีลักษณะที่อาจออกยาก อาจใส่ Ejector stroke ตั้งแต่สองครั้งขึ้นไป เพื่อให้ปลดชิ้นงานได้ง่ายขึ้น

ค. Start ejector forward ระยะของแม่พิมพ์ที่ Ejector เริ่มทำงาน เมื่อแม่พิมพ์เปิดออกจนถึงระยะที่ตั้งไว้ Ejector จะเริ่มทำงานในกรณีที่ปิด Ejector v+p program (ใส่ค่า 0)

ง. Ejector forward speed 1 ความเร็วของแท่งดันชิ้นงาน (Ejector pin) ตั้งแต่แท่งดันชิ้นงานเริ่มต้นทำงานจนถึง Ejector forward stroke 1

- ๑. Ejector forward stroke 1 ระยะยึดของแท่งคันชิ้นงานระยะที่ 1
- ๒. Ejector forward pressure แรงคันยึดของแท่งคันชิ้นงาน
- ๓. Ejector forward speed 2 ระยะยึดของแท่งคันชิ้นงานระยะที่ 2
- ๔. Ejector fwd stroke ระยะยึดของแท่งคันชิ้นงานระยะสุดท้าย คือระยะที่แท่งคันชิ้นงานยึดอุกมามากที่สุด ซึ่งหากตั้งค่านี้น้อยเกินไปชิ้นงานก็อาจจะไม่หล่น แต่ถ้าตั้งมากเกินไปก็จะเสียเวลาในการนิดชิ้นงาน โดยปกติแล้วจะให้แท่งคันชิ้นงานยึดอุกมาจนสุดเท่ากับความหนาของชิ้นงาน
- ๕. Ejector back delay เวลาหน่วงก่อนที่แท่งคันชิ้นงานจะถอยกลับไป จะเริ่มนับตั้งแต่ Ejector fwd stroke เมื่อแท่งคันชิ้นงานยึดอุกมาจนสุดแล้วจะยังไม่หล่นทันทีจนกว่าจะครบเวลาที่ตั้งไว้ จึงค่อยหลอกลับ
- ๖. Ejector back speed 1 ความเร็วในการถอยกลับของแท่งคันชิ้นงาน ตั้งแต่ Ejector fwd stroke จนถึง Ejector back stroke 1
- ๗. Ejector back stroke 1 ระยะถอยกลับของแท่งคันชิ้นงานระยะที่ 1
- ๘. Ejector back speed 2 ความเร็วในการถอยกลับของแท่งคันชิ้นงาน ตั้งแต่ Ejector back stroke 1 จนถึง Ejector back
- ๙. Ejector back pressure แรงคันถอยกลับของแท่งคันชิ้นงาน
- ๑๐. Zero-offset ejector กำหนดจุดอ้างอิงสัมพัทธ์ (Relative reference) โดยเทียบกับจุดอ้างอิงปกติหรือจุดอ้างอิงสมบูรณ์ (Absolute reference) เพื่อความสะดวกในการทำงานแต่โดยปกติแล้วไม่จำเป็นต้องใช้
- ๑๑. Ejector back ระยะถอยกลับจนสุดของแท่งคันชิ้นงาน
- ๑๒. Air valve program ควบคุมระบบเป่าลมเพื่อช่วยดันชิ้นงานหรือทางวิ่งออกจากแม่พิมพ์ โดยหากใส่ 0 หมายถึงปิดระบบเป่าลม หากใส่ 1 หมายถึงเปิดระบบเป่าลม
- ๑๓. Start air valve ระยะเริ่มต้นเป่าลม เมื่อแม่พิมพ์เลื่อนมาถึงระยะที่ตั้งไว้จะเริ่มเป่าลม
- ๑๔. Blowing time valve ระยะเวลาที่เป่าลม

39- Ejector shuttle stroke	14.9	45.0	BLOCK BACKWARD
39- Ejector back speed 1		40	
39- Ejector back stroke 1	14.9	30.0	
39- Ejector back speed 2		40	
39- Ejector back pressure		45	
39- Zero-offset ejector	14.9	0.0	BLOCK FORWARD
39- Ejector back	14.9	20.0	
39- *** AIR VALVE 1 ***			GRAPHICS
39- Air valve 1 program		0	
39- Start air valve 1	80.4	100.0	
39- Blowing time valve 1	0.00	1.00	
39- *** AIR VALVE 2 ***			
39- Air valve 2 program		0	
39- Air valve 2 delay	0.00	0.00	
39- Start air valve 2	80.4	0.0	
39- Blowing time valve 2	0.00	0.00	QUALITY TABLE

ภาพหน้าจอที่ ก15 หน้าจอที่ใช้สำหรับตั้งค่าพารามิเตอร์ F09 ในส่วนของระบบเป่าลม
ที่มา: สถาบันศึกษาและพัฒนาเทคโนโลยีการผลิตทางอุตสาหกรรม (RDiPT)

2.2.12 F14 SETTING

14- *** SETTING ***			BLOCK BACKWARD
14- Setting program		0	
14- Setting speed		25	
14- Setting pressure		25	
14- Mould safety speed		8	BLOCK FORWARD
14- Mould safety pressure		8	
14- ***			GRAPHICS
14- ***			
14- ***			QUALITY TABLE

ภาพหน้าจอที่ ก16 หน้าจอที่ใช้สำหรับตั้งค่าพารามิเตอร์ F14
ที่มา: สถาบันศึกษาและพัฒนาเทคโนโลยีการผลิตทางอุตสาหกรรม (RDiPT)

ก. Setting program ควบคุมการปิดโดยใช้แรงดันสูงของแม่พิมพ์ โดย

- 0 หมายถึง high pressure clamping
- 1 หมายถึง low pressure clamping

ภาคผนวก ๔

ผลการทดสอบวัสดุค่าคุณสมบัติทางกลด้วยเครื่อง Universal Testing Machine รุ่น HOUNSFIELD
H50KS

ตารางผนวกที่ ข1 ผลการทดสอบคุณสมบัติทางกล

การทดลอง ที่	ปริมาณ ร้อยละโดย น้ำหนัก (%wt)	อุณหภูมิ พลาสติก (°C)	ความเร็ว นីด (mm/sec)	ความเร็ว รอบสกอร์ (rpm)	ความ ดันยั่ง (bar)	ความ แข็งแรงดึง [*] (MPa)	มอคูลัส ของยัง [*] (MPa)
1	0.5%	190	25	75	45	29	1500
2	0.5%	190	25	75	65	29.5	1489
3	0.5%	190	25	227	45	29.0313	1569
4	0.5%	190	25	227	65	29.5313	1504
5	0.5%	190	45	75	45	33.2625	1687
6	0.5%	190	45	75	65	32.9625	1779
7	0.5%	190	45	227	45	34.125	1663
8	0.5%	190	45	227	65	34.2375	1728
9	0.5%	220	25	75	45	31.35	1620
10	0.5%	220	25	75	65	32.5125	1624
11	0.5%	220	25	227	45	31.725	1513
12	0.5%	220	25	227	65	31.125	1663
13	0.5%	220	45	75	45	30.25	1524
14	0.5%	220	45	75	65	31	1536
15	0.5%	220	45	227	45	30.9063	1526
16	0.5%	220	45	227	65	30.7813	1522
17	2.5%	190	25	75	45	32.9625	1752
18	2.5%	190	25	75	65	32.175	1671
19	2.5%	190	25	227	45	32.4	1507
20	2.5%	190	25	227	65	32.5875	1565
21	2.5%	190	45	75	45	34.9875	1650
22	2.5%	190	45	75	65	34.425	1725

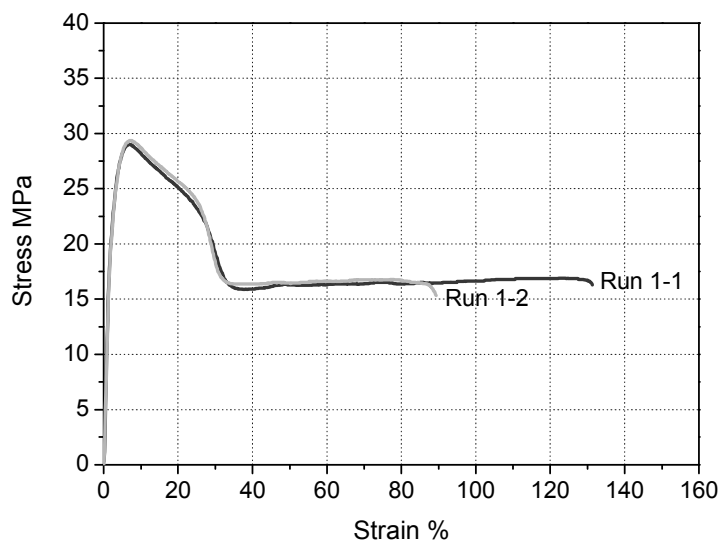
ตารางผนวกที่ ข1 (ต่อ)

การทดลอง ที่	ปริมาณ ร้อยละโดย น้ำหนัก (%wt)	อุณหภูมิ พลาสติก (°C)	ความเร็ว ฉีด (mm/sec)	ความเร็ว รอบสกู๊ป (rpm)	ความ ดันยักษ์ (bar)	ความ แข็งแรงดึง (MPa)	มอดูลัส ของยัง (MPa)
23	2.5%	190	45	227	45	36.3375	1816
24	2.5%	190	45	227	65	34.875	1782
25	2.5%	220	25	75	45	35.7375	1815
26	2.5%	220	25	75	65	35.025	1775
27	2.5%	220	25	227	45	34.35	1691
28	2.5%	220	25	227	65	33.675	1683
29	2.5%	220	45	75	45	35.5125	1774
30	2.5%	220	45	75	65	35.85	1652
31	2.5%	220	45	227	45	33.825	1632
32	2.5%	220	45	227	65	33.6375	1685
33	0.5%	190	25	75	45	29.3438	1420
34	0.5%	190	25	75	65	30.0313	1377
35	0.5%	190	25	227	45	29.25	1570
36	0.5%	190	25	227	65	29.5	1489
37	0.5%	190	45	75	45	32.9625	1673
38	0.5%	190	45	75	65	34.1625	1757
39	0.5%	190	45	227	45	32.775	1732
40	0.5%	190	45	227	65	33.6375	1723
41	0.5%	220	25	75	45	32.3625	1563
42	0.5%	220	25	75	65	31.65	1594
43	0.5%	220	25	227	45	31.7625	1537
44	0.5%	220	25	227	65	29.4688	1607

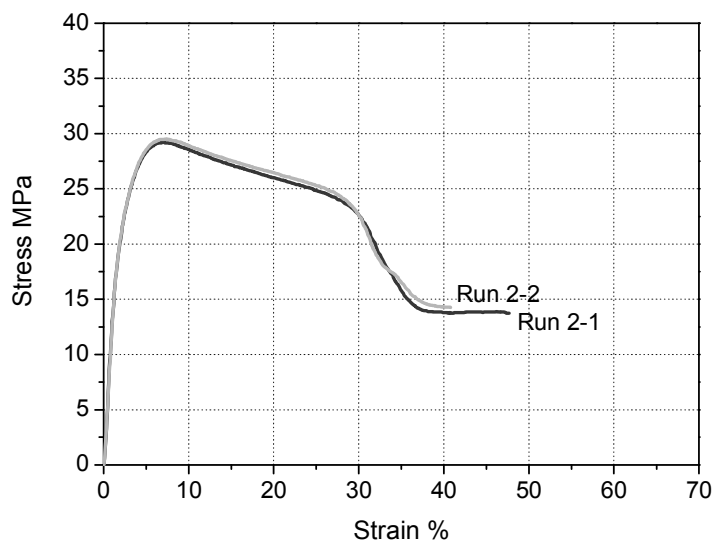
ตารางผนวกที่ ข1 (ต่อ)

การทดลอง ที่	ปริมาณ ร้อยละโดย น้ำหนัก (%wt)	อุณหภูมิ พลาสติก (°C)	ความเร็ว ฉีด (mm/sec)	ความเร็ว รอบสกู๊ป (rpm)	ความ ดันยักษ์ (bar)	ความ แข็งแรงดึง (MPa)	มอดูลัส ของยัง (MPa)
45	0.5%	220	45	75	45	30.9688	1542
46	0.5%	220	45	75	65	31.8	1492
47	0.5%	220	45	227	45	31.4625	1582
48	0.5%	220	45	227	65	30.0313	1519
49	2.5%	190	25	75	45	32.475	1550
50	2.5%	190	25	75	65	31.65	1717
51	2.5%	190	25	227	45	31.0938	1538
52	2.5%	190	25	227	65	32.55	1600
53	2.5%	190	45	75	45	35.025	1665
54	2.5%	190	45	75	65	34.575	1754
55	2.5%	190	45	227	45	35.9625	1838
56	2.5%	190	45	227	65	34.8375	1805
57	2.5%	220	25	75	45	35.775	1883
58	2.5%	220	25	75	65	35.1375	1688
59	2.5%	220	25	227	45	33.975	1707
60	2.5%	220	25	227	65	33.3375	1649
61	2.5%	220	45	75	45	35.1375	1739
62	2.5%	220	45	75	65	35.4	1653
63	2.5%	220	45	227	45	33.825	1633
64	2.5%	220	45	227	65	34.5375	1641

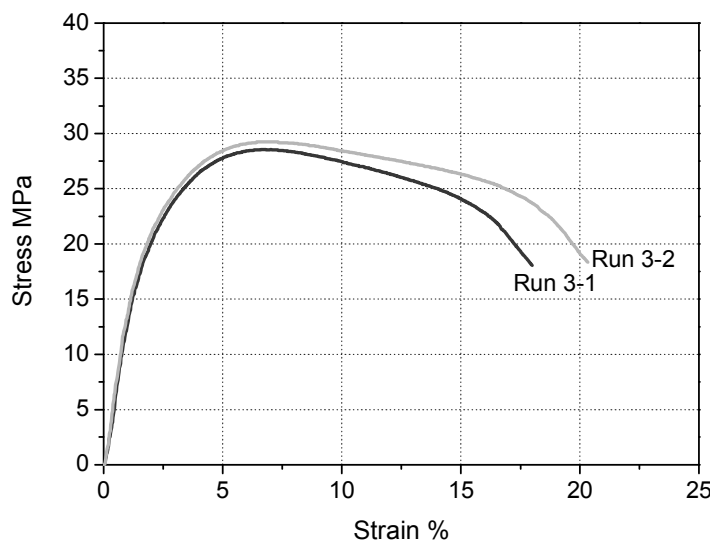
ภาคผนวก ค
เส้นโถงความคื้น-ความเครียด



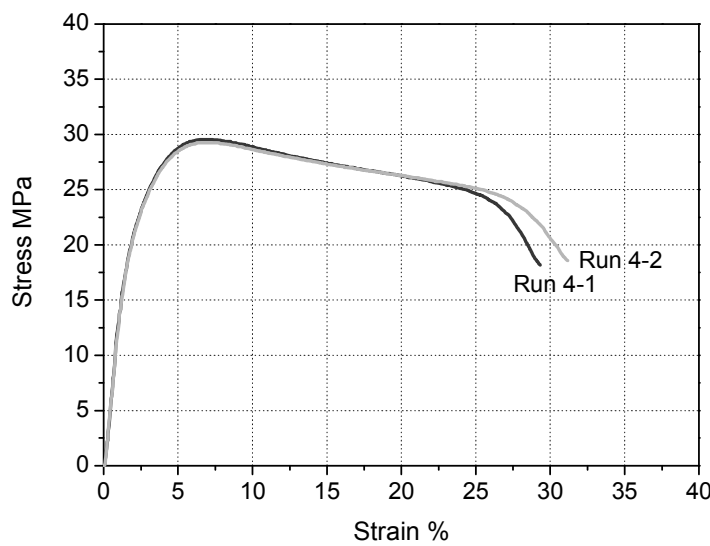
ภาพผนวกที่ ค1 เส้นโค้ง ความดัน (Stress (MPa)) - ความเครียด (Strain (%)) ของการทดลองที่ 1
โดยมีการทำซ้ำ 2 ครั้ง



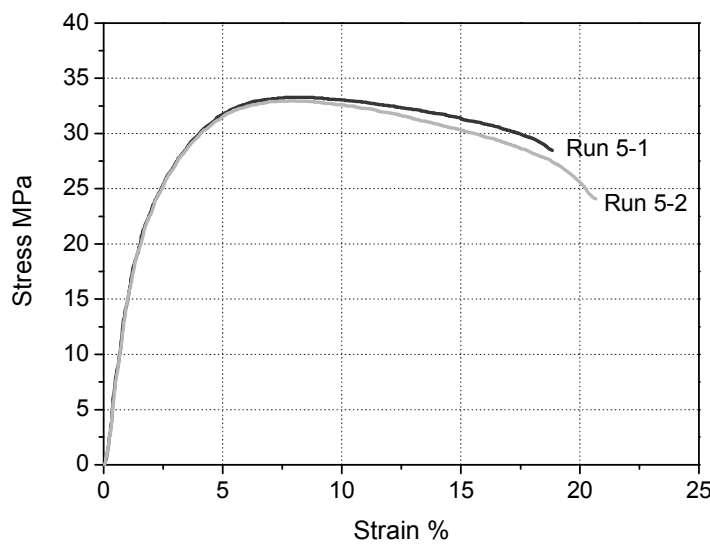
ภาพผนวกที่ ค2 เส้นโค้ง ความดัน (Stress (MPa)) - ความเครียด (Strain (%)) ของการทดลองที่ 2
โดยมีการทำซ้ำ 2 ครั้ง



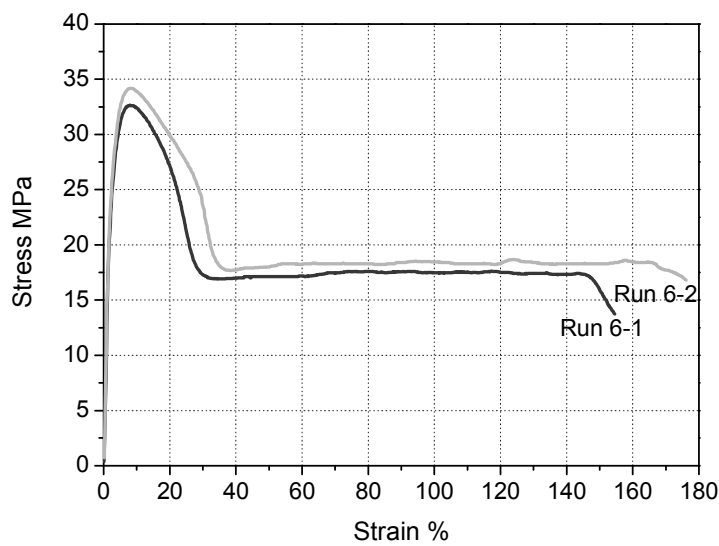
ภาพผนวกที่ ค3 เส้นโค้ง ความเก็บ (Stress (MPa)) - ความเครียด (Strain (%)) ของการทดลองที่ 3
โดยมีการทำซ้ำ 2 ครั้ง



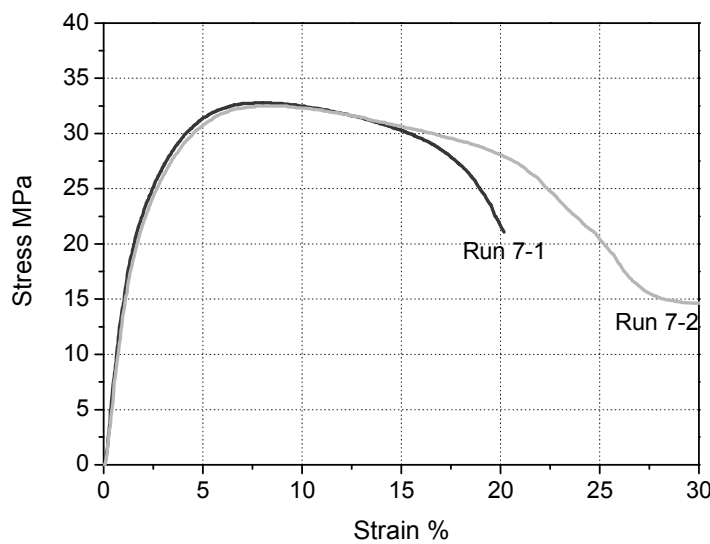
ภาพผนวกที่ ค4 เส้นโค้ง ความเก็บ (Stress (MPa)) - ความเครียด (Strain (%)) ของการทดลองที่ 4
โดยมีการทำซ้ำ 2 ครั้ง



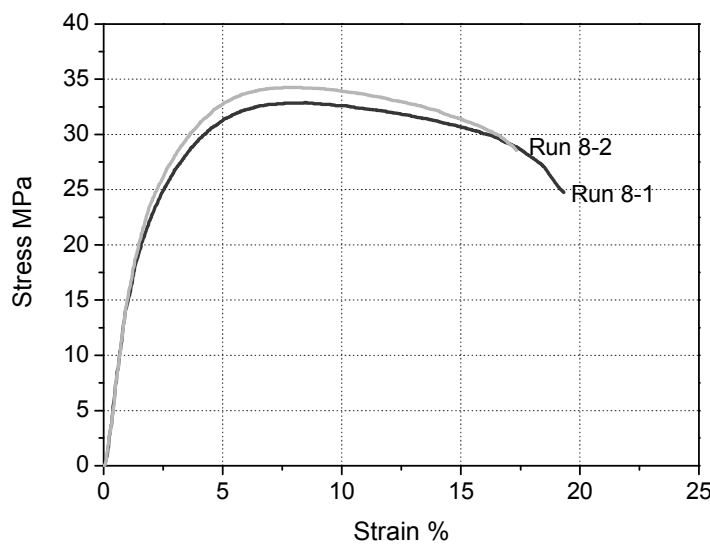
ภาพผนวกที่ ค5 เส้นโค้ง ความเก็บ (Stress (MPa)) - ความเครียด (Strain (%)) ของการทดลองที่ 5 โดยมีการทำซ้ำ 2 ครั้ง



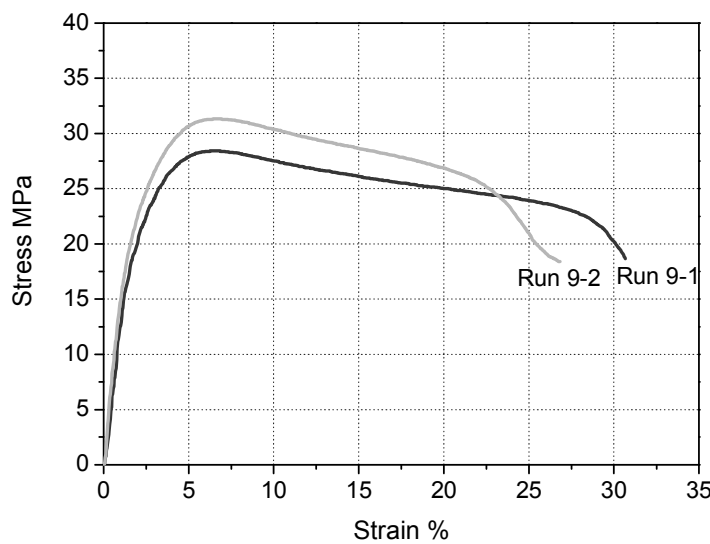
ภาพผนวกที่ ค6 เส้นโค้ง ความเก็บ (Stress (MPa)) - ความเครียด (Strain (%)) ของการทดลองที่ 6 โดยมีการทำซ้ำ 2 ครั้ง



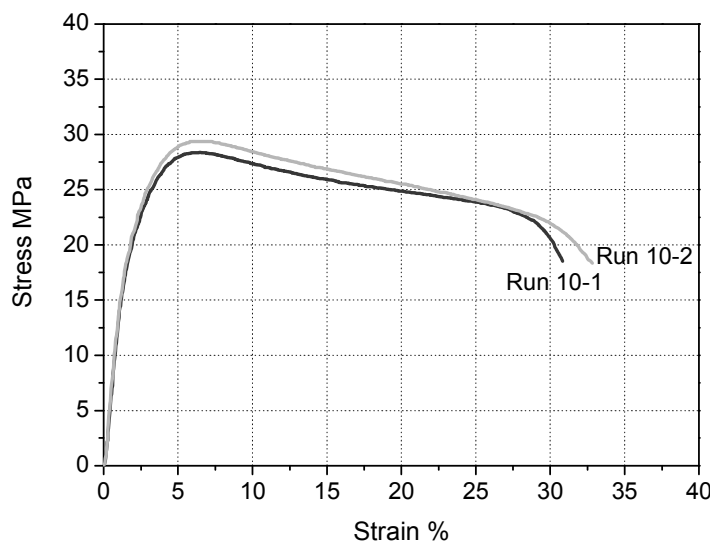
ภาพผนวกที่ ค7 เส้นโค้ง ความเก็บ (Stress (MPa)) - ความเครียด (Strain (%)) ของการทดลองที่ 7
โดยมีการทำซ้ำ 2 ครั้ง



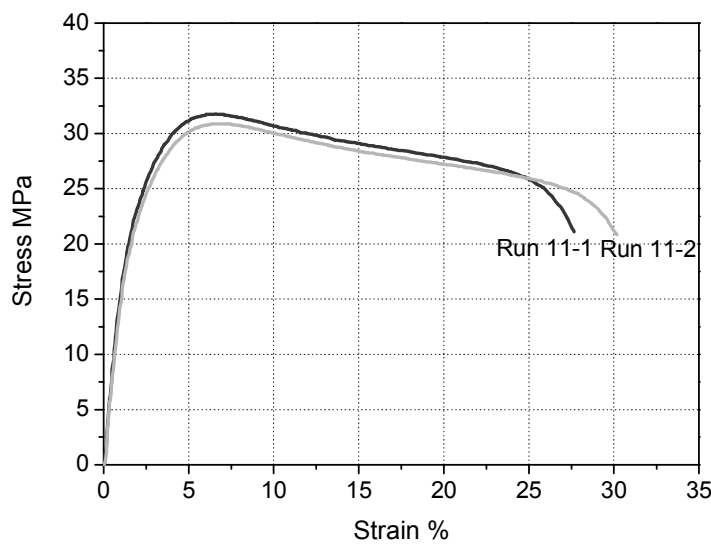
ภาพผนวกที่ ค8 เส้นโค้ง ความเก็บ (Stress (MPa)) - ความเครียด (Strain (%)) ของการทดลองที่ 8
โดยมีการทำซ้ำ 2 ครั้ง



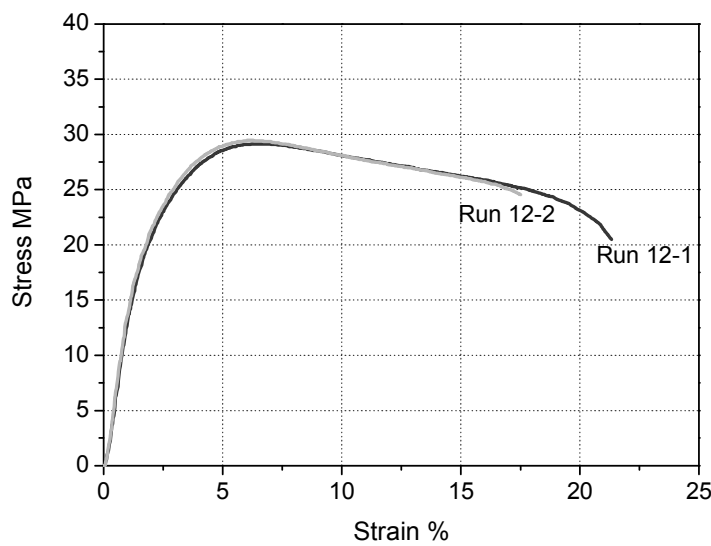
ภาพผนวกที่ ค9 เส้นโค้ง ความดัน (Stress (MPa)) - ความเครียด (Strain (%)) ของการทดลองที่ 9 โดยมีการทำซ้ำ 2 ครั้ง



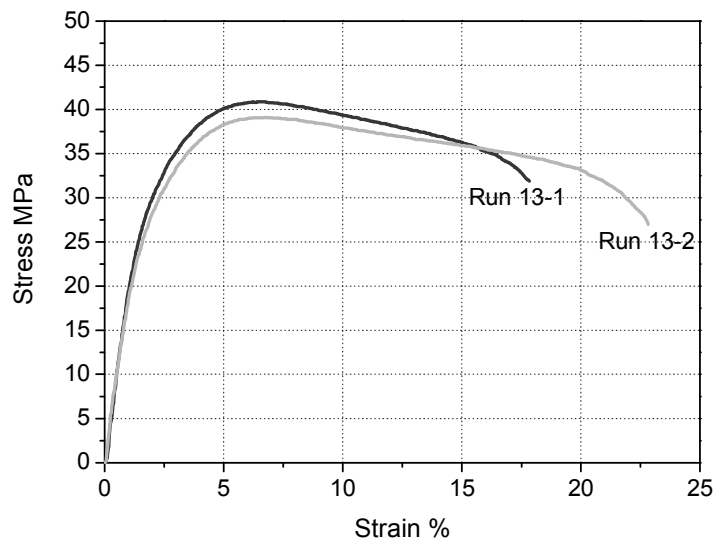
ภาพผนวกที่ ค10 เส้นโค้ง ความดัน (Stress (MPa)) - ความเครียด (Strain (%)) ของการทดลองที่ 10 โดยมีการทำซ้ำ 2 ครั้ง



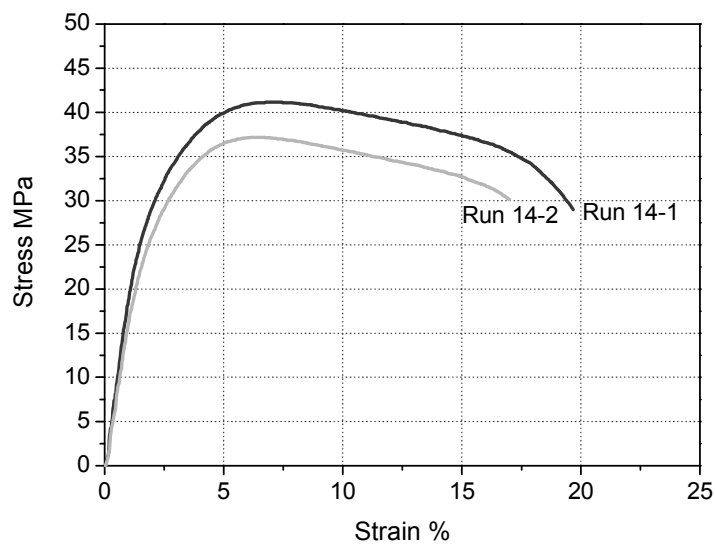
ภาพผนวกที่ ค11 เส้นโค้ง ความดัน (Stress (MPa)) - ความเครียด (Strain (%)) ของการทดลองที่ 11 โดยมีการทำซ้ำ 2 ครั้ง



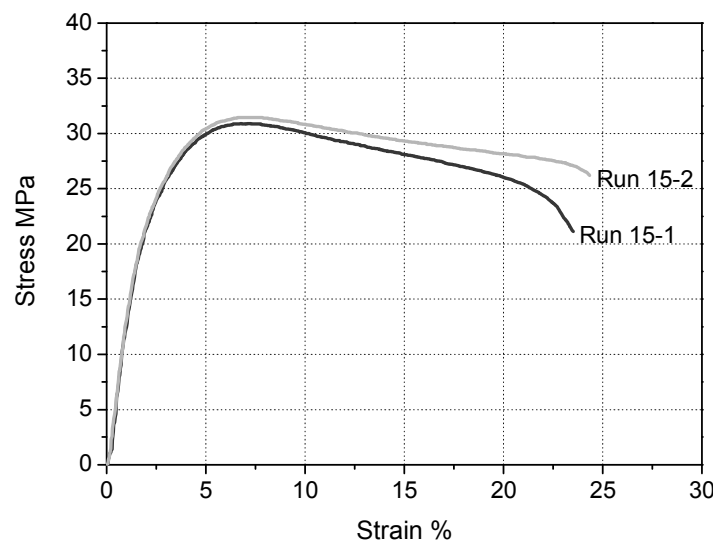
ภาพผนวกที่ ค12 เส้นโค้ง ความดัน (Stress (MPa)) - ความเครียด (Strain (%)) ของการทดลองที่ 12 โดยมีการทำซ้ำ 2 ครั้ง



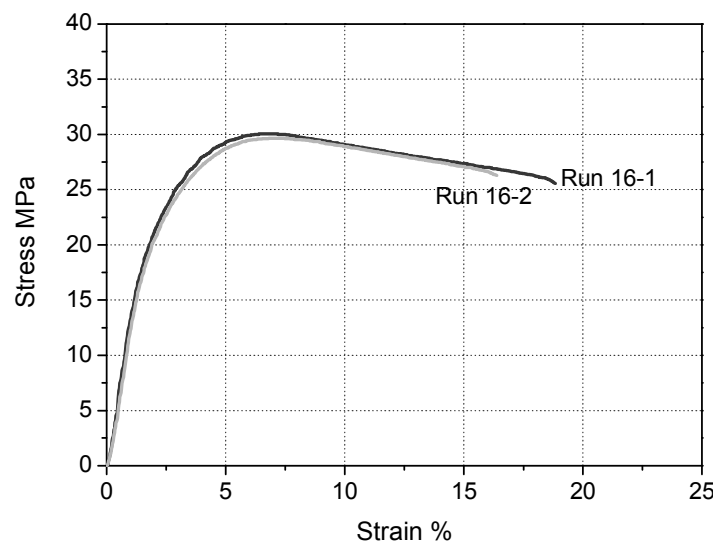
ภาพผนวกที่ ค13 เส้นโค้ง ความดัน (Stress (MPa)) - ความเครียด (Strain (%)) ของการทดลองที่ 13 โดยมีการทำซ้ำ 2 ครั้ง



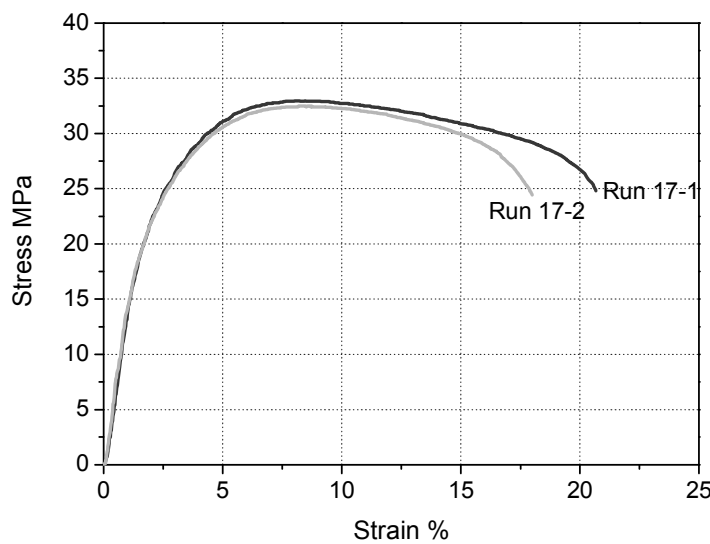
ภาพผนวกที่ ค14 เส้นโค้ง ความดัน (Stress (MPa)) - ความเครียด (Strain (%)) ของการทดลองที่ 14 โดยมีการทำซ้ำ 2 ครั้ง



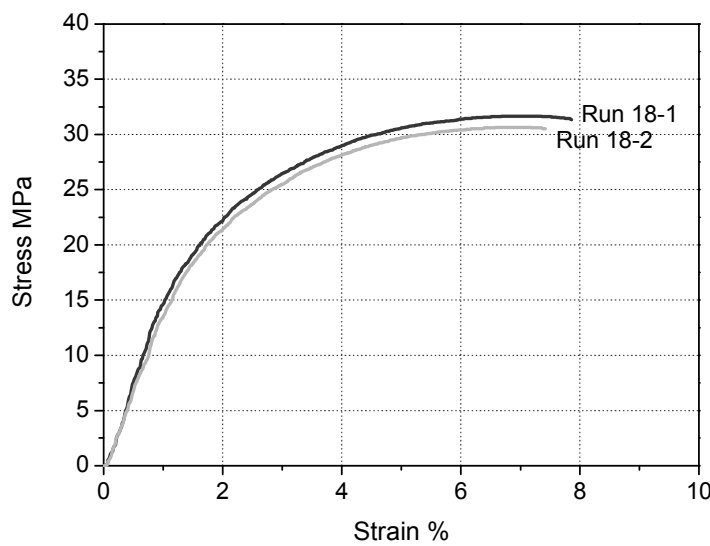
ภาพผนวกที่ ค15 เส้นโค้ง ความดัน (Stress (MPa)) - ความเครียด (Strain (%)) ของการทดลองที่ 15 โดยมีการทำซ้ำ 2 ครั้ง



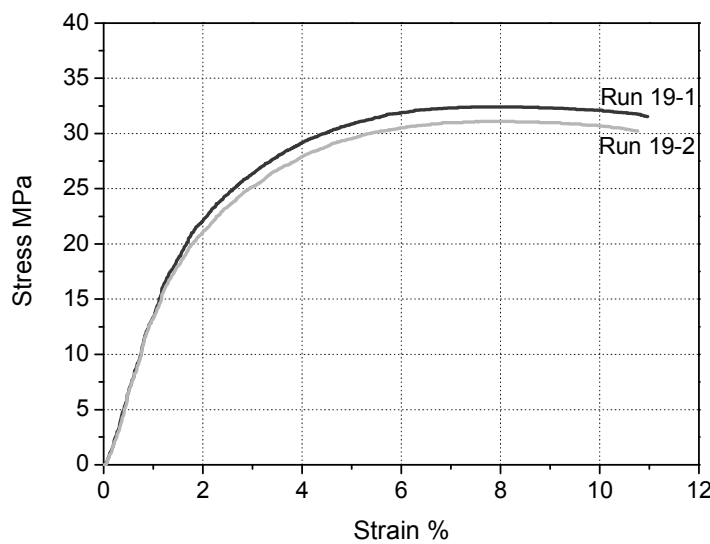
ภาพผนวกที่ ค16 เส้นโค้ง ความดัน (Stress (MPa)) - ความเครียด (Strain (%)) ของการทดลองที่ 16 โดยมีการทำซ้ำ 2 ครั้ง



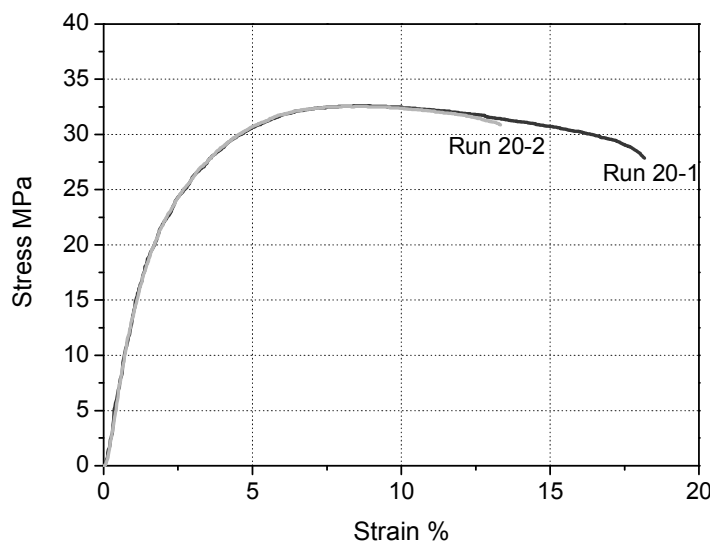
ภาพผนวกที่ ค17 เส้นโค้ง ความดัน (Stress (MPa)) - ความเครียด (Strain (%)) ของการทดลองที่ 17 โดยมีการทำซ้ำ 2 ครั้ง



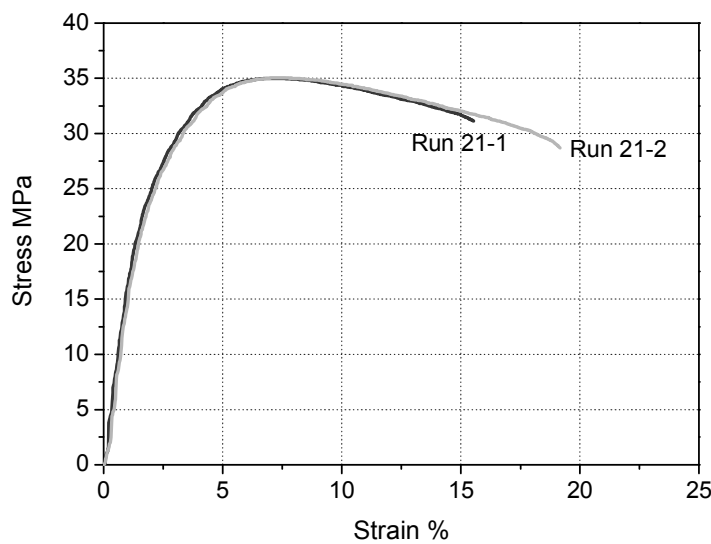
ภาพผนวกที่ ค18 เส้นโค้ง ความดัน (Stress (MPa)) - ความเครียด (Strain (%)) ของการทดลองที่ 18 โดยมีการทำซ้ำ 2 ครั้ง



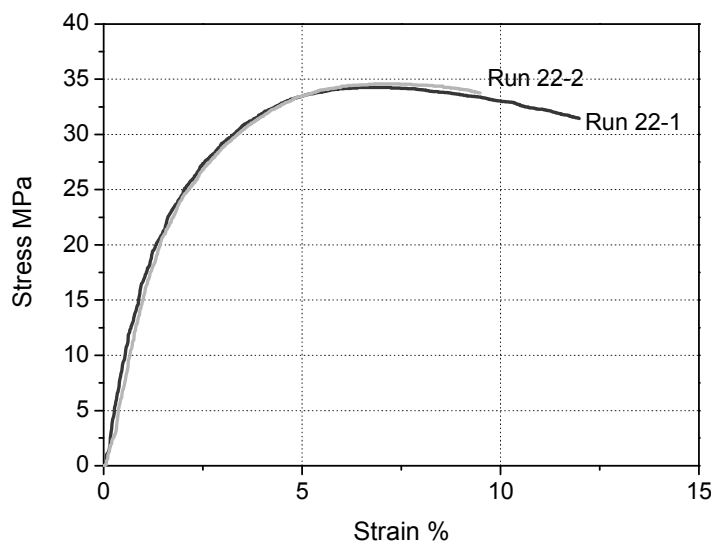
ภาพผนวกที่ ค19 เส้นโค้ง ความดัน (Stress (MPa)) - ความเครียด (Strain (%)) ของการทดลองที่ 19 โดยมีการทำซ้ำ 2 ครั้ง



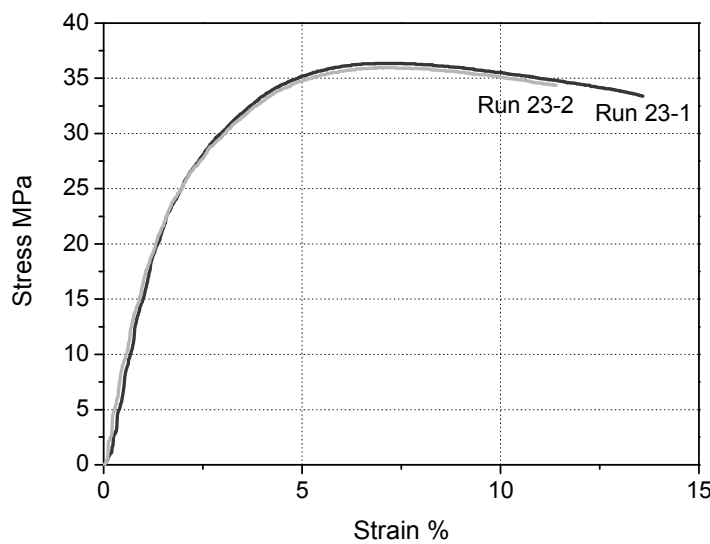
ภาพผนวกที่ ค20 เส้นโค้ง ความดัน (Stress (MPa)) - ความเครียด (Strain (%)) ของการทดลองที่ 20 โดยมีการทำซ้ำ 2 ครั้ง



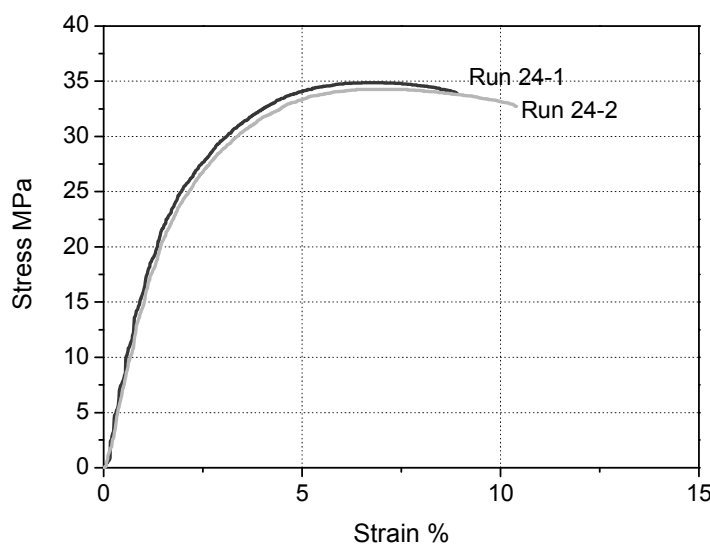
ภาพผนวกที่ ค21 เส้นโค้ง ความดัน (Stress (MPa)) - ความเครียด (Strain (%)) ของการทดลองที่ 21 โดยมีการทำซ้ำ 2 ครั้ง



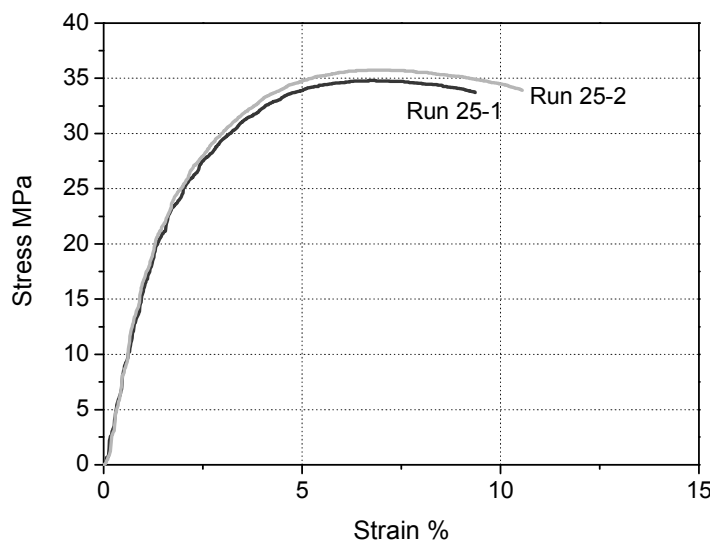
ภาพผนวกที่ ค22 เส้นโค้ง ความดัน (Stress (MPa)) - ความเครียด (Strain (%)) ของการทดลองที่ 22 โดยมีการทำซ้ำ 2 ครั้ง



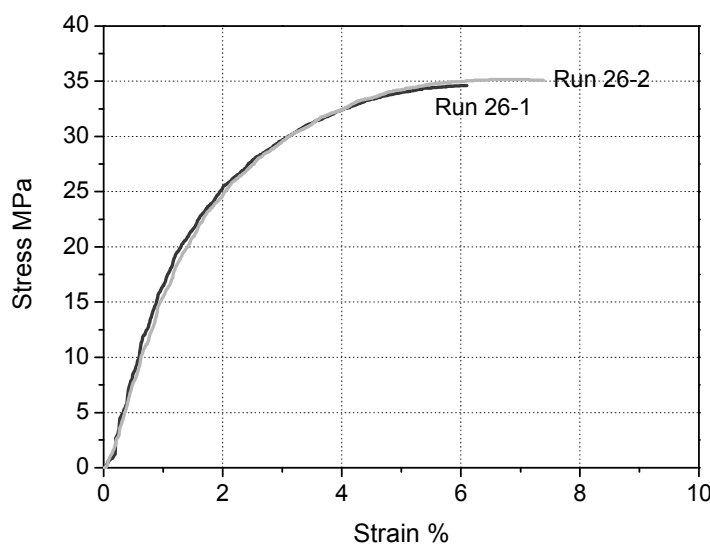
ภาพผนวกที่ ค23 เส้นโค้ง ความเก็บ (Stress (MPa)) - ความเครียด (Strain (%)) ของการทดลองที่ 23 โดยมีการทำซ้ำ 2 ครั้ง



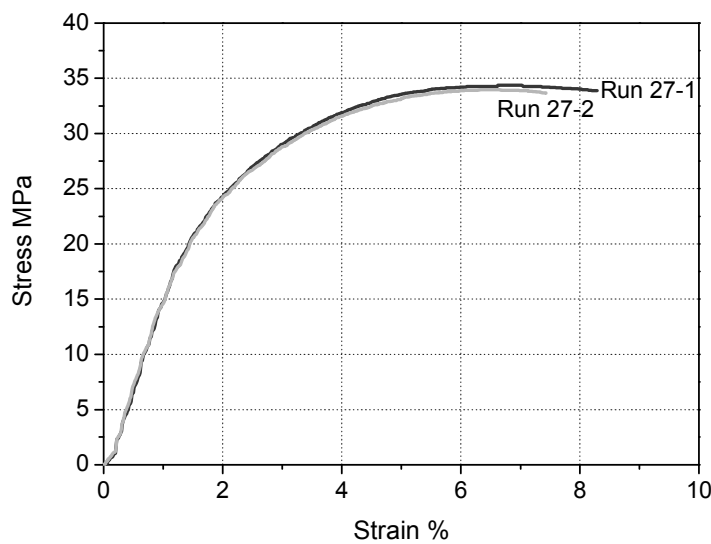
ภาพผนวกที่ ค24 เส้นโค้ง ความเก็บ (Stress (MPa)) - ความเครียด (Strain (%)) ของการทดลองที่ 24 โดยมีการทำซ้ำ 2 ครั้ง



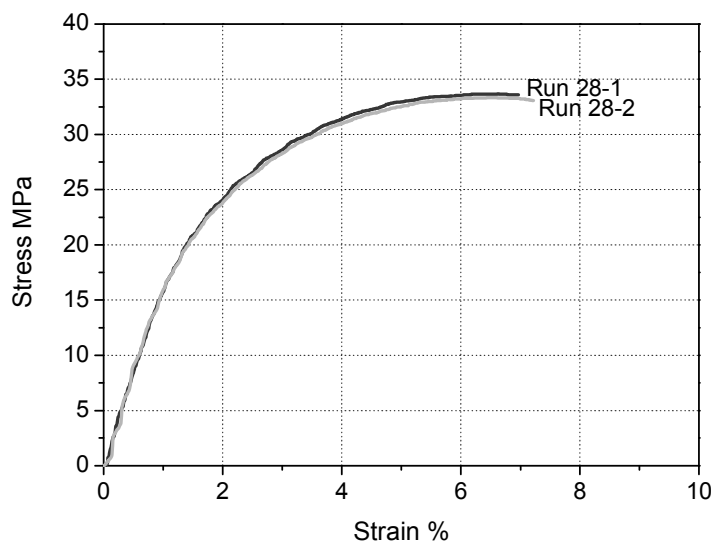
ภาพผนวกที่ ค25 เส้นโค้ง ความดัน (Stress (MPa)) - ความเครียด (Strain (%)) ของการทดลองที่ 25 โดยมีการทำซ้ำ 2 ครั้ง



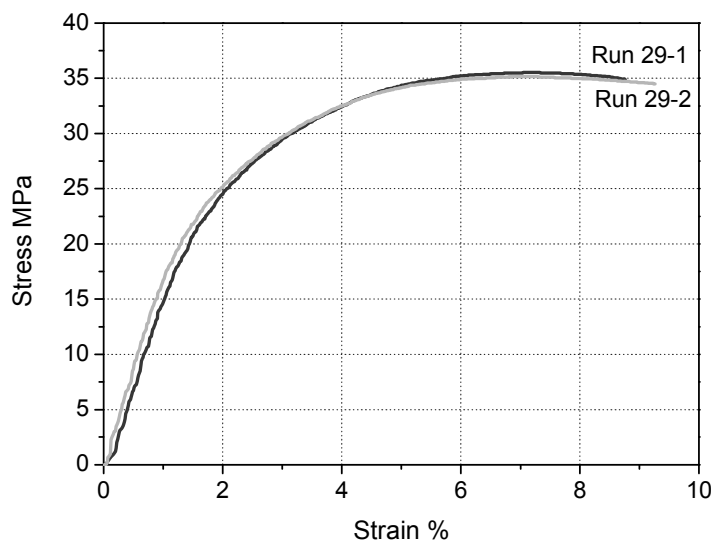
ภาพผนวกที่ ค26 เส้นโค้ง ความดัน (Stress (MPa)) - ความเครียด (Strain (%)) ของการทดลองที่ 26 โดยมีการทำซ้ำ 2 ครั้ง



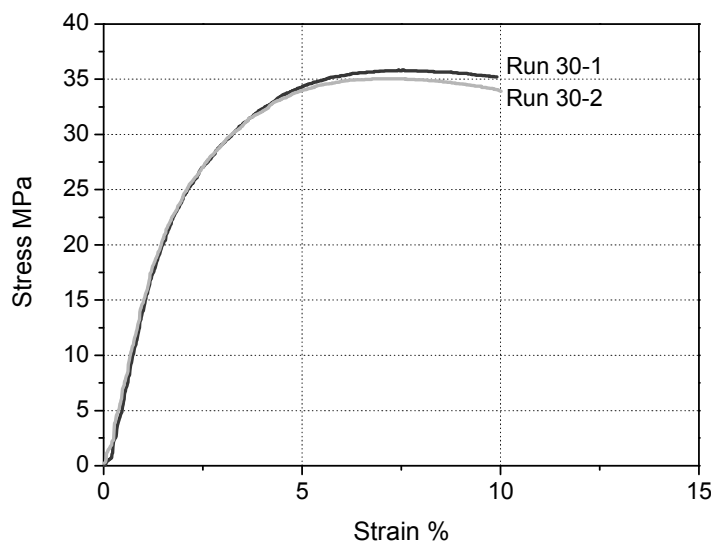
ภาพผนวกที่ ค27 เส้นโค้ง ความดัน (Stress (MPa)) - ความเครียด (Strain (%)) ของการทดลองที่ 27 โดยมีการทำซ้ำ 2 ครั้ง



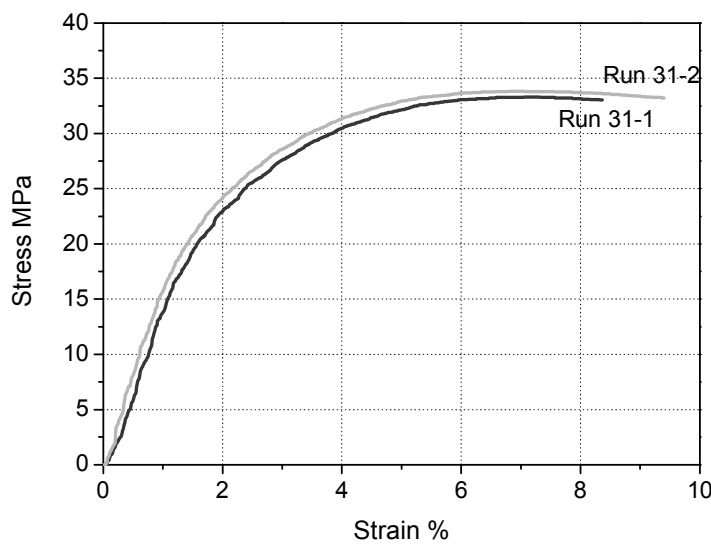
ภาพผนวกที่ ค28 เส้นโค้ง ความดัน (Stress (MPa)) - ความเครียด (Strain (%)) ของการทดลองที่ 28 โดยมีการทำซ้ำ 2 ครั้ง



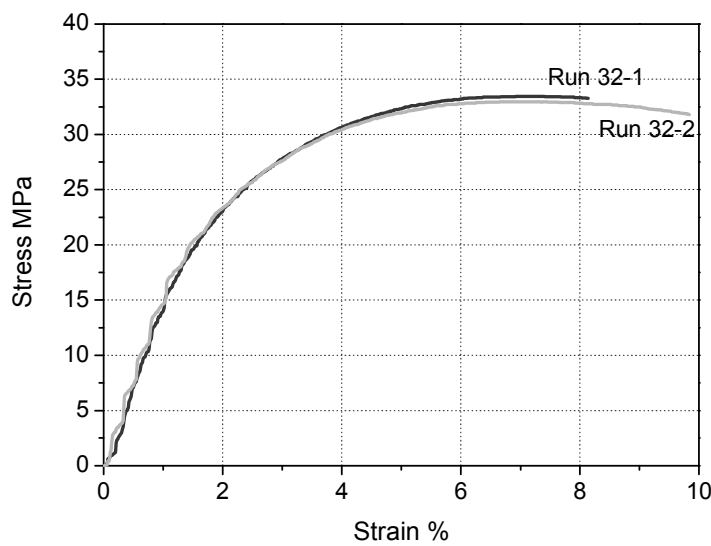
ภาพผนวกที่ ค29 เส้นโค้ง ความดัน (Stress (MPa)) - ความเครียด (Strain (%)) ของการทดลองที่ 29 โดยมีการทำซ้ำ 2 ครั้ง



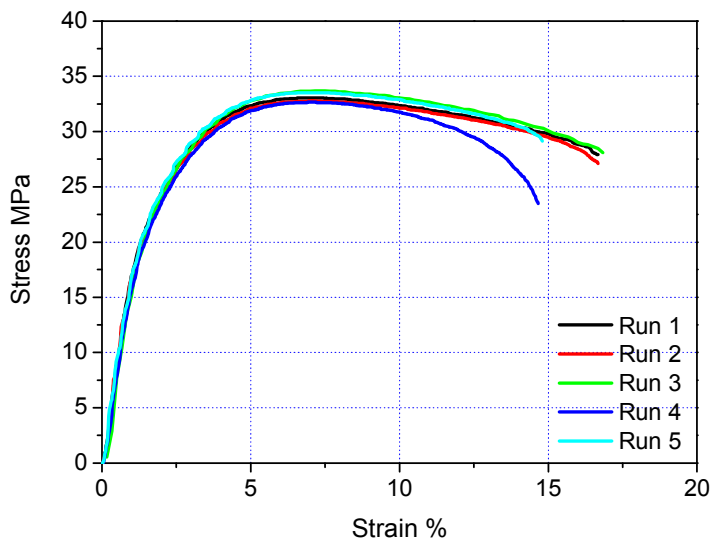
ภาพผนวกที่ ค30 เส้นโค้ง ความดัน (Stress (MPa)) - ความเครียด (Strain (%)) ของการทดลองที่ 30 โดยมีการทำซ้ำ 2 ครั้ง



ภาพผนวกที่ ค31 เส้นโค้ง ความดัน (Stress (MPa)) - ความเครียด (Strain (%)) ของการทดลองที่ 31 โดยมีการทำซ้ำ 2 ครั้ง



ภาพผนวกที่ ค32 เส้นโค้ง ความดัน (Stress (MPa)) - ความเครียด (Strain (%)) ของการทดลองที่ 32 โดยมีการทำซ้ำ 2 ครั้ง



ภาพผนวกที่ ค33 เส้นโค้ง ความดัน (Stress (MPa)) - ความเครียด (Strain (%)) ของการทดลองเพื่อ
ขึ้นยันผลโดยมีการทำซ้ำ 5 ครั้ง

ภาคผนวก ๔

สถิติทดสอบและการตรวจเงื่อนไขของการวิเคราะห์ความแปรปรวนหลายตัวแปร

1. สถิติทดสอบ

สถิติทดสอบที่ใช้ในการวิเคราะห์ข้อมูลด้วยเทคนิค MANOVA นั้นจะพิจารณา จากค่าดีเทอร์มิแนต์ของเมตริกซ์ $W^{-1}B(\left|W^{-1}B\right|)$ โดยที่ค่าดีเทอร์มิแนต์ใช้วัดความแตกต่างของเมตริกซ์ หรือค่าดีเทอร์มิแนต์สามารถวัดค่าความแปรปรวนหรือความแปรผันได้นั่นเอง การคำนวณหาค่าดีเทอร์มิแนต์สามารถคำนวณได้จากค่าไอกenen โดยที่ค่าดีเทอร์มิแนต์เป็นผลคูณของค่าไอกenen โดยที่ค่าไอกenenแต่ละค่าเป็นส่วนหนึ่งของความแปรผันของเมตริกซ์นั่นเอง

สถิติทดสอบ $H_0: \mu_1 = \mu_2 = \dots = \mu_k$ มีหมายค่าซึ่งขึ้นกับค่าไอกenenของเมตริกซ์ $W^{-1}B$ สถิติทดสอบที่นิยมใช้กันทั่วไปใน MANOVA มี 4 ตัวคือ

1.1 สถิติทดสอบ Wilks'λ

$$\text{Wilks}'\lambda = \lambda = \frac{|W|}{|B + W|} \quad (41)$$

โดยที่ $|W|$ หมายถึงดีเทอร์มิแนต์ของเมตริกซ์ W

จะพบว่าสถิติทดสอบ Wilks'λ ในสมการที่ (41) เป็นอัตราส่วนระหว่างค่าดีเทอร์มิแนต์ของความผันแปรภายในกลุ่มกับความผันแปรทั้งหมด ดังนั้นถ้าความผันแปรภายในกลุ่มต่ำจะทำให้ค่า λ ต่ำด้วย ซึ่งหมายถึงความผันแปรระหว่างกลุ่มมาก จึงปฏิเสธ H_0 ถ้า λ มีค่าต่ำ

การสรุปผลการทดสอบ จะปฏิเสธ H_0 ถ้า $\lambda \leq \lambda_{\alpha;p,DFB,DFW}$

โดยที่ DFB(องศาอิสระระหว่างกลุ่ม) = $k-1$ และ DFW(องศาอิสระของภายในกลุ่ม) = $n-k$ นอกจากนี้ สถิติทดสอบ Wilks'λ ยังสามารถเขียนในรูปของค่าไอกenenหรือค่าไอกenen (Eigenvalue) $\lambda_1, \lambda_2, \dots, \lambda_s$ ของ $W^{-1}B$ โดยที่

$$\lambda = \prod_{i=1}^s \left(\frac{1}{1+\lambda_i} \right) \quad (42)$$

โดยที่ s เป็นจำนวนค่าไอเกนที่ไม่เป็นศูนย์ของเมตริกซ์ $W^{-1}B$ และ $s = \min \{p, k-1\}$ จากสูตรของสถิติ Wilks' λ ในสมการที่ (1) และ (2) จะพบว่า $0 \leq \lambda \leq 1$ นอกจากนั้นยังสามารถแปลงสถิติทดสอบ Wilks' λ เป็นสถิติทดสอบ F และไคสแควร์

นอกจากจะใช้สถิติทดสอบ Wilks' λ ในการทดสอบ $H_0: \mu_1 = \mu_2 = \dots = \mu_k$ แล้วยังสามารถใช้สถิติทดสอบ F โดยการแปลงจากสถิติทดสอบ Wilks' λ ดังแสดงในตารางผนวกที่ จ1

ตารางผนวกที่ จ1 สรุปสถิติทดสอบการวิเคราะห์ความแปรปรวนหลายตัวแบบจำแนกทางเดียว

p	จำนวนตัวแปร	จำนวนกลุ่ม k	สถิติทดสอบ F	องศาอิสระของ F
$p \geq 1$		$k = 2$	$\left(\frac{1-\lambda}{\lambda} \right) \left(\frac{\sum_{i=1}^k n_i - p - 1}{p} \right)$	$p, \sum_{i=1}^k n_i - p - 1$
$p \geq 1$		$k = 3$	$\left(\frac{1-\sqrt{\lambda}}{\lambda} \right) \left(\frac{\sum_{i=1}^k n_i - p - 2}{p} \right)$	$2p, 2 \left(\sum_{i=1}^k n_i - p - 2 \right)$
$p = 1$		$k \geq 2$	$\left(\frac{1-\lambda}{\lambda} \right) \left(\frac{\sum_{i=1}^k n_i - k}{k-1} \right)$	$k-1, \left(\sum_{i=1}^k n_i - k \right)$
$p = 2$		$k \geq 2$	$\left(\frac{1-\sqrt{\lambda}}{\lambda} \right) \left(\frac{\sum_{i=1}^k n_i - k - 1}{k-1} \right)$	$k-1, \left(\sum_{i=1}^k n_i - k \right)$

ที่มา: กิตา (2551)

สำหรับค่าอื่นๆ ของ p และ k นอกเหนือจากตารางผนวกที่ จ1 สถิติทดสอบของ F คือ

$$F = \left(\frac{1 - \lambda^{\frac{1}{t}}}{\lambda^{\frac{1}{t}}} \right) \left(\frac{DF2}{DF1} \right) \quad (43)$$

โดยที่ F มีการแจกแจงแบบ F ที่องศาอิสระ $DF1$ และ $DF2$ ตามลำดับ

$$\begin{aligned} DF1 &= p(k-1) \text{ และ } DF2 = mt - \frac{1}{2}(p+k) \\ m &= k(n+1) + (k-1) - \frac{1}{2}(p+k) \\ t &= \sqrt{\frac{p^2(k-1)^2 - 4}{p^2 + (k-1)^2 - 5}} \end{aligned}$$

กรณีที่ $p(k-1) = 2$ จะทำให้ $t = 1$

การสรุปผลการทดสอบ จะปฏิเสธ $H_0: \mu_1 = \mu_2 = \dots = \mu_k$ ถ้า $F > F_{\alpha; DF1, DF2}$

Barlett (1938) ได้พิสูจน์ว่าเมื่อขนาดตัวอย่าง $\sum_{i=1}^k n_i = n$ มีขนาดใหญ่และถ้าสมมติฐาน H_0 เป็นจริง จะได้ว่า

$$\begin{aligned} \chi^* &= - \left(n - 1 - \frac{(p+k)}{2} \right) \ln \lambda \\ &= - \left(n - 1 - \frac{(p+k)}{2} \right) \ln \left(\frac{|W|}{|B+W|} \right) \end{aligned} \quad (44)$$

χ^* จะมีการแจกแจงโดยประมาณแบบ ไคสแควร์ที่องศาอิสระ $p(k-1)$

การสรุปผลการทดสอบ เมื่อขนาดตัวอย่าง $\sum_{i=1}^k n_i = n$ มีขนาดใหญ่ จะปฏิเสธ H_0 ที่ระดับนัยสำคัญ α ถ้า $\chi^* = \chi^2_{p(k-1)}$ โดยค่า $\chi^2_{p(k-1)}$ ได้จากการความน่าจะเป็นแบบ ไคแสควร์

หมายเหตุ การใช้ Wilks'λ ใน การทดสอบ 1-WAY MANOVA นั้นถ้าผลการทดสอบสรุปว่า ปฏิเสธ H_0 ผู้ศึกษาอาจทำการทดสอบความแตกต่างกันของค่าเฉลี่ยตัวแปรตามที่ละตัว นั่นคือ $H_0: \mu_{1i} = \mu_{2i} = \dots = \mu_{ki}; i = 1, 2, \dots, p$ โดยใช้เทคนิค 1-WAY ANOVA ด้วยสถิติทดสอบ $F = MSB/MSW$ กรณีที่มีตัวแปรตาม p ตัวจะต้องทดสอบด้วย 1-WAY ANOVA โดยใช้สถิติทดสอบ F จำนวน p ตัว

การสรุปผลการทดสอบของ MANOVA และ ANOVA เมื่อใช้สถิติทดสอบ Wilks'λ อาจจะไม่สอดคล้องกันก็ได้ ซึ่งผลการทดสอบอาจเป็นดังนี้

1. เมื่อวิเคราะห์ด้วย MANOVA สรุปได้ว่า ปฏิเสธสมมิฐาน $H_0: \mu_1 = \mu_2 = \dots = \mu_k$ แต่เมื่อทำการวิเคราะห์ด้วยเทคนิค ANOVA ต่อ โดยทดสอบตัวแปรตามที่ละตัวพบว่าไม่สามารถปฏิเสธ $H_0: \mu_{1i} = \mu_{2i} = \dots = \mu_{ki}; i = 1, 2, \dots, p$ ทุกค่าของ i

2. เมื่อใช้ MANOVA สรุปได้ว่ายอมรับ $H_0: \mu_1 = \mu_2 = \dots = \mu_k$ แต่เมื่อใช้สถิติทดสอบ F ของ ANOVA ตรวจสอบตัวแปรตามที่ละตัว พบร่วมกัน ว่ามีการปฏิเสธ $H_0: \mu_{1i} = \mu_{2i} = \dots = \mu_{ki}$ บางค่า ของ i นั่นคือมีตัวแปรตามบางตัวมีค่าเฉลี่ยต่างกันเมื่ออูปต่างกัน

ถ้าเกิดทั้งกรณีที่ 1 หรือ 2 หรือกล่าวได้ว่า ผลการทดสอบของ Wilks'λ ใน MANOVA และของ F ใน ANOVA ขัดแย้งกัน ผู้ศึกษาควรจะใช้ผลสรุปของ MANOVA มากกว่าของ ANOVA

1.2 สถิติทดสอบ Roy (Roy's Test)

สถิติทดสอบของ Roy หรือที่เรียกว่า Roy's union-intersection test หรือ Roy's largest root test โดยที่

$$\text{Roy's largest root} = \theta = \frac{\lambda_{\max}}{1 + \lambda_{\max}} = \frac{\lambda_1}{1 + \lambda_1}$$

โดยที่ λ_{\max} เป็นค่าไอกนที่มากที่สุดของ $W^{-1}B$ และ $\lambda_{\max} = \lambda_1$

การสรุปผลการทดสอบ จะปฏิเสธ $H_0: \mu_1 = \mu_2 = \dots = \mu_k$ ถ้า $\theta = \theta_{\alpha;s,m,n}$ โดยที่ $\theta_{\alpha;s,m,n}$ ได้จากตาราง Upper Critical Values for Roy's Test โดยที่ $s = \min \{k-1, p\}$, $m = \frac{1}{2}(|k-1-p|-1)$, $N = \frac{1}{2}(n-k-p-1)$ และ $n = \sum_{i=1}^k n_i$

การแปลงสถิติ Roy's largest root เป็นสถิติทดสอบ F

โดยทั่วไปจะไม่สามารถแปลงค่า θ หรือ λ_{\max} ให้มีการแจกแจงแบบ F ได้ แต่อย่างไรก็ตาม ในโปรแกรมสำหรับทางสถิติบางโปรแกรม เช่น SPSS ได้คำนวณค่า upper bound ของ F ไว้ดังนี้

$$F = \frac{(n - k - d - 1)\lambda_{\max}}{d} \quad (15)$$

โดย F มีองค์ประกอบ d และ $(n - k - d - 1)$ ตามลำดับและ $d = \max(p, k-1)$ ถ้าคำนวณค่า F จากสมการ (1.5) ได้มากกว่า $F_{d,n-k-d-1}$ จะปฏิเสธ H_0 โดย F ได้จากตาราง F ซึ่งเป็นตารางความน่าจะเป็นแบบอ�프 ออย่างไรก็ตามถ้าใช้สถิติทดสอบ F ในสมการที่ (1.5) แล้วสรุปว่ายอมรับ H_0 ผลลัพธ์จะน่าเชื่อถือมากกว่ากรณีปฏิเสธ H_0

1.3 สถิติทดสอบ Pillai's Trace

$$\text{Pillai's Trace} = V^{(s)} = \sum_{i=1}^s \frac{\lambda_i}{1-\lambda_i}$$

โดยที่ $\lambda_1, \lambda_2, \dots, \lambda_s$ เป็นค่าไอเกนของ $W^{-1}B$

การสรุปผลการทดสอบ จะปฏิเสธ H_0 ถ้า $V^{(s)} \geq V_a^{(s)}$ โดยที่ $V_a^{(s)}$ ได้จากตาราง Upper Critical Value of Pillai's Statistics ซึ่งค่า $V_a^{(s)}$ ขึ้นกับค่า s , m และ N โดยที่

$$s = \min \{k-1, p\}, m = \frac{1}{2}(|k-1-p|-1), N = \frac{1}{2}(n-k-p-1)$$

ในตาราง Upper Critical Value of Pillai's Statistics มีค่า s, m และ N กรณิที่ค่า s, m และ N เป็นค่าอื่นๆ นอกเหนือจากตาราง ให้ใช้ค่าสถิติทดสอบ F โดยที่

$$F = \frac{(2N+s+1)V^{(s)}}{(2m+s+1)(s-V^{(s)})} \quad (16)$$

ซึ่ง F ในสมการที่ (1.6) มีการแจกแจงโดยประมาณแบบ F ที่องศาอิสระ $s(2m+s+1)$ และ $s(2N+s+1)$ ตามลำดับ และจะปฏิเสธ $H_0: \mu_1 = \mu_2 = \dots = \mu_k$ ถ้า $F > F_{s(2m+s+1), s(2N+s+1)}$ โดยค่า F ได้จากตารางความน่าจะเป็นแบบอ�프

1.4 สถิติทดสอบ Lawley-Hotelling

Lawley (1938) และ Hotelling (1951) ได้เสนอสถิติทดสอบ Lawley-Hotelling ($U^{(s)}$) หรือเรียกว่า Hotelling's โดยที่

$$U^{(s)} = \sum_{i=1}^s \lambda_i$$

$$\text{สถิติทดสอบที่ใช้คือ } U = \left(\frac{n-k}{k-1} \right) U^{(s)}$$

การสรุปผลการทดสอบ จะปฏิเสธ H_0 ถ้า $U > U_{table; p, DFB, DFW}$ โดยค่า U_{table} ได้จากตาราง Upper Critical Value for the Lawley-Hotelling Statistics โดยที่ $p =$ จำนวนตัวแปรตาม DFB เป็นองศาอิสระของระหว่างกลุ่ม ส่วน DFW เป็นองศาอิสระภายในกลุ่ม จากตาราง MANOVA

สำหรับตาราง Upper Critical Value for the Lawley-Hotelling Statistics จะใช้เมื่อ $p \leq DFB$ และ $p \geq DFW$ ถ้า $p \geq DFB$ จะใช้ U_{table} เป็น $U_{DFB, p, DFB+DFW-p}$

$$\text{กรณิที่ } DFB = 1 \text{ และ } p > 1 \text{ จะได้ } U^{(s)} = U^{(1)} = \frac{T^2}{DFW}$$

กรณีที่ค่า p , DFB และ DFW นอกเหนือจากที่กำหนดไว้ในตาราง Upper Critical Value for the Lawley-Hotelling ให้ใช้สถิติทดสอบ F ซึ่งมีการแจกแจงโดยประมาณแบบ F โดยสามารถใช้สถิติทดสอบ F เป็น 3 รูปแบบ คือ F_1 , F_2 และ F_3 โดยมีรายละเอียดดังนี้

$$F_1 = \frac{U^{(s)}}{c}$$

โดยที่ F มีการแจกแจงโดยประมาณแบบ F ท่องศາอิสระ a และ b ตามลำดับ ซึ่ง

$$a = pDFB, \quad b = 4 + \frac{a+2}{B-1}, \quad c = \frac{a(b-2)}{b(DFW - p - 1)}$$

$$\text{และ } B = \frac{(DFW + DFB - p - 1)(DFW - 1)}{(DFW - p - 3)(DFW - p)}$$

สำหรับสถิติ F_2 เป็นดังนี้

$$F_2 = \frac{2(sN+1)U^{(s)}}{s^2(2m+s+1)}$$

โดยที่ F_2 มีการแจกแจงโดยประมาณแบบ F ท่องศາอิสระ $s(2m+s+1)$ และ $2(sN+1)$ ตามลำดับ

ส่วนสถิติทดสอบ F_3 คือ

$$F_3 = \frac{[s(DFW - DFB - 1) + 1]U^{(s)}}{sp \cdot DFB}$$

โดยที่ F_3 มีการแจกแจงโดยประมาณแบบ F ท่องศາอิสระ $p \cdot DBF$ และ $s(DFW - DFB - 1)$ ตามลำดับ

การสรุปผลการทดสอบ จะปฏิเสธ $H_0: \mu_1 = \mu_2 = \dots = \mu_k$ ถ้าสถิติทดสอบ F_1 หรือ F_2 หรือ F_3 มากกว่าค่า F จากตารางการแจกแจงแบบอิฟ ตามองศາอิสระที่กำหนดข้างต้น

ประวัติการศึกษา และการทำงาน

ชื่อ – นามสกุล	นางสาวณัฏฐา ดวงพัตรา
วัน เดือน ปี ที่เกิด	วันที่ 30 สิงหาคม 2527
สถานที่เกิด	อำเภอเมือง จังหวัดสมุทรปราการ
ประวัติการศึกษา	วท.บ.(ฟิสิกส์) มหาวิทยาลัยเกษตรศาสตร์ (พ.ศ.2549)
ทุนการศึกษาที่ได้รับ	ทุนสนับสนุนคุณภาพงานวิจัยระดับบัณฑิตศึกษา
	ประจำปีงบประมาณ 2550